

بِسْمِ اللّٰهِ الرَّحْمٰنِ الرَّحِيْمِ  
بِسْمِ اللّٰهِ الرَّحْمٰنِ الرَّحِيْمِ



دانشکده کشاورزی

پایان نامه کارشناسی ارشد مهندسی سازه های آبی

برآورد ضریب دبی سرریز مرکب با استفاده از مدل GEP

نگارنده: سحر رمضانی

استاد راهنمای:

دکتر صمد امامقلیزاده

استاد مشاور:

دکتر سید حسین حسینی

تیر ۱۳۹۷

شماره: ۴۴۰۹۱  
۱۳۹۷/۰۴/۲۷

با سمه تعالی



مدیریت تحصیلات تکمیلی

## فرم شماره (۳) صورتجلسه نهایی دفاع از پایان نامه دوره کارشناسی ارشد

با نام و یاد خداوند متعال، ارزیابی جلسه دفاع از پایان نامه کارشناسی ارشد خانم / آقای سحر رمضانی با شماره دانشجویی ۹۴۳۸۰۵۴ رشته مهندسی آب گرایش طراحی سازه‌های آبی تحت عنوان برآورد ضریب دبی سریز مرکب با استفاده از مدل GEP که در تاریخ ۱۳۹۷/۰۴/۰۵ با حضور هیات محترم داوران در دانشگاه صنعتی شهرورد برگزار گردید به شرح ذیل اعلام می‌گردد:

<input checked="" type="checkbox"/> حضور	<input type="checkbox"/> مردود	<input checked="" type="checkbox"/> قبول (با درجه: <b>خوب</b> )
<input checked="" type="checkbox"/> عملی	<input type="checkbox"/> نوع تحقیق: نظری	

اعضاء	مرتبه علمی	نام و نام خانوادگی	عضو هیات داوران
	دانشیار	دکتر صمد امامقلی زاده	۱- استادرهahnمای اول
	استادیار	دکتر سید حسین حسینی	۲- استادرهahnمای دوم
	استادیار	دکتر سید ایمان سعدی	۳- استاد مشاور
	دانشیار	دکتر خلیل ازدری	۴- نماینده تحصیلات تکمیلی
	استادیار	دکتر زهرا گلجمی نوروزی	۵- استاد ممتحن اول
			۶- استاد ممتحن دوم

نام و نام خانوادگی رئیس دانشکده: دکتر محمد رضا عامریان  
دانشیجی و اوضاع و مهر دانشکده

تبصره در صورتی که کسی مردود شود حداقل بکار دیگر (در مدت مجاز تحصیل) می‌تواند از پایان نامه خود دفاع نماید (دفاع

مجدد نباید زودتر از ۴ ماه برگزار شود).

## تقدیم

این پایان نامه را ضمن تشكیر و سپاس بیکران و در کمال افتخار و استنان تقدیم فی نمایم به

پدر میرزا یحییٰ،

مادر گلم

و برادر عزیزتر از جانم

به سه گوهر نیایافی که تمام زندگیم به وجود آنها خلاصه فی شود

دل گچه در این بادیه بسیار شناخت

یک دوی ندانست ولی دوی شکافت

اندر دل من هزار خورشید بتفاف

آخر به کمال ذره ای راه نیافت

(ابوعاعل سینا)

## تشکر و قدردانی

شایسته است از تمامی عزیزانی که در طی دوران تحصیل و انجام این پژوهش به بنده لطف داشته‌اند، تشکر و قدردانی نمایم. بزرگ‌ترین سهم متعلق به پدر و مادر محربانم می‌باشد، که در تمام سالهای زندگی تکیه‌گاه من برای ادامه تحصیل بوده‌اند. می‌دانم که هیچ‌گاه نمی‌توانم پاسخگوی حتی قطره‌ای از دریای محبت آنها باشم.

نمایت سپاس و تشکر خود را از استاد راهنمای بزرگوارم جناب آقای دکتر محمد امامقلی زاده که در مراحل مختلف این تحقیق با حسن خلق و فروتنی و با حمایتهای بی‌دریغ و راهنمایی‌های پیشانبه خود مرا در انجام آن یاری و مساعدت نمودند دارم و برای ایشان، همواره سلامتی و همروزی را از خداوند منان خواستارم.

از اساتید محترم گروه مهندسی اب و همچنین دکتر سید حسین حسینی و دکتر مجتبی عامری که همواره از آنها به عنوان الگوی علمی و اخلاقی خود بهره برده‌ام تشکر و قدردانی می‌نمایم.

از اساتید محترم دکتر خلیل اژدری و دکتر زهرا گنجی نوروزی که زحمت مطالعه و داوری پایان‌نامه را برعهده داشته‌اند تشکرو سپاسگزاری می‌نمایم.

سحر رمضانی

۹۷

## تعهدنامه

- اینجانب سحر رمضانی دانشجوی دوره کارشناسی ارشد رشته مهندسی آب گرایش طراحی سازه‌های آبی دانشکده کشاورزی دانشگاه صنعتی شاهرود نویسنده پایان نامه براورد ضریب دبی سرریز جانبی لبه تیز مرکب در جریان زیر بحرانی تحت راهنمایی دکتر صمد امامقلی زاده معهد می-شومتحقیقات در این پایان نامه توسط اینجانب انجام شده است و از صحت و اصالت برخوردار است.
- در استفاده از نتایج پژوهش‌های محققان دیگر به مرجع مورد استفاده استناد شده است.
- مطلوب مندرج در پایان نامه تاکنون توسط خود یا فرد دیگری برای دریافت هیچ نوع مدرک یا امتیازی در هیچ جا ارائه نشده است.
- کلیه حقوق معنوی این اثر متعلق به دانشگاه شاهرود می‌باشد و مقالات مستخرج با نام «دانشگاه صنعتی شاهرود» و یا «Shahrood University of Technology» به چاپ خواهد رسید.
- حقوق معنوی تمام افرادی که در به دست آمدن نتایج اصلی پایان نامه تأثیرگذار بوده‌اند در مقالات مستخرج از پایان نامه رعایت می‌گردد.
- در کلیه مراحل انجام این پایان نامه، در مواردی که از موجود زنده (یا بافت‌های آن‌ها) استفاده شده است ضوابط و اصول اخلاقی رعایت شده است.
- در کلیه مراحل انجام این پایان نامه، در مواردی که به حوزه اطلاعات شخصی افراد دسترسی یافته یا استفاده شده است اصل رازداری، ضوابط و اصول اخلاق انسانی رعایت شده است.

### تاریخ

امضای دانشجو

### مالکیت نتایج و حق نشر

- کلیه حقوق معنوی این اثر و محصولات آن (مقالات مستخرج، کتاب، برنامه‌های رایانه‌ای، نرم‌افزارها و تجهیزات ساخته شده است) متعلق به دانشگاه شاهرود می‌باشد. این مطلب باید به نحو مقتضی در تولیدات علمی مربوطه ذکر شود.
- استفاده از اطلاعات و نتایج موجود در پایان نامه بدون ذکر مرجع مجاز نمی‌باشد.

## چکیده

سرریزها، از مهم‌ترین سازه‌های هیدرولیکی به شمار می‌روند که به عنوان کنترل‌کننده سطح آب و اندازه‌گیری شدت جریان در کانال‌ها استفاده می‌شود سرریزها به صورت گستردۀ در هیدرولیک، برنامه‌های کاربردی محیط‌زیست و همچنین سیستم آبیاری و تصفیه خانه‌های فاضلاب و انحراف آب از کanal اصلی به فرعی در آزمایشگاه هیدرولیک و شبکه‌های آبیاری و زهکشی وغیره مورد استفاده قرار می‌گیرند. دقت در اندازه‌گیری دبی جریان برای شرایط مختلف جریان موجب طراحی شکل‌های هندسی مختلف سرریزها شده است. لذا با توجه به اهمیت و کاربردهای گستردۀ سرریزها جانبی، این سرریزها باید خصوصیاتی داشته باشند تا بتوان از آن‌ها به طور مناسب در شبکه‌های انتقال آب بهره گرفت. از جمله خصوصیات بارزی که می‌توان به آن اشاره نمود: شامل اندازه‌گیری دقیق دبی عبوری از سرریز و توانایی آن در خروج میزان قابل توجهی آب در زمان رخداد دبی‌های سیالابی است. چراکه سرریزهای جانبی ساده در زمان بروز سیلاب فقط برای عبور آب اضافی کanal و یا رودخانه مناسب است ولی برای اندازه‌گیری دقیق دبی عبوری مناسب نمی‌باشد. لذا دقت اندازه‌گیری دبی در محدوده‌ی وسیعی از شرایط جریان و نیز تخلیه و عبور آب در موقع سیالابی از مهم‌ترین مزیت‌های سرریزهای مرکب به شمار می‌رود.

در این پژوهش، سرریزهای جانبی لبه تیز مرکب مستطیلی-مستطیلی و مثلثی-مستطیلی با زاویه رأس‌های ۹۰ و ۱۲۰ درجه بررسی و موردمطالعه قرار می‌گیرد. لذا پیش‌بینی ضریب دبی سرریزهای مرکب با استفاده از آنالیز رگرسیون، SPSS، شبکه‌های عصبی مصنوعی (GMDH) و برنامه‌ریزی بیان‌زن (GEP) که از قوی‌ترین و پرکاربردترین مدل‌سازها به شمار می‌آیند انجام گرفته است. همچنین برای مدل‌سازی از پارامترهای بی‌بعد مؤثر بر ضریب دبی استفاده شده است و برای مقایسه از پارامترهای آماری مانند  $R^2$  و RMSE استفاده شده است. نتایج حاکی از آن است که برنامه‌ریزی بیان‌زن (GEP) با مقدار  $R^2 = 0.83$  برای داده‌های آموزش و  $R^2 = 0.80$  برای داده‌های آزمون در سرریز مرکب مستطیلی-مستطیلی و برای سرریزهای مرکب مثلثی-مستطیلی با زاویه رأس ۹۰ و ۱۲۰ درجه به ترتیب برای داده‌های آموزش برابر  $R^2 = 0.97$  و  $R^2 = 0.93$  و برای داده‌های آزمون برابر  $R^2 = 0.96$  و  $R^2 = 0.92$  به دست آمد. که در مقایسه با مدل رگرسیون، SPSS و GMDH مقدار خطای RMSE را برای داده‌های آزمون در سرریز مرکب مستطیلی-مستطیلی به ترتیب  $0.0023$ ،  $0.0015$  و  $0.0007$ ، برای سرریز مرکب مثلثی-مستطیلی با زاویه رأس ۶۰ درجه به ترتیب  $0.0005$ ،  $0.0006$  و  $0.0010$ ، برای سرریز مثلثی-مستطیلی با رأس زاویه ۹۰ درجه به ترتیب برابر  $0.0014$ ،  $0.0002$  و  $0.0005$  و برای سرریز مثلثی-مستطیلی با زاویه رأس ۱۲۰ درجه به ترتیب برابر  $0.0004$ ،  $0.0001$  و  $0.0009$  درصد کاهش داشته است، که این نتایج نشان‌دهنده برتری و بهینه بودن مدل‌سازی برنامه‌ریزی بیان‌زن می‌باشد.

**کلمات کلیدی:** برنامه‌ریزی بیان‌زن، سرریز جانبی مرکب مستطیلی-مستطیلی، سرریز جانبی مرکب مثلثی-مستطیلی، شبکه عصبی، ضریب دبی.

## فهرست مطالب

۱	فصل اول: مقدمه و کلیات
۲	۱-۱- مقدمه
۲	۱-۲- تئوری و کاربرد سرریز
۴	۱-۳- تقسیم‌بندی سرریزها
۴	۱-۳-۱- سرریز لبه تیز
۵	۱-۳-۲- سرریز لبه پهن
۵	۱-۳-۳- سرریز مرکب
۷	۱-۳-۳-۱- سرریز لبه تیز ترکیبی مثلثی- مستطیلی (CTRSC)
۷	۱-۴- ضرورت انجام تحقیق
۸	۱-۵- اهداف تحقیق
۹	۱-۶- روش انجام تحقیق
۹	۱-۷- ساختار پایان نامه
۱۱	فصل دوم: تاریخچه
۱۲	۱-۲- مقدمه
۱۲	۲-۲- معادلات حاکم بر سرریز جانبی
۱۶	بررسی منابع
۳۷	۲-۳- جمع بندی
۳۹	فصل سوم: مواد و روشها
۴۰	۱-۳- داده های مورد استفاده
۴۰	۱-۱-۳- مشخصات مدل آزمایشگاهی
۴۲	۲-۳- مدل های مورد استفاده
۴۶	۳-۳- روش رگرسیون غیرخطی
۴۶	۴-۳- برنامه ریزی بیان ژن (GEP)
۵۸	۳-۵- پیش‌بینی ضرایب روابط تجربی با استفاده از برنامه ریزی بیان ژن
۵۸	۱-۵-۳- تابع برازش
۵۹	۲-۵-۳- تعیین تابع برازش
۶۱	۳-۶- شبکه عصبی GMDH
۶۳	۳-۶-۳- ماهیت شبکه‌های عصبی
۷۵	فصل چهارم: نتایج مدلسازی ها
۷۶	۱-۴- مقدمه

۷۶	-۲-آزمون همبستگی پارامترها
۷۹	-۳-نتایج حاصل از روش مستقیم برای سرریز مرکب مستطیلی-مستطیلی
۸۰	-۴-نتایج حاصل از محاسبه ضریب دبی در روش مستقیم برای سرریز مرکب مثلثی-مستطیلی
۸۲	-۵-معادله ضریب دبی سرریز مرکب مستطیلی-مستطیلی با استفاده از رگرسیون غیرخطی
۸۳	-۶-معادله ضریب دبی سرریز مرکب مثلثی-مستطیلی با استفاده از رگرسیون غیرخطی
۸۵	-۷-نتایج حاصل از نرم افزار GMDH برای سرریز مرکب مستطیلی-مستطیلی
۸۷	-۸-نتایج حاصل از نرم افزار GMDH برای سرریز مرکب مثلثی-مستطیلی
۹۰	-۹-معادله ضریب دبی سرریز مستطیلی-مستطیلی با استفاده از نرم افزار GEP
۹۳	-۱۰-معادله ضریب دبی سرریز مرکب مثلثی-مستطیلی با استفاده از نرم افزار GEP
۱۰۰	-۱۱-نتیجه مدلسازی GEP با تعداد تکرارهای مختلف
۱۰۵	فصل پنجم: نتیجه گیری و پیشنهادات
۱۰۶	-۱-نتیجه گیری
۱۰۹	-۲-پیشنهادات
۱۱۰	منابع

## فهرست اشکال

شکل ۱-۱: سرریزهای مرکب شناخته شده	۶
شکل ۱-۲: سرریز CRRSC	۷
شکل ۱-۳: سرریز CTRSC	۷
شکل ۲-۱: دیاگرام y-E برای سرریز جانبی کانالی	۱۳
شکل ۲-۲: نمایی از پلان سرریز مستطیلی	۱۵
شکل ۲-۳: نمایی کلی از یک سرریز جانبی (سابرامانیا و آوستی، ۱۹۷۲)	۱۶
شکل ۲-۴: نمایی از خطوط جربان در سرریزهای جانبی (رانگاراجو و همکاران، ۱۹۷۹)	۱۸
شکل ۲-۵: نمودار مقایسه نتایج دبی جريان به دست آمده از حل عددی با مقادیر آزمایشگاهی (پیراپیتان و همکاران ۲۰۰۶)	۲۳
شکل ۲-۶: نمودار مقایسه نتایج دبی جريان به دست آمده از حل عددی با مقادیر آزمایشگاهی (پیراپیتان و همکاران ۲۰۰۶)	۲۴
شکل ۲-۷: تصویر سرریز جانبی استفاده شده در آزمایشها، (هنر و کشاورزی، ۲۰۰۹).	۲۴
شکل ۲-۸: مقایسه ضریب دبی مشاهدهای و محاسبه شده توسط رابطه (۲-۳۱) (هنر و کشاورزی، ۲۰۰۹)	۲۵
شکل ۲-۹: مقایسه ضریب دبی مشاهدهای و محاسبه شده در حالت گرد گوش (هنر و کشاورزی، ۲۰۰۹)	۲۶
شکل ۲-۱۰: نمای سرریز جانبی مستطیلی (احمد، ۲۰۱۱)	۲۷
شکل ۲-۱۱-۱: مقایسه نتایج محاسباتی با داده های آزمایشگاهی (احمد، ۲۰۱۱)	۲۸
شکل ۲-۱۲-۱: میزان تغییرات عمق آب در طول سرریز جانبی (احمد، ۲۰۱۱)	۲۸
شکل ۲-۱۳-۱: میزان تغییرات در برابر $pp - y$ (احمد، ۲۰۱۱)	۲۹
شکل ۲-۱۴-۱: میزان تغییرات $C_d$ به $Fr_1$ (احمد، ۲۰۱۱)	۲۹
شکل ۲-۱۵-۱: سرریز جانبی مایل (محمد، ۲۰۱۳)	۳۰
شکل ۲-۱۶-۱: سرریز لبه تیز مرکب با مقطع مستطیلی- مستطیلی (باقری و همکاران، ۱۳۹۱)	۳۱
شکل ۲-۱۷-۱: نمودار مقایسه نتایج ضریب دبی به دست آمده از روابط سرریزهای جانبی ساده به مقادیر آزمایشگاهی (باقری و همکاران، ۱۳۹۱)	۳۲
شکل ۲-۱۸-۱: نمودار مقایسه نتایج دبی جريان به دست آمده از روابط سرریزهای جانبی ساده با مقادیر آزمایشگاهی (باقری و همکاران، ۱۳۹۱)	۳۳
شکل ۲-۱۹-۱: نمایی از سرریز جانبی ذوزنقه های (سیاری و همکاران، ۱۳۹۱)	۳۳
شکل ۳-۱: اجزای سرریز مرکب مثلثی- مستطیلی	۴۵
شکل ۳-۲: چرخ رولت	۵۳
شکل ۳-۳: بیان درختی (ET) رابطه $F = \sin(x) + \sqrt{x^2 + y}$	۵۵
شکل ۳-۴: بیان درختی (ET) رابطه (۱۵-۳)	۵۶

شکل ۳-۵: بیان درختی معادله (۳-۱۷)	۵۸
شکل ۳-۶: ساختار شبکه عصبی از نوع CS-GMDH یک کروموزوم	۷۱
شکل ۳-۷: کروموزوم مربوط به شبکه عصبی نوع GS-GMDH	۷۳
شکل ۴-۱: مقایسه ضریب دبی بر اساس ضریب دبی رابطه (۴-۱) با نتایج آزمایشگاهی برای سرریز مرکب مستطیلی-مستطیلی	۸۰
شکل ۴-۲: مقایسه ضریب دبی مشاهده شده با ضریب دبی حاصل از روش مستقیم برای سرریز مرکب مثلثی-مستطیلی با زاویه رأس ۶۰ درجه.	۸۱
شکل ۴-۳: مقایسه ضریب دبی مشاهده شده با ضریب دبی حاصل از روش مستقیم برای سرریز مرکب مثلثی-مستطیلی با زاویه رأس ۹۰ درجه.	۸۱
شکل ۴-۴: مقایسه ضریب دبی مشاهده شده با ضریب دبی حاصل از روش مستقیم برای سرریز مرکب مثلثی-مستطیلی با زاویه رأس ۱۲۰ درجه.	۸۲
شکل ۴-۵: مقایسه ضریب دبی بر اساس ضریب دبی رابطه (۴-۵) به دست آمده با استفاده از رگرسیون غیرخطی نتایج آزمایشگاهی برای سرریز مرکب مستطیلی-مستطیلی.	۸۳
شکل ۴-۶: مقایسه نتایج ضریب دبی سرریز مرکب مثلثی-مستطیلی با زاویه رأس ۶۰ درجه با استفاده از رگرسیون غیرخطی.	۸۴
شکل ۴-۷: مقایسه نتایج ضریب دبی سرریز مرکب مثلثی-مستطیلی با زاویه رأس ۹۰ درجه با استفاده از رگرسیون غیرخطی.	۸۴
شکل ۴-۸: مقایسه نتایج ضریب دبی سرریز مرکب مثلثی-مستطیلی با زاویه رأس ۱۲۰ درجه با استفاده از رگرسیون غیرخطی.	۸۵
شکل ۴-۹: مقایسه ضریب دبی مشاهداتی و ضریب دبی محاسبه شده برای داده های آموزش با استفاده از GMDH در سرریز مرکب مستطیلی-مستطیلی.	۸۶
شکل ۴-۱۰: مقایسه ضریب دبی مشاهداتی و ضریب دبی محاسبه شده برای داده های آزمون با استفاده از GMDH در سرریز مرکب مستطیلی-مستطیلی.	۸۶
شکل ۴-۱۱: مقایسه نتایج داده های حاصل از مدلسازی GMDH با داده های مشاهداتی برای داده های آموزش در سرریز مرکب مثلثی-مستطیلی با زاویه رأس ۶۰ درجه.	۸۷
شکل ۴-۱۲: مقایسه نتایج داده های حاصل از مدلسازی GMDH با داده های مشاهداتی برای داده های آزمون در سرریز مرکب مثلثی-مستطیلی با زاویه رأس ۶۰ درجه.	۸۸
شکل ۴-۱۳: مقایسه نتایج داده های حاصل از مدلسازی GMDH با داده های مشاهداتی برای داده های آموزش در سرریز مرکب مثلثی-مستطیلی با زاویه رأس ۹۰ درجه	۸۸
شکل ۴-۱۴: مقایسه نتایج داده های حاصل از مدلسازی GMDH با داده های مشاهداتی برای داده های آزمون در سرریز مرکب مثلثی-مستطیلی با زاویه رأس ۹۰ درجه.	۸۹
شکل ۴-۱۵: مقایسه نتایج داده های حاصل از مدلسازی GMDH با داده های مشاهداتی برای داده های آموزش در سرریز مرکب مثلثی-مستطیلی با زاویه رأس ۱۲۰ درجه.	۸۹

- شکل ۴-۱۶: مقایسه نتایج داده‌های حاصل از مدلسازی GMDH با داده‌های مشاهداتی  
برای داده‌های آزمون در سرریز مرکب مثلثی-مستطیلی با زاویه رأس ۱۲۰ درجه. ۹۰
- شکل ۴-۱۷: نمودار درختی مدل بهینه حاصل از برنامه ریزی بیان ژن (GEP) برای سرریز مرکب مستطیلی-مستطیلی. ۹۲
- شکل ۴-۱۸: مقایسه ضریب دبی آزمون و ضریب دبی مشاهده شده در سرریز مرکب مستطیلی-مستطیلی. ۹۳
- شکل ۴-۱۹: مقایسه ضریب دبی آموزش و ضریب دبی مشاهده شده در سرریز مرکب مستطیلی-مستطیلی. ۹۳
- شکل ۴-۲۰: نمودار درختی مدل بهینه حاصل از برنامه ریزی بیان ژن (GEP) برای سرریز مرکب مثلثی-مستطیلی با زاویه رأس ۶۰ درجه. ۹۴
- شکل ۴-۲۱: نمودار درختی مدل بهینه حاصل از برنامه ریزی بیان ژن (GEP) برای سرریز مرکب مثلثی-مستطیلی با زاویه رأس ۹۰ درجه. ۹۵
- شکل ۴-۲۲: نمودار درختی مدل بهینه حاصل از برنامه ریزی بیان ژن (GEP) برای سرریز مرکب مثلثی-مستطیلی با زاویه رأس ۱۲۰ درجه. ۹۵
- شکل ۴-۲۳: مقایسه ضریب دبی آزمون و ضریب دبی مشاهده شده در سرریز مرکب مثلثی-مستطیلی با زاویه رأس ۶۰ درجه. ۹۷
- شکل ۴-۲۴: مقایسه ضریب دبی آموزش و ضریب دبی مشاهده شده در سرریز مرکب مثلثی-مستطیلی با زاویه رأس ۶۰ درجه. ۹۷
- شکل ۴-۲۵: مقایسه ضریب دبی آزمون و ضریب دبی مشاهده شده در سرریز مرکب مثلثی-مستطیلی با زاویه رأس ۹۰ درجه. ۹۷
- شکل ۴-۲۶: مقایسه ضریب دبی آموزش و ضریب دبی مشاهده شده سرریز مرکب مثلثی-مستطیلی با زاویه رأس ۹۰ درجه. ۹۷
- شکل ۴-۲۷: مقایسه ضریب دبی آزمون و ضریب دبی مشاهده شده در سرریز مرکب مثلثی-مستطیلی با زاویه رأس ۹۸ درجه. ۱۲۰
- شکل ۴-۲۸: مقایسه ضریب دبی آموزش و ضریب دبی مشاهده شده در سرریز مرکب مثلثی-مستطیلی با زاویه رأس ۹۸ درجه. ۱۲۰
- شکل ۴-۲۹: مقایسه تعداد ران مدل GEP در برابر ضریب  $R^2$  برای سرریز مرکب مستطیلی-مستطیلی برای داده‌های آموزش. ۱۰۰
- شکل ۴-۳۰: مقایسه تعداد ران مدل GEP در برابر ضریب  $R^2$  برای سرریز مرکب مستطیلی-مستطیلی برای داده‌های آزمون. ۱۰۱
- شکل ۴-۳۱: مقایسه تعداد ران مدل GEP در برابر ضریب  $R^2$  برای سرریز مرکب مثلثی-مستطیلی با زاویه رأس ۰ درجه برای داده‌های آموزش. ۱۰۱
- شکل ۴-۳۲: مقایسه تعداد ران مدل GEP در برابر ضریب  $R^2$  برای سرریز مرکب مثلثی-مستطیلی با زاویه رأس ۶۰ درجه برای داده‌های آزمون. ۱۰۱

- شکل ۴-۳۳: مقایسه تعداد ران مدل GEP در برابر ضریب  $R^2$  برای سریز مرکب مثلثی-مستطیلی با زاویه رأس ۹۰ درجه برای داده های آموزش.----- ۱۰۲
- شکل ۴-۳۴: مقایسه تعداد ران مدل GEP در برابر ضریب  $R^2$  برای سریز مرکب مثلثی-مستطیلی با زاویه رأس ۹۰ درجه برای داده های آزمون.----- ۱۰۲
- شکل ۴-۳۵: مقایسه تعداد ران مدل GEP در برابر ضریب  $R^2$  برای سریز مرکب مثلثی-مستطیلی با زاویه رأس ۱۲۰ درجه برای داده های آموزش.----- ۱۰۲
- شکل ۴-۳۶: مقایسه تعداد ران مدل GEP در برابر ضریب  $R^2$  برای سریز مرکب مثلثی-مستطیلی با زاویه رأس ۱۲۰ درجه برای داده های آزمون.----- ۱۰۳

فهرست جداول

جدول ۱-۳: تعداد داده های مشاهداتی موجود برای هر سرریز مرکب	۴۱
جدول ۲-۳: رنج پارامترهای ببعد سرریز مرکب مستطیلی- مستطیلی	۴۲
جدول ۳-۳: رنج پارامترهای ببعد سرریز مرکب مثلثی- مستطیلی با زاویه رأسهای ۹۰ و ۱۲۰ درجه	۴۲
جدول ۴-۱: ضریب همبستگی بین پارامترهای سرریز مرکب مستطیلی- مستطیلی.	۷۷
جدول ۴-۲: ضریب همبستگی بین سرریز مرکب مثلثی- مستطیلی با زاویه رأس ۶۰ درجه.	۷۸
جدول ۴-۳: ضریب همبستگی بین سرریز مرکب مثلثی- مستطیلی با زاویه رأس ۹۰ درجه.	۷۸
جدول ۴-۴: ضریب همبستگی بین سرریز مرکب مثلثی- مستطیلی با زاویه رأس ۱۲۰ درجه.	۷۹
جدول ۴-۵: پارامترهای مورداستفاده در برنامه ریزی بیان ژن برای استخراج ضریب دبی سرریز مرکب مستطیلی-	۹۱
جدول ۴-۶: پارامترهای مورداستفاده در برنامه ریزی بیان ژن برای استخراج ضریب دبی سرریز مرکب مثلثی- مستطیلی	۹۴
جدول ۴-۷: خلاصه نتایج حاصل از مدلسازی ها برای سرریز مرکب مستطیلی- مستطیلی.	۹۹
جدول ۴-۸: خلاصه نتایج حاصل از مدلسازی ها برای سرریز مرکب مثلثی - مستطیلی با زاویه رأس ۶۰ درجه.	۹۹
جدول ۴-۹: خلاصه نتایج حاصل از مدلسازی ها برای سرریز مرکب مثلثی - مستطیلی با زاویه رأس ۱۲۰ درجه.	۹۹

# فصل اول

مقدمه و کلیات

## ۱-۱- مقدمه

در این فصل با توجه به موضوع مورد مطالعه، که بررسی ضریب‌دبی عبوری از روی سرریزهای جانبی لبه تیز ترکیبی می‌باشد، به معرفی و تعریف سرریزها پرداخته می‌شود و کاربردهای آن ذکر می‌شود.

## ۲-۱- تئوری و کاربرد سرریز

هر مانعی که بر سر راه جریان در کanal قرار گیرد و باعث بالا آمدن آب در پشت آن شود و بر سرعت آب در ضمن عبور از روی آن افزوده شود، سرریز نامیده می‌شود. کنترل جریان و اندازه‌گیری شدت جریان در کanal‌های روباز از عوامل مهم کاربرد سرریز محسوب می‌گردد. از سرریزها به صورت گستردۀ در هیدرولیک، برنامه‌های کاربردی محیط‌زیست، تصفیه‌خانه‌های فاضلاب و انحراف آب از کanal اصلی به فرعی در شبکه‌های آبیاری و زهکشی استفاده می‌شود.

سرریزهای جانبی<sup>۱</sup> از انواع سازه‌های هیدرولیکی می‌باشد که با اهداف مختلف در سیستم‌های انتقال آب بکار گرفته می‌شود. تعریف سرریز جانبی برخلاف تحلیل آن بسیار ساده است. چنانچه در دیواره یک کanal سرریزی نصب شود که ارتفاع آن کمتر از ارتفاع کanal باشد در هنگام بالا آمدن سطح آب قسمتی از جریان از روی سرریز به صورت جانبی منحرف و به خارج از کanal اصلی تخلیه می‌گردد. این عملکرد باعث تنظیم و کنترل سطح آب و دبی در کanal اصلی خواهد شد. از موارد کاربرد سرریز جانبی می‌توان به کنترل دبی، انحراف سیلاب و دبی مازاد در رودخانه و کanal‌ها اشاره کرد.

در بیشتر مواقع، سرریز جانبی به منظور کنترل جریان و پیش از اینکه سطح آب در کanal اصلی بیش از حد معینی بالاتر رود، دبی اضافی را به کanal جانبی هدایت می‌کند. بنابراین از سرریزهای جانبی، به عنوان محدود کننده تراز جریان هم استفاده می‌شود. در بسیاری از کanal‌های هیدرولیکی مقادیر دبی عبوری دارای تغییرات فراوانی است. تغییرات دبی در فصل‌های مختلف سال، بسته به شرایط

<sup>1</sup> Side weir

هیدرولوژیکی حوزه‌های تغذیه‌کننده آن، نوسانات شدیدی را در تراز جریان ایجاد می‌نمایند. از آنجایی که یکی از دلایل اصلی به کارگیری سرریزها اندازه‌گیری دبی عبوری از آن هم‌زمان با انحراف و تخلیه مقادیر مشخصی از جریان بالادستی است، عموماً سرریزهای با مقطع ساده در شرایط ذکر شده فاقد این توانایی هستند و نمی‌توانند عملکرد مناسبی داشته باشند سرریزهای مرکب با توجه به شکل هندسی خاص خود می‌توانند در شرایطی که تراز سطح آب در کanal اصلی، در پایین‌ترین سطح خود قرار دارد مقادیر مشخصی از دبی را به کanal فرعی انتقال دهند. همچنین این نوع سرریزها، زمانی که در حوزه‌های تغذیه‌کننده‌ی آن بارش‌های نسبتاً شدیدی رخ دهد و یا به هر علتی دبی عبوری بهشدت افزایش یابد و سبب سیلابی شدن جریان در کanal اصلی شود، می‌توانند علاوه بر تخلیه سیلاب به کanal‌های فرعی مانع از وارد شدن آسیب به کanal‌ها و سازه‌های آن شوند، امکان تعیین مقادیر دبی انحرافی را نیز به کمک روابط فراهم می‌نمایند (عامری و همکاران، ۱۵۰). اگر تخمین دقیقی از شدت جریان انجام نگیرد و طراحی سازه بر اساس مقادیر نادرست صورت گیرد سیلاب عبوری می‌تواند باعث افزایش فرسایش و تخریب سازه‌ها و همچنین باعث افزایش فرسایش سطح خاک شود.

سهولت و دقت اندازه‌گیری جریان در شرایط مختلف سبب طراحی شکل‌های مختلف سرریز از جمله: مستطیلی، ذوزنقه‌ای، مثلثی، دایره‌ای و غیره گردیده است که از متداول‌ترین نوع سرریزهای جانبی می‌توان به نوع مستطیلی و مثلثی آن اشاره کرد. با توجه به کاربردهای سرریز جانبی، این نوع سرریز باید دارای خصوصیاتی باشد تا بتوان از آن در شبکه‌های انتقال آب و یا رودخانه‌ها استفاده مفید کرد. از جمله این خصوصیات می‌توان به اندازه‌گیری دقیق دبی عبوری از سرریز، جهت آبگیری مناسب از کanal و توانایی آن در تخلیه تعداد قابل توجه جریان در زمان رخ دادن سیلاب در مکان-هایی است که این سازه به عنوان سازه‌ای حفاظتی به کار می‌رود، اشاره کرد. سرریزهای جانبی معمولی این دو قابلیت را به صورت هم‌زمان ندارند به طوری که اگر عرض سرریز کوچک باشد، فقط برای اندازه-گیری جریان مناسب است و اگر عرض سرریز، بزرگ باشد، فقط برای تخلیه سریع سیلاب مناسب است و دقت اندازه‌گیری دبی کاهش می‌یابد (باقری و همکاران، ۱۳۰). سرریزهای مستطیلی

به راحتی دبی‌های بالا را عبور می‌دهند اما سرریزهای مثلثی بیشتر برای اندازه‌گیری دقیق جریان در دبی‌های پایین مناسب هستند. برای تأمین هر دو هدف، قابلیت اندازه‌گیری دقیق دبی و عبور دبی‌های بالا، می‌توان از سرریزهای مرکب استفاده کرد، که شامل یک مستطیل یا مثلث در مقطع پایین و یک مستطیل با دهانه بزرگ‌تر در مقطع بالایی می‌باشد. به همین دلیل اخیراً از سرریزهای جانبی با مقطع مرکب استفاده شده است.

### ۱-۳-۱- تقسیم‌بندی سرریزها

یک سرریز از صفحه سرریز، شکاف سرریز، تاج سرریز و اشل اندازه‌گیری با ریزولوژیکی تشکیل می‌شود. صفحه سرریز از جنس فلزی، چوبی یا بتنه می‌باشد که عموماً به صورت عمود بر جریان آب در آبراهه نصب می‌شود که باعث بالا آمدن سطح آب در بالادست سرریز می‌شود.

تاج سرریز به قسمت لبه بالایی سرریز گفته می‌شود و سرریزها را براساس شکل تاج و این که آیا تمام یا قسمتی از عرض کانال را دربر گرفته‌اند، تقسیم‌بندی می‌نمایند. در معمولی‌ترین تقسیم‌بندی‌ها سرریزها به دو گروه سرریزهای لبه‌تیز و سرریزهای لبه‌پهن تقسیم می‌شوند. همچنین سرریزها می‌توانند به شکل‌های مستطیلی، مثلثی، ذوزنقه‌ای و سهموی ساخته می‌شوند.

### ۱-۳-۱- سرریز لبه تیز

این سرریزها از یک صفحه قائم که دارای لبه و تاج نسبتاً تیز در بالا ( محلی که آب از روی آن ریزش می‌کند) تشکیل می‌شوند، در مسیر جریان قرار می‌گیرند و جریان از روی تاج با حرکت پرتاپی و بدون تماس با صفحه پایین‌دست ریزش می‌یابد. سرریز لبه‌تیز علاوه بر اندازه‌گیری جریان در کانال‌های روباز به عنوان بالا آورنده سطح آب استفاده می‌شود. سرریزهای لبه‌تیز در شرایط اندازه‌گیری دبی با دقت بالا (به طور مثال در فلومهای آزمایشگاهی، کانال‌های آبیاری کوچک و کانال‌های صنعتی) کاربرد دارند. تئوری هیدرولیک مربوط به این سرریزها به عنوان پایه و اساس طراحی سرریزهای لبه‌پهن از اهمیت خاصی برخوردار می‌باشد. یک سرریز لبه‌تیز می‌تواند تمام عرض کانال را فراگیرد که در

این صورت سرریز لبه‌تیز هم عرض نامیده می‌شود. یا ممکن است عرض کanal را جهت عبور آب در بالای خود کاهش دهد که در این صورت به سرریز لبه‌تیز کوچک‌شده موسوم هستند. این سرریزها با مصالح بنایی، فلزی و یا چوبی ساخته می‌شوند.

### ۱-۳-۲- سرریز لبه پهن

تاج این سرریزها دارای ضخامت قابل توجه، افقی یا دارای انحنای خاصی است که برای اندازه-گیری دبی جریان هم به کاربرده می‌شود. اما بیشتر برای سرریز سدها و به عنوان خود سد بکار می‌رود و در هر حال به دلیل سادگی ساخت و هزینه ساخت پایین برای ذخیره و بالا آوردن سطح آب به ارتفاع زیاد و اندازه‌گیری شدت جریان و کنترل تراز سطح آب مورد استفاده قرار می‌گیرد.

### ۱-۳-۳- سرریز مرکب

سرریزهای مرکب از ترکیب سرریزهای ساده ساخته می‌شوند که شکل تاج آن‌ها ترکیبی از دو سرریز لبه‌تیز ساده می‌باشد و ابعاد قسمت پایینی سرریز کوچک‌تر از قسمت فوقانی است. از مهم‌ترین مزایای سرریز مرکب توانایی اندازه‌گیری دبی در حجم بالاتری از جریان و دقت در محاسبه دبی برای جریان‌های کم تا زیاد است و همچنین عبور جریان در دبی با تغییرات زیاد، امکان زهکشی مناسب و تخلیه کanal در شرایط سیلابی، جلوگیری از آسیب رسیدن به سازه‌های پایین‌دست، دارای دقت مناسب اندازه‌گیری دبی جریان با داشتن حداقل مشخصات و امکان تخلیه و عبور بیشتر رسوبات نسبت به حالت ساده را می‌توان نام برد. سرریز مثلثی یا ۷ شکل بیشترین دقت در اندازه‌گیری جریان‌های کم (کمتر از  $283/0$  مترمکعب) را داشته و معمولاً با زاویه رأس  $90$  درجه متداول‌تر می‌باشند. سرریزهای مستطیلی در اندازه‌گیری دبی‌های نسبتاً بالا استفاده می‌شوند. در سرریزهای مرکب خصوصیات سرریز مستطیلی و مثلثی باهم ترکیب می‌شوند.

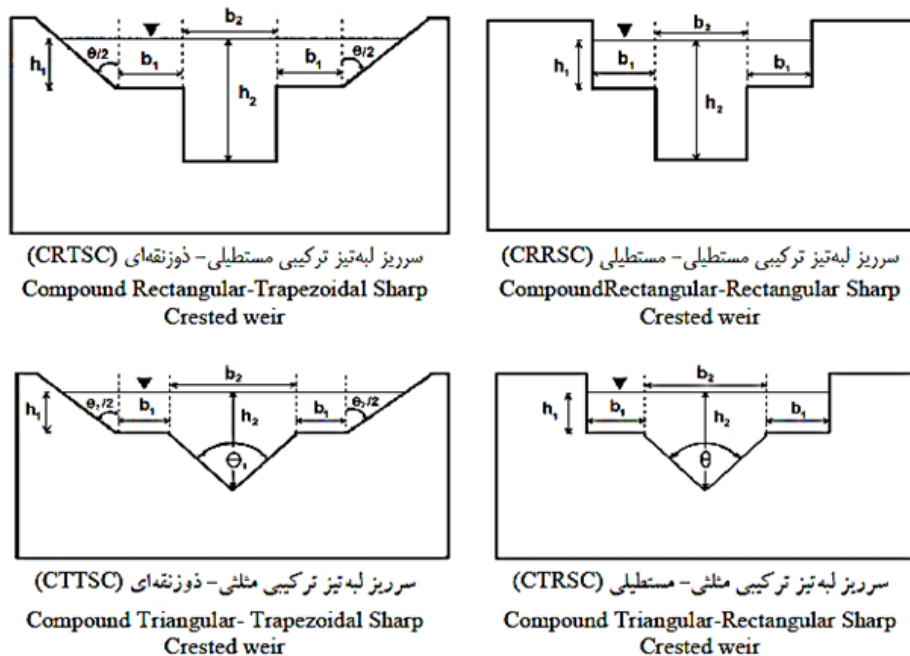
چهار مدل مختلف از سرریزها که بیشتر از بقیه شناخته شده هستند عبارت‌اند از (شکل ۱-۱):

#### ۱. سرریز لبه تیز ترکیبی مستطیلی- مستطیلی (CRRSC)

۲. سریز لبه تیز ترکیبی مستطیلی- ذوزنقه‌ای (CRTSC)

۳. سریز لبه تیز ترکیبی مثلثی- مستطیلی (CTRSC)

۴. سریز لبه تیز ترکیبی مثلثی- ذوزنقه‌ای (CTTSC)

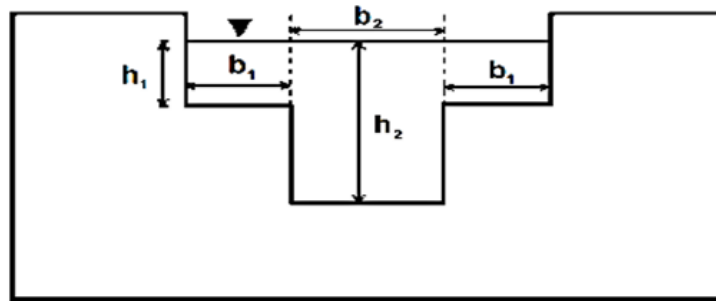


شکل ۱-۱: سریزهای مركب شناخته شده

با توجه به اينکه موضوع اين پابان نامه در ارتباط با سریزهای جانبی لبه تیز ترکیبی مستطیلی- مستطیلی و مثلثی- مستطیلی می باشد، در ادامه اين سریزها معرفی می شوند.

### ۱-۳-۳-۱- سریز لبه تیز ترکیبی مستطیلی- مستطیلی (CRRSC)

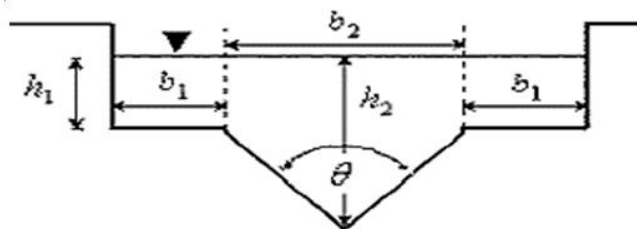
سریز CRRSC به عنوان ترکیبی خطی از دو سریز ساده لبه تیز در نظر گرفته می شود. شکل (۲-۱) یک سریز متقارن CRRSC است که شامل سه سریز مستطیلی، یکی در چپ، یکی در وسط و یکی در سمت راست می باشد.



شکل ۱-۲: سریز CRRSC

### ۱-۳-۲-۲- سریز لبه تیز ترکیبی مثلثی- مستطیلی (CTRSC)

سریز CTRSC را می‌توان همانند سریز لبه تیز ترکیبی مستطیلی- مستطیلی به عنوان ترکیبی خطی از دو سریز ساده لبه تیز در نظر گرفت. دو سریز مستطیلی یکی در چپ، و یکی در راست و یک سریز مثلثی در وسط می‌باشد (شکل ۱-۳).



شکل ۱-۳: سریز CTRSC

### ۱-۴- ضرورت انجام تحقیق

با وجود کارآمد بودن و کارایی سریزهای مرکب، مطالعات کمی بر روی این سریزها صورت گرفته است. برای شناخت بهتر رفتار سریزهای جانبی لازم است مطالعات بیشتری انجام گیرد، که این مطالعات می‌تواند به دو روش نظری یا تجربی باشد.

در روش نظری می‌توان به تکمیل مدل‌های ریاضی موجود و یا ارائه مدل‌های جدید و کامل تر پرداخت اما به دست آوردن یک مدل ریاضی بدون استفاده از ضرایب تجربی که بتواند پارامترهای

مختلف را با توجه به مقدار تأثیرشان در نظر گرفته و جواب‌های دقیق ارائه کند بعید به نظر می‌رسد. در روش دوم می‌توان با انجام آزمایش‌های تکمیلی روابط تجربی برای تحلیل سرریزهای جانبی را ارائه نمود. مطمئن‌آمیش و بررسی تأثیر پارامترها می‌توان مدل‌های ریاضی دقیق و ساده‌تری را نیز ارائه نمود. از طرف دیگر بررسی تأثیر تمامی پارامترها به صورت آزمایشگاهی و افزایش تعداد آزمایش‌ها عدم توجیه اقتصادی مطالعات را به دنبال خواهد داشت. بدین منظور ترجیح داده می‌شود با استفاده از مدل‌های ریاضی، نظریه‌های هیدرولیک و اطلاعات آزمایشگاهی، روابط تجربی را مورد مطالعه قرارداد.

در مورد هر کدام از سرریزها یک رابطه خاص برای اندازه‌گیری دبی جریان وجود دارد. در این پژوهش با استفاده از داده‌های آزمایشگاهی، در صورت امکان روابطی بهینه برای سرریز جانبی مرکب مستطیلی-مستطیلی و مثلثی-مستطیلی با کمک الگوریتم بیان ارائه شده، توسعه داده شد. زیرا مطالعات آزمایشگاهی مستلزم صرف هزینه و زمان زیادی می‌باشد. همچنین نتایج به دست آمده از الگوریتم بیان‌زن با نتایج به دست آمده از شبکه عصبی GMDH و SPSS مورد مقایسه قرار گرفت.

## ۱-۵-۱- اهداف تحقیق

با توجه به این نکته که اندازه‌گیری‌های صحرایی و آزمایشگاهی نیاز به هزینه و صرف وقت قابل توجهی داشته و همچنین با توجه به کاربردهای ذکر شده برای سرریزهای مرکب در این تحقیق با ابزارهای ارزشمندی همچون شبیه‌سازی و مدل‌سازی که دارای دقت قابل توجه و همچنین سرعت بیشتری در محاسبات و تحلیل‌ها می‌باشند اهداف زیر را با استفاده از مدل‌سازی‌ها بررسی می‌نماییم:

۱- مدل‌سازی با استفاده از پارامترهای بی‌بعد در نرم‌افزار GeneXpro Tools 4.0

۲- پیش‌بینی ضریب دبی با استفاده از شبکه عصبی GMDH

۳- بهینه‌سازی با استفاده از نرم‌افزار SPSS

۴- مقایسه نتایج مدل GEP و GMDH با رگرسیون غیرخطی و معروفی بهترین مدل

## ۵- ارائه رابطه‌ای مناسب و بهینه برای ضریب دبی سرریز مرکب

فرضیات:

متغیرهای تأثیرگذار بر ضریب دبی سرریزهای مرکب مستطیلی-مستطیلی عبارت است از:

۱- عدد فرود بالادست جریان (Fr)

۲- نسبت ارتفاع وزنی تاج سرریز به عمق جریان در بالادست سرریز ( $\frac{w}{y}$ )

۳- نسبت طول سرریز به عرض کanal ( $\frac{L}{B}$ )

برای سرریز مثلثی-مستطیلی:

۱- عدد فرود بالادست جریان (Fr)

۲- نسبت ارتفاع وزنی تاج سرریز به عمق جریان در بالادست سرریز ( $\frac{w}{y}$ )

۳- نسبت طول سرریز به عمق جریان در بالادست سرریز ( $\frac{L}{y}$ )

## ۶- روش انجام تحقیق

در این پژوهش از داده‌های حاصل از نتایج آزمایش‌های انجام شده توسط عامری (عامری و همکاران، ۲۰۱۵) استفاده شده است. پارامترهای مؤثر بر ضریب دبی تعیین شده، سپس با استفاده از پارامترهای مؤثر، مدل‌های رگرسیون و مدل‌سازی با استفاده از GEP و GMDH و رگرسیون غیرخطی به داده‌ها انجام گرفته است.

## ۷- ساختار پایان‌نامه

پایان‌نامه نوشه شامل پنج فصل می‌باشد. در فصل اول خلاصه‌ای از موضوع و اهداف پایان‌نامه، ارائه گردید. در فصل دوم علاوه بر معادلات حاکم بر سرریز جانبی و خلاصه‌ای از تحقیقات انجام شده ذکر شده است. فصل سوم شامل مواد و روش‌ها، توضیح مختصر درباره روش‌های استفاده شده و

همچنین اجرای مدل‌های GEP و GMDH تشریح می‌شود. در فصل چهارم نتایج حاصل از مدل-سازی‌ها و مقایسه با نتایج آزمایشگاهی ذکر شده است. فصل پنجم پایان‌نامه، نتیجه‌گیری و پیشنهادات می‌باشد.

## فصل دوم:

### تاریخچه

## ۱-۲- مقدمه

معرفی سرریزهای جانبی توسط De-marchi در سال ۱۹۳۴ را می‌توان به عنوان پایه‌ی فعالیت‌های فعلی دانست. بیشتر مطالعات انجام‌شده با استفاده از این نظریه و در جهت تکمیل آن صورت گرفته است. بیشتر مطالعات انجام‌گرفته بر روی این سرریزها در جهت برآورد ضریب دبی سرریز بوده است.

در این فصل معادلات حاکم بر سرریز جانبی و مطالعات انجام‌شده بر روی سرریزها ذکر می‌گردد:

## ۲-۲- معادلات حاکم بر سرریز جانبی

جريان روی سرریز جانبی از نوع متغیر مکانی می‌باشد. جريان متغیر مکانی به حالتی از جريان‌های دائمی گفته می‌شود که شدت جريان در طول کanal و در جهت جريان، افزایش و یا کاهش یابد. جريان در سرریزهای جانبی سدها، کanal‌ها و لوله‌های زهکش و همچنین دریچه‌های جانبی مثال‌های متعددی از این نوع جريان می‌باشد.

بر حسب اينکه شدت جريان در امتداد طول مسیر اضافه و یا کم شود اين نوع جريان‌ها به دو دسته تقسيم می‌شوند:

الف) جريان متغیر مکانی با افزایش دبی: در اين حالت مقدار دبی در طول مسیر سرریز افزایش یافته و درنتیجه اختلاط دو جريان، آشفتگی ایجاد می‌شود، درنتیجه افت انرژی قابل ملاحظه‌ای به وجود خواهد آمد.

ب) جريان متغیر مکانی با کاهش دبی: در اين نوع از جريان شدت جريان در طول مسیر سرریز کاهش می‌يابد و اساساً يك جريان انشعابی می‌باشد، مانند سرریزهای جانبی در کanal‌ها.

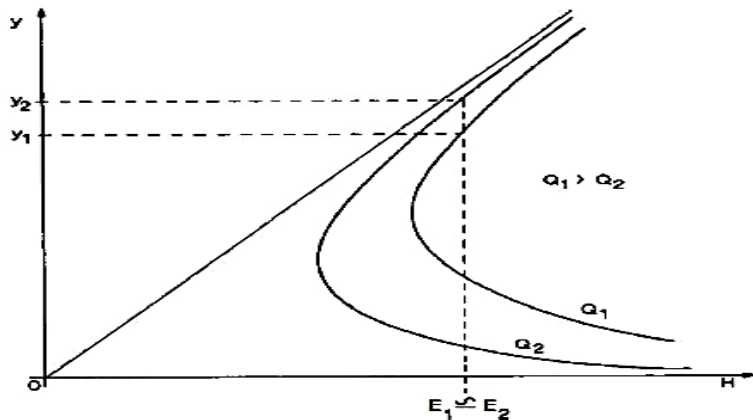
ارائه نظریه ارزشمند دی‌مارچی را می‌توان به عنوان شروع واقعی تحقیقات در زمینه سرریز جانبی در نظر گرفت. مسئله اصلی در مطالعات دی‌مارچی تعیین ضریب شدت جريان بود و اکثر مطالعات پس از وی نیز در جهت برآورد صحیح و دقیق‌تر این ضریب بوده است. دی‌مارچی از افت انرژی در طول

سرریز و برخی پارامترهای دیگر صرفنظر نمود و حل تحلیلی معادلات حاکم بر جریان در محدوده سرریزهای جانبی را به دست آورد (ابریشمی، ۱۳۸۴).

هنگام عبور آب از روی سرریز، افت انرژی ناشی از ریزش آب ناچیز فرض می‌شود. اگر فرض کنیم افت انرژی ناشی از اصطکاک در طول سرریز برابر افت کف کanal است، خط انرژی، موازی بستر خواهد بود. بنابراین رابطه (۲-۱) برقرار است.

$$E_1 = y_1 + \frac{Q_1^2}{2gA_1^2} = y_2 + \frac{Q_2^2}{2gA_2^2} = E_2 \quad (2-1)$$

در جریان زیربحارانی در امتداد سرریز عمق جریان افزایش یافته و برای شرایط جریان فوق بحرانی عمق جریان کاهش می‌یابد (شکل ۱-۲)، زیرا با افزایش فاصله (x) از ابتدای سرریز جانبی دبی در واحد عرض کanal کاهش می‌یابد و در شکل (۲-۱) نیز مشهود است که با افزایش فاصله منحنی نشان داده شده از حالت  $Q_1$  به  $Q_2$  انتقال می‌یابد.



شکل ۱-۲: دیاگرام  $E-y$  برای سرریز جانبی کanalی

با مشتق‌گیری از رابطه (۱-۲)، رابطه زیر به دست می‌آید:

$$\frac{dE}{dx} = \frac{dy}{dx} + \frac{d}{dx} \frac{Q^2}{2gA^2} \quad (2-2)$$

سپس از خلاصه‌سازی رابطه (۲-۲)، رابطه (۲-۳) به دست می‌آید:

$$\frac{dE}{dx} = \frac{dy}{dx} + \frac{1}{2g} \left( \frac{2Q}{A^2} \frac{dQ}{dx} - \frac{2Q^2}{A^3} \frac{dA}{dx} \right) \quad (3-2)$$

طبق معادله پیوستگی برای این بازه از کanal:

$$\frac{dQ}{dx} = -q \quad (4-2)$$

و دبی در واحد طول کanal در امتداد سرریز جانبی برابر است با :

$$\frac{dQ}{dx} = \frac{2}{3} \sqrt{2g} C_m (y - w)^{1.5} \quad (5-2)$$

که (Cm) ضریب تخلیه سرریز جانبی، (y) عمق آب در داخل کanal، (g) شتاب ثقل زمین و (w) ارتفاع

تاج سرریز می‌باشد، همچنین دبی در طول کanal در هر مقطعی به صورت رابطه (6-2) است:

$$Q = A \sqrt{2g(E - y)} \quad (6-2)$$

$$\frac{dA}{dx} = B \left( \frac{dy}{dx} \right) \quad \text{و در نهایت:}$$

بنابراین با در نظر گرفتن روابط فوق، رابطه (3-2) به صورت رابطه (7-2) نوشته می‌شود:

$$\frac{dy}{dx} = \frac{4C_m}{3B} \frac{(E-y)^{0.5}(y-w)^{1.5}}{\frac{A}{B} + 2y - 2E} \quad (7-2)$$

برای مجرای مستطیلی داریم  $y = \frac{A}{B}x + C$  ، A: مساحت کanal و B: عرض کanal) بنابراین:

$$\frac{dy}{dx} = \frac{4C_m}{3B} \frac{(E-y)^{0.5}(y-w)^{1.5}}{3y - 2E} \quad (8-2)$$

دی‌مارچی با فرض ثابت بودن انرژی (E) در طول سرریز کanal‌های افقی مستطیلی زمانی که بتوان از

اصطکاک صرف نظر نمود رابطه (9-2) را به دست آورد:

$$\frac{dy}{dx} = \frac{4C_m}{3B} \frac{\sqrt{(E-y)(y-w)}}{3y - 2E} \quad (9-2)$$

دی‌مارچی مقدار E و  $C_m$  را مستقل از مقدار X فرض نمود و با انتگرال‌گیری از معادله فوق رابطه پروفیل سطح آب را به صورت زیر به دست آورد.

$$X = \frac{3B}{2C_M} \varphi(y, E, w) + \text{cte} \quad (10-2)$$

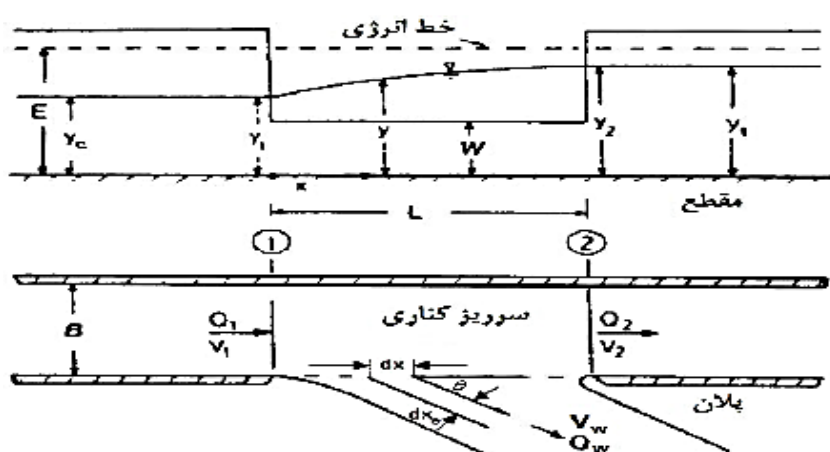
که در آن:

$$\varphi(y, E, w) = \frac{2E-3w}{E-w} \sqrt{\frac{E-y}{y-w}} - 3 \sin^{-1} \sqrt{\frac{E-y}{E-w}} \quad (11-2)$$

چنانچه مقاطع ابتدا و انتهای سرریز جانبی با شماره‌های ۱ و ۲ نشان داده شود، می‌توان نوشت:

$$L = \frac{3}{2} \frac{B}{C_M} (\varphi_2 - \varphi_1) \quad (12-2)$$

$C_M$  ضریب تجربی دبی سرریز جانبی با کاهش دبی است و تابعی از پارامترهای هیدرولیکی و نوع جریان می‌باشد. نمایی از سرریز جانبی مستطیلی در شکل (۲-۲) نشان داده شده است.



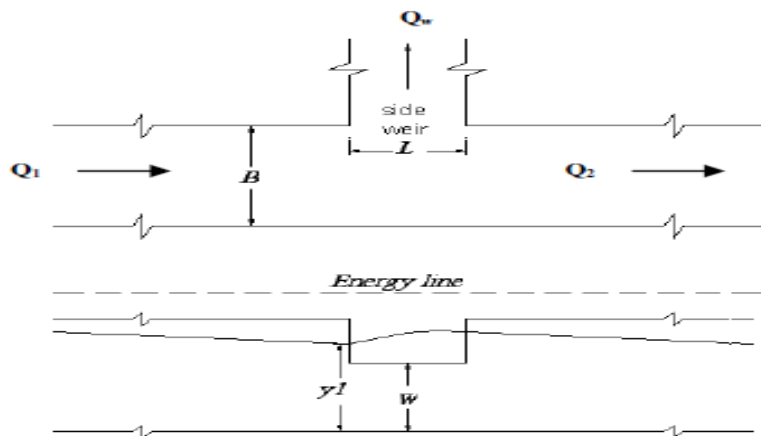
شکل ۲-۲: نمایی از پلان سرریز مستطیلی

در ادامه، مطالعاتی که تاکنون توسط محققین مختلف در زمینه‌های فوق انجام شده مورد بررسی قرار گرفته ذکر شده است.

## بررسی منابع

مطالعه سابرامانیا و آوستی (۱۹۷۲)

سابرامانیا و آوستی (۱۹۷۲) معادله دیفرانسیل عمومی جریان متغیر مکانی با کاهش دبی را در یک کanal مستطیلی افقی که دارای یک سرریز جانبی با ارتفاع صفر یا محدود بود را در نظر گرفتند. آنها با انجام آزمایش‌هایی در هر دو حالت، جریان زیربحرانی و فوق بحرانی، روابطی را برای محاسبه ضریب تخلیه سرریزهای جانبی لبه‌تیز به دست آوردند. آنها در مطالعه خود تغییرات ضریب دی‌مارچی را با دقت خاصی در نظر گرفتند (شکل ۲-۳).



شکل ۲-۳: نمایی کلی از یک سرریز جانبی (سابرامانیا و آوستی، ۱۹۷۲)

سابرامانیا و آوستی برای تعیین ضریب تخلیه تجربی ( $C_m$ )، رابطه (۱۳-۲) را پیشنهاد کردند:

$$C_m = C_m^* \sqrt{1 - \left( \frac{3Fr_1^2}{Fr_1^2 + 2} \right)} \quad (13-2)$$

که در این رابطه  $C_m^*$  نشان‌دهنده ضریب ثابت انقباض و  $Fr_1$  نشان‌دهنده عدد فرود در بالادست جریان می‌باشد.

مقدار  $C_m^*$  را می‌توان برابر  $0.611$  در نظر گرفت، چون این ضریب نشان‌دهنده ضریب انقباض در اثر ریزش و جاری شدن آب از روی سرریزی با ارتفاع صفر می‌باشد. درنتیجه رابطه (۱۳-۲) به صورت رابطه (۱۴-۲) خواهد بود.

$$C_m = 0.611 \sqrt{1 - \left( \frac{3Fr_1^2}{Fr_1^2 + 2} \right)} \quad (14-2)$$

از تجزیه و تحلیل داده‌ها نتایج زیر حاصل گردید:

۱. این معادله برای داده‌های تجربی در جریان‌های بحرانی با ارتفاع سرریز صفر، همخوانی خیلی خوبی را دارد.

۲. برای جریان فوق بحرانی ضریب تخلیه با مقادیر  $Fr_1$  به کندی تغییر می‌کند و در این حالت برای تعیین رابطه ضریب تخلیه از رابطه (۱۵-۲) استفاده می‌گردد:

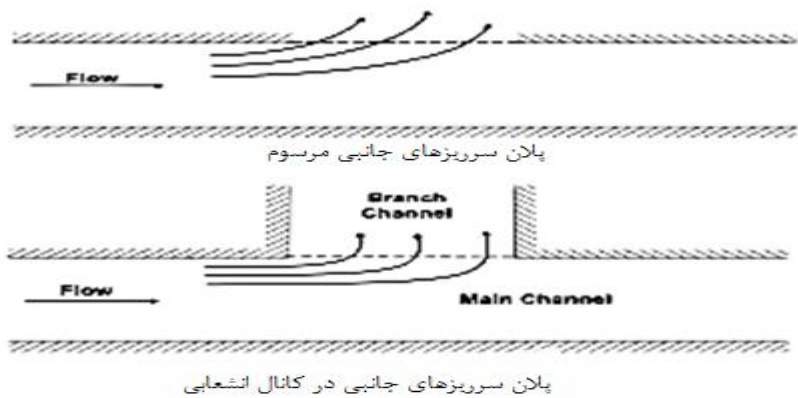
$$C_m = 0.36 - 0.08Fr_1 \quad (15-2)$$

۳. معادله دی‌مارچی را با داشتن مقادیر  $C_m$  می‌توان برای پیش‌بینی میزان تخلیه آب توسط سرریز مورد استفاده قرارداد.

۴. ضریب تخلیه یک سرریز با ارتفاع محدود اصولاً مشابه ضریب تخلیه سرریزی با ارتفاع صفر می‌باشد.

رانگاراجو و همکاران (۱۹۷۹)

تحقیقات رانگاراجو و همکاران (۱۹۷۹) صحت معادله دی‌مارچی را در برآورد میزان تخلیه از سرریزهای جانبی لبه‌تیز و لبه‌پهن بررسی کردند و روابطی برای محاسبه ضریب تخلیه سرریزهای ذکر شده ارائه دادند (شکل ۲-۴).



شکل ۴-۲: نمایی از خطوط جریان در سرریزهای جانبی (رانگاراجو و همکاران، ۱۹۷۹)

طی تحقیقات آن‌ها اثر جداسدگی جریان آب در گوشه بالادست کanal فرعی به‌وضوح دیده شده و از عمق‌های بسیار کم به‌دست‌آمده در این ناحیه نتیجه گرفته شده قسمتی از طول سرریز بی‌اثر بوده و جریان آب بیشتر در گوشه پایین‌دست کanal فرعی تجمع پیدا می‌کند. همچنین با توجه به توزیع غیریکنواخت جریان، بهتر است برای جریان عبوری از سرریز جانبی عرض مؤثر  $Be$  در نظر گرفته شود.

دی‌مارچی با فرض این‌که طول سرریز ثابت می‌ماند، برای سرریزهای به‌کاررفته شده در دیواره کanal مستطیلی معادلات (۱۶-۲) تا (۱۷-۲) را به‌دست‌آورده:

$$C_m = \frac{3B_1}{2B_2} \left( F\left(\frac{y}{E}\right)_2 - F\left(\frac{y}{E}\right)_1 \right) \quad (16-2)$$

که در این معادله،  $C_m$  ضریب دبی،  $B_1$  نشان‌دهنده عرض کanal اصلی و  $B_2$  نشان‌دهنده عرض سرریز می‌باشد.

داده‌های به‌دست‌آمده از نتایج آزمایشگاهی نشان دادند که استفاده از  $Be$  در معادله (۱۷-۲)، در رابطه (۱۶-۲) بسیار مناسب می‌باشد.

$$Be = B_2 - 0.05 \quad (17-2)$$

همچنین رانگاراجو و همکاران، معادله (۱۸-۲) را برای ضریب دبی در سرریز لبه‌تیز به دست آوردند:

$$C_m = 0.81 - 0.6 Fr_1 \quad (18-2)$$

ایزدجو و شفاعی بجستان (۱۳۷۵)

ایزدجو و شفاعی بجستان (۱۳۷۵) به منظور انتخاب رابطه‌ای مناسب برای ضریب تخلیه، روابط ارائه شده برای ضریب تخلیه سرریزهای جانبی توسط محققین مختلف را مورد بررسی قرار دادند. آن‌ها ۶ مدل سرریز لبه‌تیز مستطیلی را در آزمایشگاه هیدرولیک دانشگاه شهید چمران اهواز تحت شرایط هیدرولیکی مختلف مورد آزمایش قرار داده و داده‌های به دست آمده را تجزیه و تحلیل کردند. در این بررسی رابطه سینگ و همکاران (۱۹۹۴) به عنوان بهترین رابطه برای تخمین ضریب تخلیه سرریز مشخص شد و همچنین رابطه‌ای جدید برای ضریب دبی سرریز ارائه نمودند.

ایزدجو و شفاعی بجستان (۱۳۷۵) پارامترهای بی بعد مؤثر بر ضریب دبی را به صورت رابطه زیر (۲-۲) در نظر گرفتند:

$$C_m = f \left( Fr_1^2 \cdot Re \cdot \frac{L}{y_1} \cdot \frac{w}{y_1} \cdot \frac{b}{y_1} \cdot \frac{B}{y_1} \right) \quad (19-2)$$

و از طریق رگرسیون گیری چند متغیره رابطه (۲۰-۲) را برای محاسبه  $C_m$  معرفی کردند:

$$C_m = -0.0759 Fr_1^2 + 0.7364 \frac{w}{y_1} - 0.0187 \frac{L}{y_1} + 0.199 \quad (20-2)$$

از مقایسه آماری و ترسیمی بین معادلاتی که توسط محققین در گذشته برای ضریب تخلیه در سرریزهای جانبی ارائه شده و نتایج به دست آمده در این تحقیق به این نتیجه رسیدند که، رابطه سینگ و همکاران (۱۹۹۴) با انحراف معيار ۹۹٪ بیشترین نزدیکی را با نتایج تحقیق حاضر داشته و به طور متوسط با نتایج آزمایش حدود ۳٪ اختلاف دارد.

جلیلی قاضی‌زاده و همکاران (۱۳۷۶)

جلیلی قاضیزاده و همکاران (۱۳۷۶) تأثیر پارامترهای مختلف از جمله  $(\frac{w}{y_1})$  و  $(\frac{L}{B})$  و  $(S_0)$  و  $(Fr_1)$  را بر ضریب تخلیه موردررسی قراردادند، که در این تحقیق  $y_1$  عمق آب در ابتدای سرریز،  $P$  ارتفاع تاج سرریز از کف کanal،  $L$  طول سرریز،  $B$  عرض کanal،  $S_0$  شیب طولی کanal و  $Fr_1$  عدد فرود در ابتدای سرریز است. در این تحقیق مقدار متوسط کاهش نسبی انرژی مخصوص در طول سرریز  $\approx 3.7\%$  به دست آمد. در حالی که این مقدار در تحقیقات الخشاب و اسمیت (۱۹۷۶)، و رانگاراجو و همکاران (۱۹۷۹) به ترتیب ۵ و ۲ درصد محاسبه شده است. درنتیجه فرض ثابت بودن انرژی مخصوص در طول سرریز قابل قبول است. آنها تغییرات  $C_m$  بر حسب مجدور  $Fr_1$  رسم کرده و با برآش بر داده‌های آزمایشگاهی معادله (۲۱-۲) به دست آورده‌اند.

$$C_m = 0.55 - 0.47 Fr_1^2 \quad (21-2)$$

آنها با استفاده از آنالیز ابعادی و داده‌های آزمایشگاهی رابطه (۲۲-۲) را برای تخمین  $C_m$  ارائه دادند.

$$C_m = a + b_1(Fr_1) + c_1\left(\frac{w}{y_1}\right) + d_1\left(\frac{L}{B}\right) + e_1(S_0) \quad (22-2)$$

همچنین بررسی‌های انجام شده نشان داد حذف پارامترهای  $\frac{L}{B}$  و  $S_0$  در محاسبه  $C_m$  تأثیر زیادی ندارد و می‌توان از تأثیر این پارامترها صرف نظر کرد. درنهایت با استفاده از داده‌های آزمایشگاهی معادله (۲۳-۲) را ارائه دادند:

$$C_m = 0.71 - 0.41 Fr_1 - 0.22\left(\frac{w}{y_1}\right) \quad (23-2)$$

قدسیان و همکاران (۱۹۹۷)

قدسیان و همکاران (۱۹۹۷) مقدار  $C_m$  را برای روابط مختلف ارائه شده با عده‌های فرود مختلف محاسبه کرد و بیان کردند که ضرایب به دست آمده تفاوت زیادی با هم دارند و برای اعداد فرود مشابه نتایجی متفاوت به دست آمده. بنابراین هیچ‌یک از روابط ارائه شده قبل قادر به محاسبه دقیق دبی

نبوذند. بنابراین آنها رابطه‌ای با استفاده از ضریب دبی المانی معرفی کردند که تابع عمق جریان و ارتفاع سرریز بوده که شبیه به ضریب دبی معرفی شده برای سرریزهایی معمولی است.

معادلات زیر برای ضریب دبی المانی فرض شد:

$$\eta_w \leq 5 C_e = K_1 + K_2 \eta_w$$

اگر

$$\eta_w \geq 15 C_e = K_3 \cdot (1 + \eta_w^{-1})^{K_4}$$

اگر

که  $\frac{y-w}{w} = \eta_w$  و  $K_1$  تا  $K_4$  مقادیر ثابت و مجهولی هستند که از طریق آزمایش به دست می‌آیند.

قدسیان و همکاران، با به کارگیری روش بهینه‌سازی جستجوی شبکه‌ای مقادیر ثابت را به صورت زیر معرفی کردند:

$$\eta_w \leq 5 \quad C_e = 0.5 + 0.01 \eta_w$$

اگر

$$\eta_w \geq 15 \quad C_e = 0.447(1 + \eta_w^{-1})$$

اگر

با استفاده از معادلات فوق به ترتیب ۵ و ۵/۸۸ درصد خطای کل داده‌ها مربوطه به دست آمد. با توجه به لزوم یک رابطه عمومی  $C_e$  که برای تمامی  $\eta_w$  قابل استفاده باشد، ترکیب این دو رابطه بر اساس کل داده‌های آزمایشگاهی ضروری است که بعداً این مرحله معادله زیر (۲۴-۲) برای ضریب دبی المانی ارائه شد:

$$C_e = 0.446 \left\{ \left( \frac{44.7}{50 + \eta_w} \right)^{6.67} + \left( \frac{\eta_w}{1 + \eta_w} \right)^{6.67} \right\} \quad (24-2)$$

$\eta_w$  برای کلیه مقادیر قابل قبول می‌باشد. خطای متوسط داده‌ها برای به دست آوردن معادله (۲۴-۲) برابر ۶/۶ درصد به دست آمد.

سینگ و همکاران (۱۹۹۴)

سینگ و همکاران (۱۹۹۴) به این نتیجه دست یافتند که ضریب شدت جریان علاوه بر عدد فرود بالادست به نسبت ارتفاع سرریز به عمق جریان بالادست سرریز نیز بستگی دارد. همچنین با رگرسیون‌گیری چند متغیره به رابطه‌ای خطی بر حسب  $Fr_1$  و  $\frac{w}{y_1}$  برای محاسبه ضریب تخلیه دست یافتند.

نتایج حاصل از تحقیق آن‌ها به شکل زیر می‌باشد:

۱. پروفیل سطح آب نشان داد که عمق جریان در طول سرریز بیشتر می‌شود که این موضوع در تمامی تکرارها رخ داد که با توجه به نتایج آزمایش‌ها به این نتیجه رسیدند که فرض ثابت بودن انرژی مخصوص در طول آزمایش، فرضی مناسب است.

۲. در تحقیق آن‌ها مشخص شد هر چه مقدار  $Fr_1$  زیادتر باشد، مقدار  $C_m$  کاهش خواهد یافت. بهترین معادله منطبق بر منحنی  $C_m$  و  $Fr_1$  که با روش حداقل مربعات خطاب به دست آمده است، به صورت رابطه (۲۵-۲) می‌باشد:

$$C_m = 0.99 - 1.26 Fr_1 \quad (25-2)$$

۳. نتایج تحقیقات آن‌ها نشان داد هر چه مقدار  $\frac{w}{y_1}$  زیادتر باشد، مقدار  $C_m$  نیز افزایش خواهد یافت. رابطه (۲۶-۲) که با روش حداقل مربعات خطاب به دست آمده است نشان‌دهنده رابطه بین  $C_m$  و  $\frac{w}{y_1}$  می‌باشد.

$$C_m = 0.24 + 0.24 \left( \frac{w}{y_1} \right) \quad (26-2)$$

۴. نتایج این تحقیق نشان داد که مقدار  $C_m$  به  $Fr_1$  و  $\frac{w}{y_1}$  بستگی دارد که با استفاده از رگرسیون چند متغیره رابطه (۲۷-۲) بهترین رابطه بین  $C_m$ ،  $Fr_1$  و  $\frac{w}{y_1}$  است:

$$C_m = 0.33 - 0.18 Fr_1 + 0.49 \left( \frac{w}{y_1} \right) \quad (27-2)$$

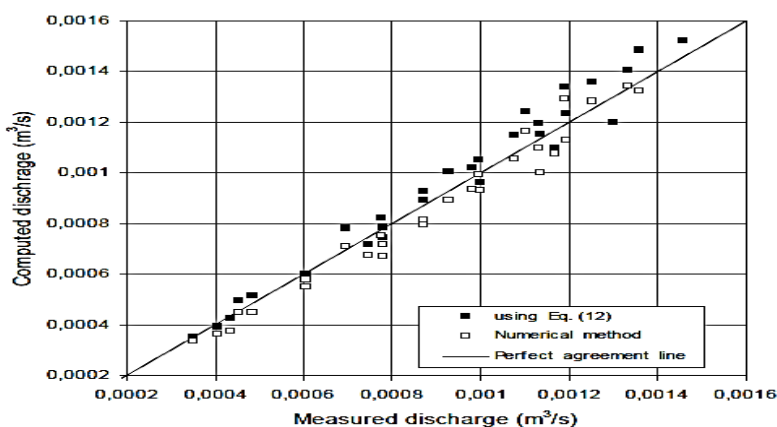
۵. متوسط  $C_m$  به دست آمده از رابطه (۲۷-۲) برابر  $0.07$  و انحراف معیار آن  $0.07$  می باشد. بررسی های آماری نشان داد هیچ گونه اختلاف معناداری بین  $C_m$  به دست آمده از سایر روابط با  $C_m$  به دست آمده از رابطه (۲۷-۲) وجود ندارد، بنابراین استفاده از رابطه (۲۷-۲) برای تعیین ضریب دبی مناسب می باشد.

مطالعه پیراپیتان و همکاران (۲۰۰۶)

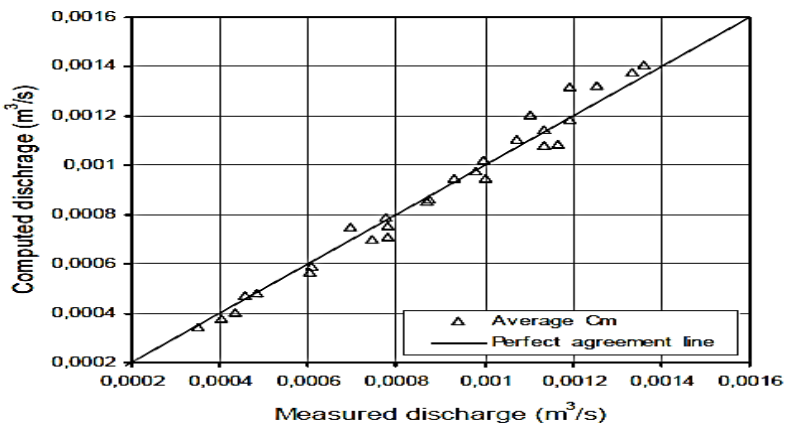
پیراپیتان و همکاران (۲۰۰۶) با انجام آزمایش هایی بر روی ۶ سرریز با ۵ دبی متفاوت ضریب دبی سرریز جانبی را به دست آوردند. آن ها تأثیر پارامتر های بی بعد  $Fr_1 = \left(\frac{L}{B}\right)^{\frac{w}{y_1}}$  (نسبت طول سرریز به عرض) را بر روی سرریز جانبی ارزیابی کردند. آزمایش ها در جریان فوق بحرانی انجام شده و با فرض ثابت در نظر گرفتن انرژی مخصوص، معادلات متغیر مکانی را به روش عددی رانگ-کوتا مرتبه ۴ حل کردند و معادله حاکم بر  $C_m$  را به صورت معادله زیر (۲۸-۲) بیان کردند:

$$C_m = -0.511 + 0.93 Fr_1 - 0.199 \left(\frac{w}{y_1}\right) - 0.137 \left(\frac{L}{B}\right) \quad (28-2)$$

نتایج حاصل از تحقیقات انجام شده که در محدوده خاصی از اعداد فرود به دست آمد، نشان داد که افزایش  $Fr_1$  باعث افزایش  $C_m$  می شود (شکل ۲-۵ و ۲-۶).



شکل ۲-۵: نمودار مقایسه نتایج دبی جریان به دست آمده از حل عددی با مقادیر آزمایشگاهی (پیراپیتان و همکاران ۲۰۰۶)

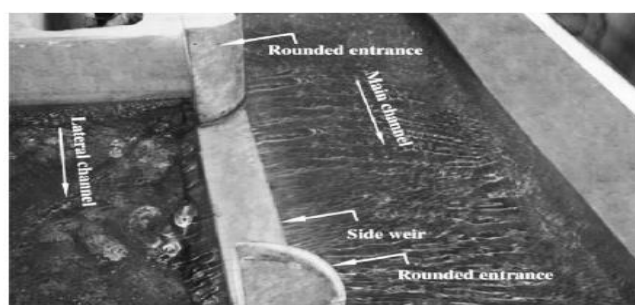


شکل ۲-۶: نمودار مقایسه نتایج دبی جریان به دست آمده از حل عددی با مقادیر آزمایشگاهی

(پیراپیتان و همکاران ۲۰۰۶)

مطالعه هنر و کشاورزی (۲۰۰۹)

هنر و کشاورزی (۲۰۰۹) اثر گرد گوشه کردن دیوارهای ورودی بر ضریب تخلیه جریان در سرریزهای جانبی در کanal‌های مستطیلی را مورد بررسی قراردادند. در این تحقیق تعداد ۹۰ آزمایش انجام دادند که نتایج به دست آمده از آن‌ها را مورد تجزیه و تحلیل قرارداده و اثر پارامترهای بی‌بعد مختلف بر ضریب تخلیه سرریز را مورد بررسی قراردادند. نتایج حاصل از این تجزیه و تحلیل‌ها نشان داد که دبی عبوری از سرریز جانبی در حالت گرد گوشه شدن دیوارهای حدود ۱۰ درصد بیشتر از حالت معمول است (شکل ۷-۲).

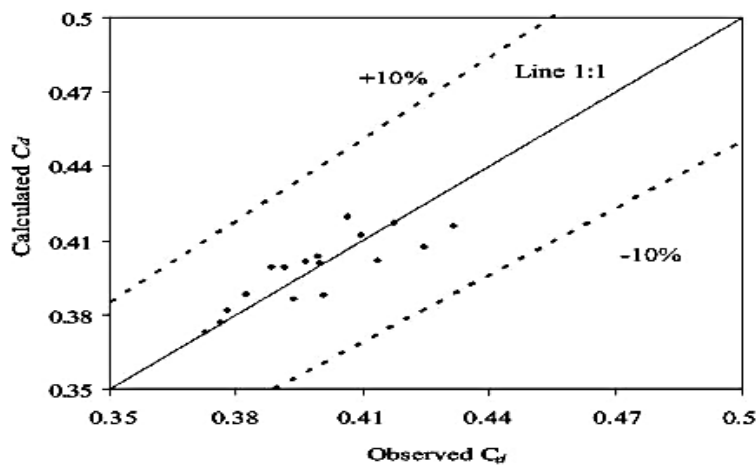


شکل ۷-۲: تصویر سرریز جانبی استفاده شده در آزمایش‌ها، (هنر و کشاورزی، ۲۰۰۹).

سرانجام آن‌ها رابطه (۲۹-۲) را با استفاده از روش حداقل مجموع مربعات خطأ (SSE) برای محاسبه در سرریزهای جانبی بدون گردش‌گی در دیوارهای ورودی معرفی کردند:

$$C_m = 0.466 - 0.126 \left( \frac{v_2}{v_1} \right) + 0.017 \left( \frac{h_2}{w} \right) - 0.019 \left( \frac{h_2}{w} \right)^2 \quad (29-2)$$

$v_1$  و  $v_2$  به ترتیب سرعت متوسط جریان در ابتدا و انتهای سرریز (m/s) و  $h_2$  عمق آب در انتهای سرریز می‌باشد (شکل ۸-۲).

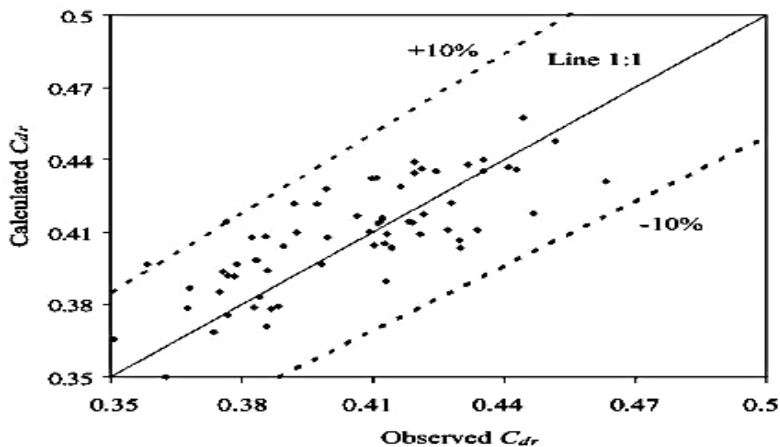


شکل ۸-۲: مقایسه ضریب دبی مشاهدهای و محاسبه شده توسط رابطه (۲-۳۱) (هنر و کشاورزی، ۲۰۰۹)

هنر و کشاورزی رابطه (۳۰-۲) را برای محاسبه  $C_m$  در سرریزهای جانبی با گردش‌گی در دیوارهای ورودی ارائه کردند:

$$C_{dr} - C_m = 0.044 \left( \frac{\frac{L}{2}}{w} \right) - 0.449 \left( \frac{r}{\frac{L}{2}} \right) - 0.029 \left( \frac{w}{Y_2} \right) + 0.309 \quad (30-2)$$

که در این رابطه  $C_{dr}$  ضریب دبی در حالتی است که دیوارهای ورودی سرریز جانبی گرد است،  $L$  محیط ناحیه گرد شده (m)،  $r$  شعاع ناحیه گرد شده (m)،  $w$  ارتفاع سرریز (m) و  $Y_2$  عمق آب در انتهای سرریز و مرکز کانال است (شکل ۹-۲).



شکل ۹-۲: مقایسه ضریب دبی مشاهده‌ای و محاسبه شده در حالت گرد گوشه (هنر و کشاورزی، ۲۰۰۹)

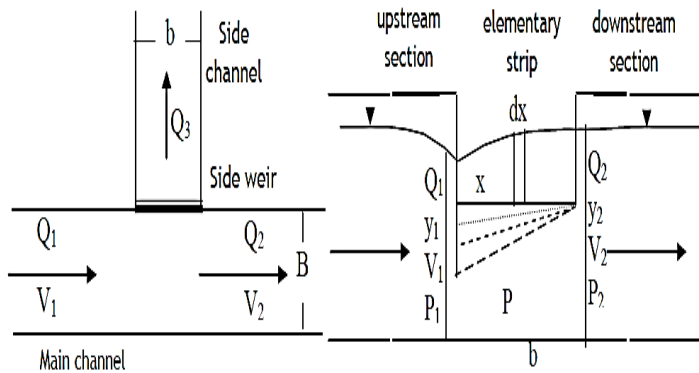
نتایج حاصل از این تحقیق نشان داد با فرض طول یکسان برای سرریز در حالتی که دیواره‌های ورودی سرریز گرد گوشه باشند، دبی عبوری از سرریز گرد گوشه بیشتر از حالتی است که دیواره‌های کناری آن لبه‌تیز باشند. درنتیجه برای عبور و یا انحراف دبی خاصی از کanal اصلی، ابعاد اجرائی سرریز را با گرد کردن دیواره‌های ورودی می‌توان کاهش داد.

ایزدی‌نیا و همکاران (۱۳۸۶)

ایزدی‌نیا و همکاران (۱۳۸۶) با تحلیل داده‌های آزمایشگاهی تحقیقات برقعی و همکاران (۱۹۹۹) و حل معادلات متغیر مکانی به روش عددی رانگ-کوتا مرتبه<sup>۴</sup>، پروفیل سطح آب بر روی سرریز جانبی را ارائه نمودند. عمق محاسبه شده به روش عددی مطابقت خوبی با داده‌های آزمایشگاهی داشته و میزان خطأ کمتر از ۵٪ به دست آمد، درنتیجه آن‌ها روش عددی رانگ-کوتا مرتبه ۴ را به عنوان راه حلی مناسب برای تعیین پروفیل سطح آب بر روی سرریز جانبی معرفی کردند.

مطالعه احمد (۲۰۱۱)

احمد (۲۰۱۱) با انجام آزمایش بر روی ۵ مدل فیزیکی از سرریز جانبی مستطیلی با زاویه‌های مختلف، نسبت به کanal اصلی، ضریب دبی المانی سرریزهای جانبی را مورد مطالعه قرارداد (شکل ۱۰-۲).



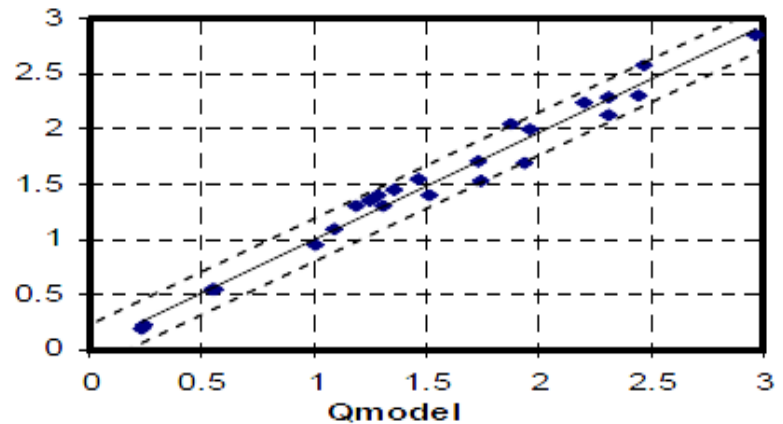
شکل ۱۰-۲: نمای سرریز جانبی مستطیلی (احمد، ۲۰۱۱)

او ضریب دبی المانی را با استفاده از ادغام معادلات متغیر مکانی، به صورت رابطه‌ی (۳۱-۲) را معرفی نمود:

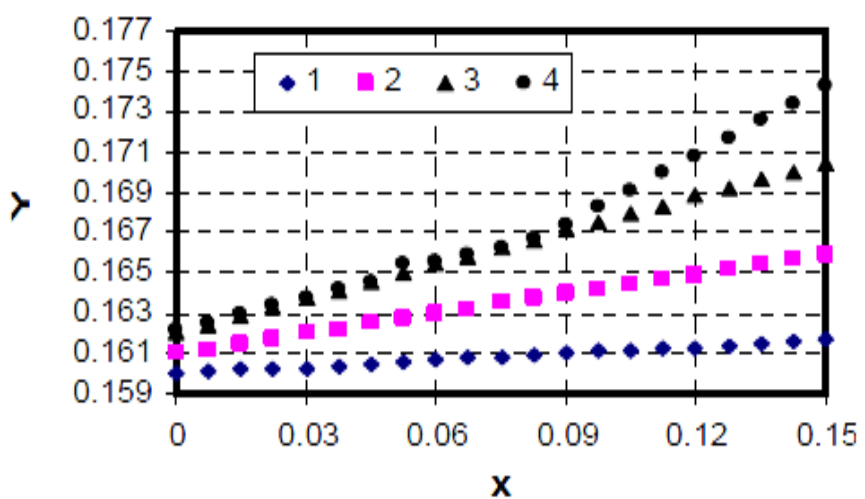
$$Cd = C_1 \left[ \left( \frac{C_2}{C_3 + \left( \frac{(y-p)}{p} \right)} \right)^2 \right] + \left[ \left( \frac{\left( \frac{(y-p)}{p} \right)}{\left( \frac{(y-p)}{p} + 1 \right)} \right)^{-10} \right]^{C_4} \quad (31-2)$$

که در این رابطه  $C_1, C_2, C_3$  و  $C_4$  پارامترهایی ثابت هستند،  $y$  میزان عمق آب و  $p$  ارتفاع تاج سرریز جانبی است.

احمد میزان عمق آب و دبی را در طول سرریزها با حل عددی معادلات متغیر مکانی به روش رانگ-کوتا مرتبه ۴ محاسبه نمود. نتایج به دست آمده از رابطه، مطابقت بسیار خوبی با داده‌های آزمایشگاهی داشت (شکل ۱۱-۲ و ۱۲-۲).

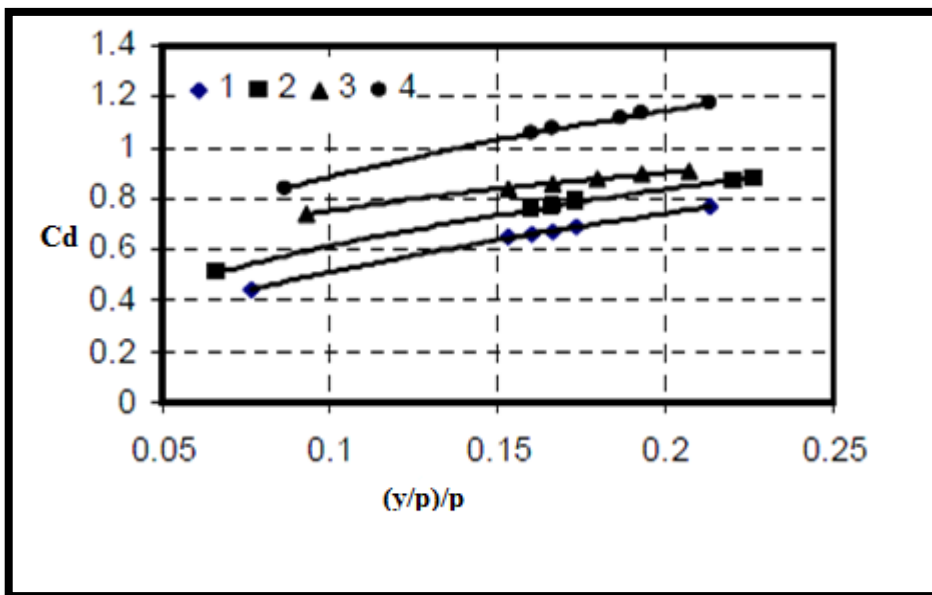


شکل ۱۱-۲: مقایسه نتایج محاسباتی با داده‌های آزمایشگاهی (احمد، ۲۰۱۱)

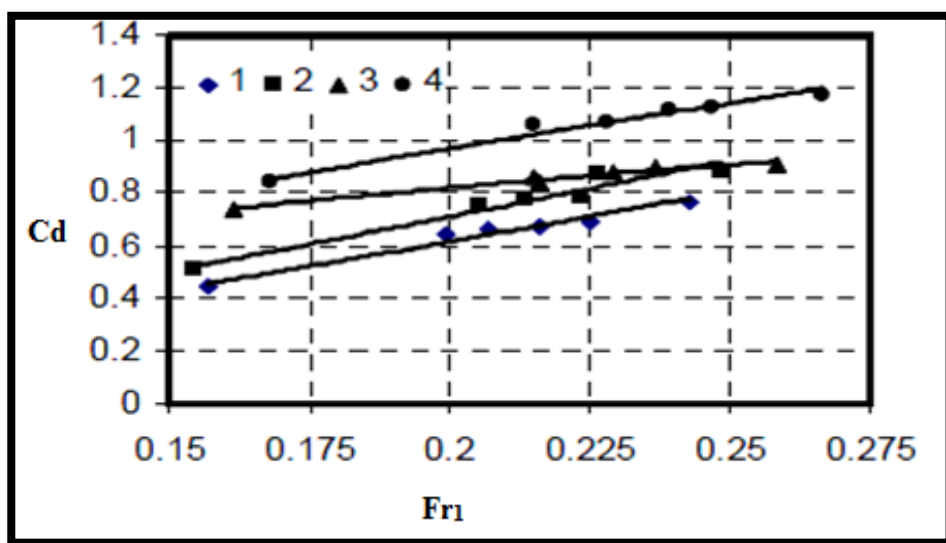


شکل ۱۲-۲: میزان تغییرات عمق آب در طول سرریز جانبی (احمد، ۲۰۱۱)

او همچنین تأثیر دو پارامتر بی بعد  $Fr_1$  (عدد فرود بالادست) و  $\frac{(y-p)}{p}$  (نسبت اختلاف بین عمق آب و ارتفاع سرریز به ارتفاع سرریز) را به  $Cd$  بررسی کرد. نتایج به دست آمده نشان داد میزان  $Cd$  با  $Fr_1$  و  $\frac{(y-p)}{p}$  رابطه‌ای مستقیم دارد (شکل‌های ۱۳-۲ و ۱۴-۲).



شکل ۱۳-۲: میزان تغییرات در برابر  $\frac{(y-p)}{p}$  (احمد، ۲۰۱۱)



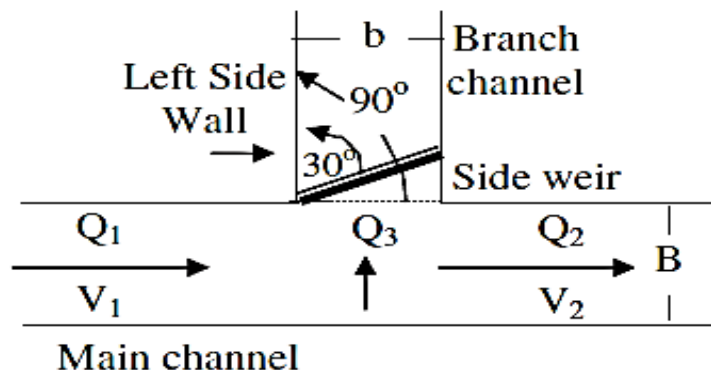
شکل ۱۴-۲: میزان تغییرات  $C_d$  به  $Fr_1$  (احمد، ۲۰۱۱)

بررسی‌های وی نشان داد که میزان ضریب دبی المانی در سرریزهای جانبی مایل بیشتر از سرریز ۹۰ درجه می‌باشد و میزان دبی عبوری نیز بیشتر از ۴۰٪ است.

محمد (۲۰۱۳)

محمد (۲۰۱۳)، ضریب دبی المانی سرریز جانبی مستطیلی را با زوایای مختلف ۳۰، ۴۵، ۶۰، ۷۵، و ۹۰ مورد مطالعه قرارداد و تأثیر زاویه قرارگیری سرریز جانبی بر ضریب دبی و میزان دبی خروجی را با

استفاده از حل عددی اوبلر، بررسی کرد (شکل ۱۵-۲). بررسی‌های او نشان داد که از بین زوایای موردمطالعه، زاویه  $30^\circ$  درجه دارای بیشترین ضریب تخلیه دبی است و رابطه آن را به صورت رابطه (۲-۲) است.

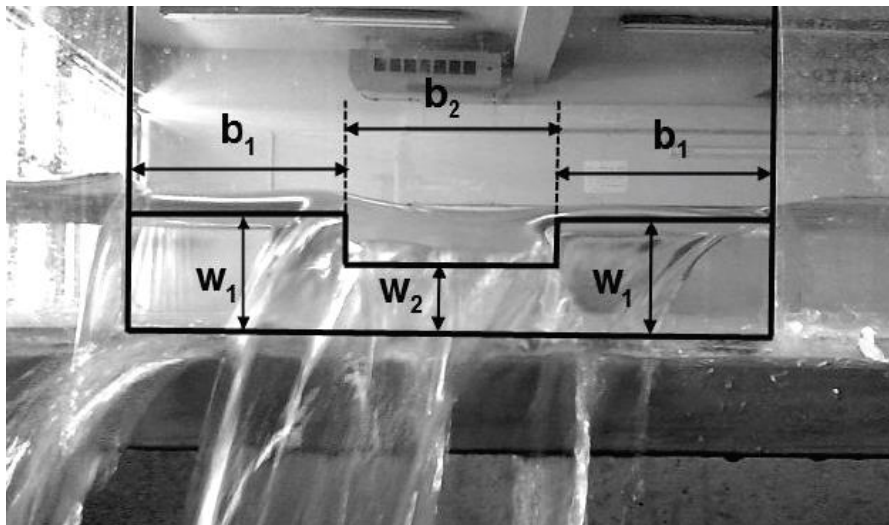


شکل ۱۵-۲: سرریز جانبی مایل (محمد، ۱۳۹۰)

$$C_m = 1.275 - 0.612 Fr_1 - 0.522 \left( \frac{P}{y_1} \right) + 0.028 \left( \frac{L}{B} \right) - 0.132 \theta \quad (۳۲-۲)$$

$\theta$  = زاویه سرریز نسبت به کanal اصلی،  $b$  = عرض سرریز،  $Fr_1$  = عدد فرود بالادست،  $y_1$  = ارتفاع آب در بالادست،  $P$  = ارتفاع تاج سرریز،  $L$  = طول سرریز باقري و همكاران (۱۳۹۱)

باقري و همكاران (۱۳۹۱) مطالعاتی بر روی سرریزهای جانبی لبه تیز با مقطع مرکب (ترکیبی) انجام دادند. آنها برای محاسبه ضریب دبی، حدود ۱۱۰ آزمایش بر روی سرریز جانبی لبه تیز مرکب مستطیلی-مستطیلی با عرض و ارتفاع متغیر انجام دادند (شکل ۱۶-۲).



شکل ۲: سرریز لبه تیز مرکب با مقطع مستطیلی-مستطیلی (پاقری و همکاران، ۱۳۹۱)

آنها بر اساس هندسه سرریزهای لبه تیز جانبی مرکب، معادله‌ی دبی عبوری از سرریز دی‌مارچی را به صورت رابطه (۳۳-۲) اصلاح نمودند:

$$\bar{w} = \frac{2w_1b_1 + w_2b_2}{2b_1 + b_2} \quad (33-2)$$

در این رابطه  $b_1$  و  $b_2$  به ترتیب طول تاج سرریز بالایی و پایینی و  $w_1$  و  $w_2$  به ترتیب ارتفاع تاج سرریز بالایی و پایینی است. لذا دبی عبوری از سرریزهای لبه تیز جانبی مرکب به صورت رابطه (۳۴-۲) ارائه شد:

$$Q = C \sqrt{2gL} (y_1 - \bar{w})^{1.5} \quad (34-2)$$

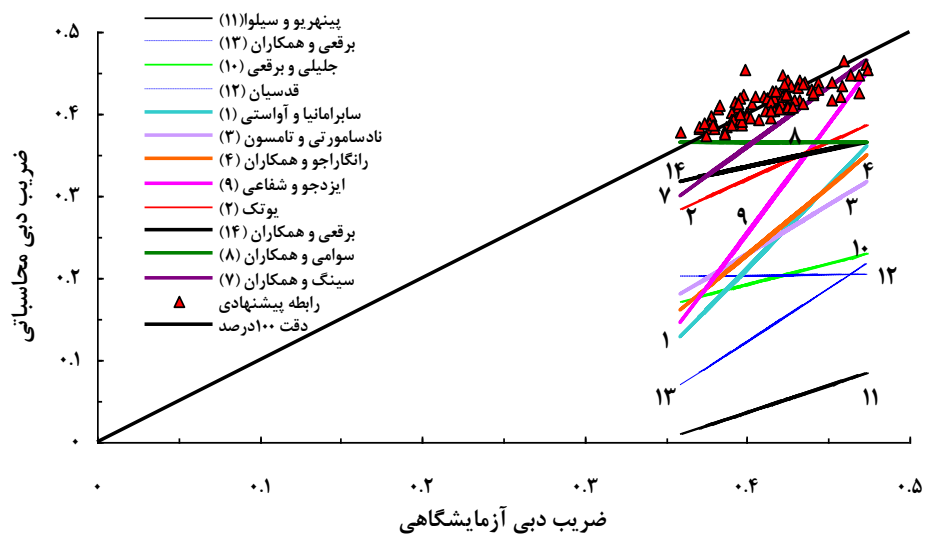
با استفاده از تحلیل ابعادی و نیز مدل‌سازی فیزیکی رابطه (۳۵-۲) را به صورت رابطه کلی برای تخمین دبی سرریزهای جانبی مرکب مستطیلی-مستطیلی پیشنهاد نمودند:

$$C = a Fr_1^b + c \left( \frac{\bar{w}}{y_1} \right)^d + e \left( \frac{B}{y_1} \right)^f + h \quad (35-2)$$

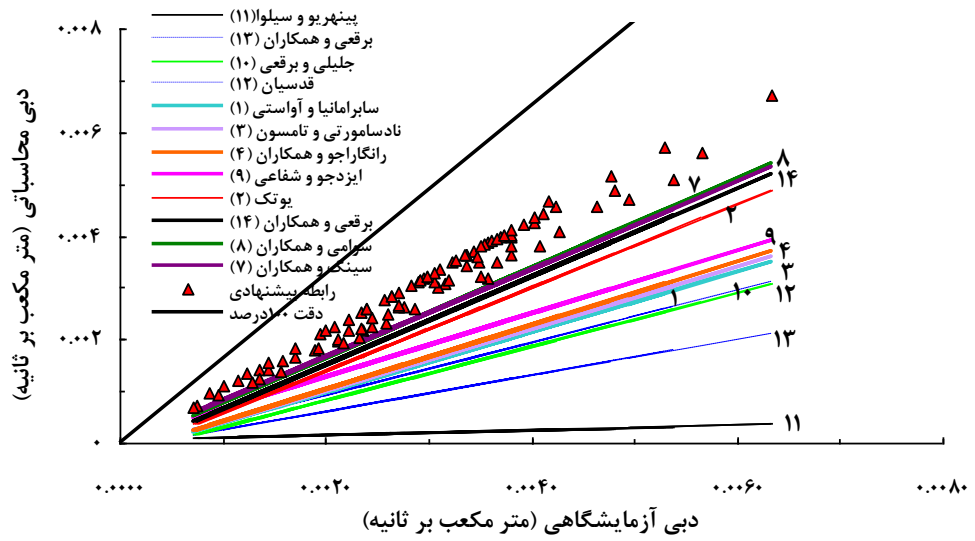
و با انجام بهینه‌سازی رابطه (۳۶-۲) را برای برآورد ضریب دبی سرریزهای جانبی لبه تیز مرکب در شرایط جریان زیربحرانی ارائه نمودند:

$$C = -0.0551Fr_1 + 0.1063\left(\frac{\bar{w}}{y_1}\right)^{2.1065} + 0.00168\left(\frac{B}{y_1}\right)^{1.1789} + 0.412 \quad (36-2)$$

بنابراین، ضریب دبی در سرریزهای جانبی لبه‌تیز مركب به صورت تابعی از ۳ پارامتر بدون بعد، عدد فرود جریان در بالادست سرریز، نسبت ارتفاع وزنی تاج سرریز به عمق جریان در بالادست سرریز و نسبت عرض کanal به عمق جریان در بالادست سرریز است. آن‌ها با بررسی روابط ارائه شده برای ضریب دبی سرریزهای جانبی لبه‌تیز ساده توسط محققان پیشین مشخص نمودند که هیچ‌یک از روابط ارائه شده کارایی مناسب برای سرریزهای جانبی مركب را ندارند زیرا روابط ضریب تخلیه دبی جریان عبوری از سرریز جانبی مركب را بسیار کمتر از مقدار واقعی برآورد می‌کنند (شکل‌های ۱۷-۲ و ۱۸-۲).



شکل ۲: نمودار مقایسه نتایج ضریب دبی به دست آمده از روابط سرریزهای جانبی ساده به مقادیر آزمایشگاهی (باقری و همکاران، ۱۳۹۱)

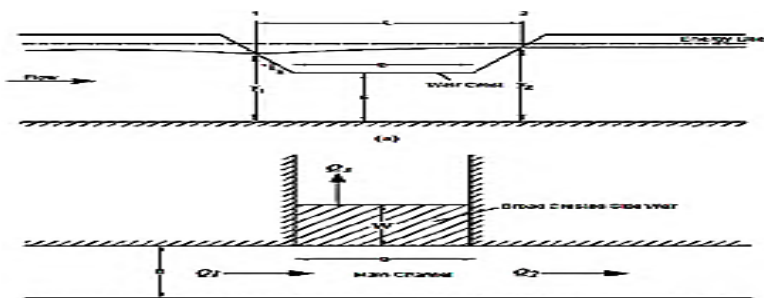


شکل ۱۸-۲: نمودار مقایسه نتایج دبی جریان به دست آمده از روابط سرریزهای جانبی ساده با مقادیر آزمایشگاهی

(باقری و همکاران، ۱۳۹۱)

سیاری و همکاران (۱۳۹۱)

سیاری و همکاران (۱۳۹۱) برای حل معادلات دینامیکی جریان‌های متغیر مکانی با کاهش دبی، از روش عددی رانگ-کوتا مرتبه ۴ استفاده نمودند و پروفیل سطح آب را بر روی سرریز جانبی ذوزنقه‌ای لبه‌پهن محاسبه کردند (شکل ۱۹-۲).



شکل ۱۹-۲: نمایی از سرریز جانبی ذوزنقه‌ای (سیاری و همکاران، ۱۳۹۱)

از مقایسه نتایج آزمایشگاهی با نتایج محاسبه شده به این نتیجه رسیدند که دقت پیش‌بینی پروفیل سطح آب با استفاده از روش عددی رانگ-کوتا مرتبه ۴ بسیار مناسب می‌باشد. آن‌ها برای اطمینان از نتایج به دست آمده، میزان خطا را از روش تحلیل رگرسیون نیز به دست آوردند که با این مقایسه مشخص شد در شبیب جانبی  $R^2 = 0.978$  و برای شبیب جانبی ۲ مقدار  $R^2 = 0.989$  می‌باشد. نتایج ضریب همبستگی به دست آمده نشان داد که عمق‌های محاسبه شده با زیادشدن شبیب جانبی انطباق بیشتری را با داده‌های آزمایشگاهی دارد.

همچنین معادلات حاکم بر هیدرولیک جریان در سرریزهای جانبی ساده نیز توسط محققین مختلف به روش عددی مورد مطالعه قرار گرفته است. سامانی (۲۰۰۵) برای تعیین موقعیت پرش هیدرولیکی در محدوده سرریز جانبی یک مدل ریاضی را ارائه کرده و دستگاه معادلات حاکم را به روش عددی رانگ-کوتا (۴) حل نمود. قبادیان و همکاران (۲۰۱۱) با استفاده از نتایج مدل آزمایشگاهی، مدل ریاضی پروفیل سطح آب را در محدوده سرریز جانبی واسنجی کردند. محمد و همکاران (۲۰۱۱) معادله متغیر مکانی در محدوده سرریز جانبی لبه تیز مستطیلی را با استفاده از حل عددی رانگ-کوتا (۴) حل نموده و اثر شبیب طولی کanal بر ضریب دبی تخلیه را بررسی کردند. صادقی و همکاران (۲۰۹۱) پروفیل سطح آب در محدوده دریچه جانبی واقع در قوس ۱۸۰ درجه را با استفاده از حل عددی رانگ-کوتا ۴، بررسی نمودند.

بر اساس بررسی‌های صورت گرفته، اگرچه سرریزهای جانبی ساده به صورت گسترده‌ای توسط محققین مختلف مورد مطالعه قرار گرفته‌اند (سابرامانیا و آواستی (۱۹۷۲)، مقیسه و اسماعیلی (۲۰۱۱)، امیرأقو و همکاران (۲۰۱۰)، برگی و صالحی (۲۰۰۳)، رامامورتی و همکاران (۲۰۰۶)، اکبری و قدسیان (۲۰۱۱)). اما در زمینه سرریزهای جانبی مرکب مطالعات محدودی انجام شده است (باقری و همکاران، ۱۳۹۱). البته مطالعات آزمایشگاهی محدودی در خصوص سرریزهای لبه‌تیز مرکب نرمال (که در عرض کanal و عمود بر جهت جریان احداث می‌شوند) انجام شده که دارای تفاوت عمدی با

سرریزهای جانبی می‌باشد. از تحقیقات انجامشده در این زمینه می‌توان به (سازمان احیای اراضی امریکا، ۱۹۶۳؛ یاسی و عباسپور ۱۳۸۴)، مارتینز و همکاران (۲۰۰۵)، پیراتیپان و همکاران (۲۰۰۶). جان و همکاران (۲۰۰۶) و ظهیری (۱۳۹۱) اشاره کرد.

اولین بار سازمان احیای اراضی امریکا (۱۹۳۶) دبی جریان را با استفاده از یک سرریز لبه‌تیز مثلثی-مستطیلی اندازه‌گیری نمود.

یاسی و عباسپور (۲۰۰۶) با بررسی جریان در سرریز لبه‌تیز مرکب نرمال مثلثی-مستطیلی با زاویه رأس ۹۰ درجه در حالت با و بدون فشردگی جانبی به این نتیجه رسیدند که با افزایش ارتفاع سطح آب روی سرریز و در مرز تماس سرریزهای مثلثی و مستطیلی، ضریب دبی به صورت متناوب افزایش و کاهش می‌یابد.

مارtinز و همکاران (۲۰۰۵) با بررسی‌های آزمایشگاهی سرریز لبه‌تیز مرکب نرمال مثلثی-مثلثی، این نوع سرریز را برای استفاده در سدهای رسوب‌گیر در حوضه‌های کوهستانی مناسب ارزیابی کردند. این نوع سرریز به دلیل پیوستگی رابطه دبی-اشل در تمامی عمق‌های جریان روی سرریز و همچنین دقت مناسب در اندازه‌گیری دبی در محدوده وسیعی از شرایط جریان (کم‌آب تا سیلابی) انتخاب شد.

جان و همکاران (۲۰۰۵) با الگو گرفتن از تحقیقات مارتینز و انجام یک سری آزمایش، محدوده دبی جریان را برای چهار نوع سرریز لبه‌تیز مرکب نرمال شامل ترکیبی از سرریزهای مستطیلی-مستطیلی، مستطیلی-ذوزنقه‌ای، مثلثی-مستطیلی و مثلثی ذوزنقه‌ای اندازه‌گیری و بررسی نمودند. به دلیل وجود ناپیوستگی در منحنی دبی-اشل سرریز، همچنین حساسیت زیاد اندازه‌گیری تراز سطح آب در محل اتصال سرریزهای پایین یا مرکز و دو سرریز بالا که در دو طرف سرریز مرکزی قرار دارند و غیرممکن بودن محاسبه دقیق دبی در این ناحیه، استفاده از این سرریزهای مرکب را محدود کرده است.

همچنین پیراپیتان و همکاران (۲۰۰۶) با بررسی آزمایشگاهی همین نوع سرریز مرکب با زاویه‌های - مختلف، رابطه‌ای دقیق برای محاسبه دبی جریان سرریز مرکب مثلثی- مثلثی معرفی کردند.

کشاورز و همکاران (۲۰۱۱) بامطالعه بر روی دبی سرریزهای جانبی لبه‌تیز ذوزنقه‌ای روابطی را ارائه نمودند.

ظهیری (۲۰۱۳) به عنوان روشی جدید با حل عددی مدل ریاضی شبه دو بعدی شیونو و نایت، دبی عبوری از سرریزهای لبه‌تیز مرکب نرمال را محاسبه کرد.

### ۳-۲- جمع‌بندی

با بررسی تحقیقات گذشته مشخص شد که با وجود مطالعات فراوان درزمینه‌ی سرریزهای جانبی لبه-تیز ساده، سرریزهای جانبی لبه‌تیز مرکب که ضمن قابلیت اندازه‌گیری دقیق دبی عبوری، توانایی خروج میزان قابل‌توجهی از جریان در زمان رخداد سیلاب را دارند، تاکنون مورد توجه جدی قرار نگرفته‌اند و برای تعیین دبی جریان عبوری از سرریزهای جانبی مرکب از یک رابطه ساده استفاده شده است که در این روابط، ضریب تخلیه دبی بر اساس هندسه سرریز مرکب محاسبه می‌شود.

در این پایان‌نامه به معرفی اصول کلی برنامه‌ریزی بیان‌زن پرداخته خواهد شد. محدوده کاری برنامه-ریزی بیان‌زن دارای وسعتی زیاد است و هر روزه با پیشرفتهای روزافزون علوم و تکنولوژی استفاده از این روش در بهینه‌سازی و حل مسائل بسیار گستردۀ و فراگیر شده است.

همچنین در این مطالعه از شبکه عصبی GMDH و همچنین بهینه‌سازی غیرخطی رگرسیون بهره گرفته و برای مقایسه مدل‌ها استفاده شدند.



## **فصل سوم:**

# **مواد و روش‌ها**

### ۳-۱- داده‌های مورد استفاده

در مطالعه حاضر از داده‌های آزمایشگاهی عامری (عامری و همکاران، ۲۰۱۵) بر روی سرریزهای مرکب مستطیلی- مستطیلی و مثلثی- مستطیلی استفاده شده است و به کمک نرم‌افزارهای موردمطالعه در این پژوهش داده‌ها آنالیز شدند.

### ۳-۱- مشخصات مدل آزمایشگاهی

آزمایش‌ها در آزمایشگاه بر روی دو فلوم با شیب تقریباً  $1/00$ ، با طول ۵ متر، عرض ۳۰ سانتی‌متر و ارتفاع ۴۰ سانتی‌متر برای دو نوع سرریز مستطیلی- مستطیلی و مثلثی- مستطیلی با زاویه رأس‌های  $60^\circ$ ،  $90^\circ$  و  $120^\circ$  درجه انجام شده است. همچنین حداکثر دبی ورودی آن  $400$  لیتر بر ثانیه بوده که توسط یک روتامتر اندازه‌گیری شده و برای اندازه‌گیری دبی خروجی از سرریز جانبی مرکب، در انتهای مسیر یک مخزن فلزی نصب شده که دارای یک سرریز مثلثی  $53^\circ$  درجه کالیبره شده می‌باشد. همچنین برای اندازه‌گیری تراز سطح آب در داخل فلوم و در محدوده سرریز جانبی از یک عمقدست  $\pm 1$  میلی‌متر استفاده شده است.

پارامترهای موجود آزمایشگاهی: عرض سرریز( $b$ )، ارتفاع سرریز( $w$ )، طول سرریز( $L$ )، عمق جریان( $y$ )، بار هیدرولیکی( $h_{up}$ )، زاویه سرریز( $\Theta$ )، دبی جریان( $Q$ ) و عدد فرود( $Fr$ ).

تعداد داده‌های مشاهداتی اندازه‌گیری شده در آزمایشگاه که در این پژوهش استفاده شده در جدول (۱-۳) نشان داده شده است.

جدول ۳-۱: تعداد داده‌های مشاهداتی موجود برای هر سرریز مرکب

نوع سرریز مرکب	تعداد داده مشاهداتی
سرریز مرکب مستطیلی- مستطیلی	۳۷۸
سرریز مرکب مثلثی- مستطیلی با زاویه رأس ۶۰ درجه	۱۹۷
سرریز مرکب مثلثی- مستطیلی با زاویه رأس ۹۰ درجه	۲۳۵
سرریز مرکب مثلثی- مستطیلی با زاویه رأس ۱۲۰ درجه	۱۶۰

برای رسیدن به معادله‌ای که شکل ظاهری مناسبی داشته و همه‌ی پارامترهای تأثیرگذار را شامل باشد از پارامترهای بی-بعد استفاده شده است.

متغیرهای تأثیرگذار بر ضریب دبی سرریزهای مرکب مستطیلی- مستطیلی عبارت است از:

عدد فرود بالادست جریان ( $Fr$ )، نسبت ارتفاع وزنی تاج سرریز به عمق جریان در بالادست سرریز ( $\frac{W}{y}$ )

نسبت طول سرریز به عرض کanal ( $\frac{L}{B}$ )

برای سرریز مثلثی- مستطیلی:

عدد فرود بالادست جریان ( $Fr$ )، نسبت ارتفاع وزنی تاج سرریز به عمق جریان در بالادست سرریز ( $\frac{W}{y}$ )

نسبت طول سرریز به عمق جریان در بالادست سرریز ( $\frac{L}{y}$ )

همچنین رنج داده‌های استفاده شده برای سرریز مستطیلی- مستطیلی و مثلثی- مستطیلی به ترتیب در جدول (۳-۲) و (۳-۳) نشان داده شده است.

جدول ۲-۳: رنج پارامترهای بی بعد سرریز مرکب مستطیلی - مستطیلی

Rectangular-Rectangular	W/Y	L/B	Fr
Min	0.12	0.5	0.15
Max	0.83	1	0.96

جدول ۳-۳: رنج پارامترهای بی بعد سرریز مرکب مثلثی - مستطیلی با زاویه رأس‌های ۶۰، ۹۰ و ۱۲۰ درجه

Tryangular-Rectangular	W/Y	L/Y	Fr
60°	Min	0.36	1.32
	Max	0.78	3.54
90°	Min	0.42	1.31
	Max	0.84	3.85
120°	Min	0.39	1.99
	Max	0.8	3.7

### ۲-۳- مدل‌های مورد استفاده

امروزه با توجه به پیشرفت‌های علوم و تکنولوژی استفاده از روش‌های مختلف بهینه‌سازی در حل مسائل فراگیر شده است. در این تحقیق با استفاده از برنامه‌ریزی بیان‌زن، شبکه عصبی GMDH و بهینه‌سازی غیرخطی رگرسیون، نتایج آزمایشگاهی شبیه‌سازی شده و با مقایسه نتایج، قابلیت این روش‌ها در تخمین ضریب‌دنبی مورد بررسی قرار گرفت.

### ۱-۲-۳- ضریب دبی سرریز مرکب مستطیلی-مستطیلی به روش مستقیم

روش مستقیم سریع‌ترین روش محاسبه ضریب دبی می‌باشد با داشتن پارامترهای هندسی و هیدرولیکی موردنیاز ضریب دبی محاسبه می‌شود. در سرریز مستطیلی تغییرات دبی در طول سرریز از رابطه (۱-۳) به دست می‌آید:

$$Q = \frac{2}{3} C_d \sqrt{2g} b (y - w)^{1.5} \quad (1-3)$$

در این روش سرریز جانبی مرکب مستطیلی-مستطیلی به سه بخش تقسیم می‌شود که دارای دو سرریز مستطیلی ساده در طرفین و یک سرریز مستطیلی ساده در مرکز می‌باشد، همچنین ضریب دبی کل از روش مستقیم از جمع ضریب دبی سریز مرکزی با ضریب دبی‌های دو طرف دست می‌آید. برای جلوگیری از اشکال در روابط به دلیل متغیر بودن ارتفاع تاج سرریز از پارامتر ارتفاع وزنی تاج ( $\bar{W}$ ) استفاده شده است که اولین بار توسط ظهیری و همکارانش (۲۰۱۳) معرفی شده است:

دبی کل از رابطه (۲-۳) به دست می‌آید:

$$Q_w = Q_1 + 2Q_2 = \frac{2}{3} C_d \sqrt{2g} [2b_1(y_1 - w_1)^{1.5} + b_2(y_1 - w_2)^{1.5}] \quad (2-3)$$

در این رابطه  $Q_1$  دبی سرریز وسطی در سرریز مرکب و  $Q_2$  دبی سرریز در طرفین سرریز مرکزی می‌باشد.

درنتیجه ضریب دبی سرریز مرکب مستطیلی-مستطیلی به صورت رابطه (۳-۳) ارائه می‌گردد:

$$C_d = \frac{Q_w}{\left( \left( \frac{3}{2} \right) \sqrt{2g} \cdot 2b_1(y_1 - w_1)^{1.5} + b_2(y_1 - w_2)^{1.5} \right)} \quad (3-3)$$

که در آن  $g$  شتاب ثقل و  $y_1$  ارتفاع آب قبل از سرریز می‌باشد.

در رابطه زیر  $\bar{W}$  ارتفاع وزنی تاج است و برای سرریز مرکب مستطیلی-مستطیلی به شکل (۴-۳) می‌باشد:

$$\bar{w} = \frac{2w_1b_1 + w_2b_2}{2b_1 + b_2} \quad (4-3)$$

که در این رابطه  $b_1$  و  $b_2$  به ترتیب طول تاج سرریز در قسمت کناری و قسمت مرکزی سرریز می‌باشد و  $w_1$  و  $w_2$  نیز به ترتیب ارتفاع تاج سرریز در قسمت کناری و قسمت مرکزی می‌باشد.

در این تحقیق برای برقراری رابطه بین پارامترهای هیدرولیکی سرریز جانبی و ضریب‌دبی  $C_d$  از مدل خطی استفاده شده است. همچنین متغیرهای ورودی و خروجی به شکل به هم مرتبط می‌شوند:

برای سرریز مستطیلی-مستطیلی

$$C_d = f(Fr, \frac{L}{B}, \frac{W}{Y}) \quad (5-3)$$

برای سرریز مثلثی-مستطیلی

$$C_d = f(Fr, \frac{L}{Y}, \frac{W}{Y}) \quad (6-3)$$

در روابط بالا پارامترهای بی‌بعد هیدرولیکی  $Fr$  عدد فرود بالادست،  $L/B$  نسبت طول سرریز به عرض کanal،  $Y/W$  نسبت ارتفاع وزنی به عمق آب،  $L/Y$  نسبت طول سرریز به عمق آب در کanal به عنوان پارامترهای ورودی و  $C_d$  ضربی دبی در روابط به عنوان پارامتر خروجی می‌باشد.

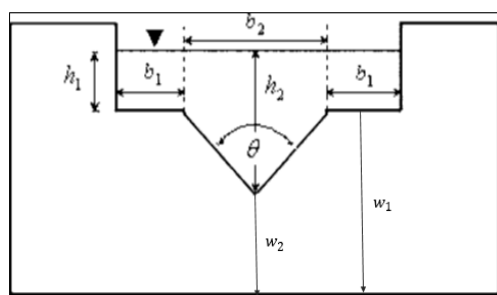
با توجه به داده‌های آزمایشگاهی با استفاده از آنالیز ابعادی رابطه (7-۳) برای محاسبه ضریب دبی ارائه می‌شود:

$$c_d = a + b * Fr^c + d * \left(\frac{\bar{w}}{y}\right)^e + f * \left(\frac{l}{B}\right)^g \quad (7-3)$$

که در این رابطه ضرایب  $a, g, f, e, d, c, b$  را با استفاده از داده‌های آزمایشگاهی و با کمک حداقل-سازی مجموع مربعات خطأ به دست می‌آیند.

## ۲-۲-۳- ضریب دبی سرریز مرکب مثلثی-مستطیلی به روش مستقیم

مشابه آنچه که برای سرریز مستطیلی-مستطیلی ذکر گردید در روش مستقیم برای سرریز جانبی مرکب مثلثی-مستطیلی نیز به سه بخش تقسیم می‌شود که دارای دو سرریز مستطیلی ساده در طرفین و یک سرریز مثلثی ساده در مرکز می‌باشد (شکل ۱-۳). همچنین فرمول ضریب دبی مستطیلی و مثلثی ساده به ترتیب از رابطه (۸-۳) و (۹-۳) به دست می‌آید. ضریب دبی کل از روش مستقیم از جمع این دو ضریب به دست می‌آید.



شکل ۱-۳: اجزای سرریز مرکب مثلثی-مستطیلی

ضریب دبی سرریز مستطیلی:

$$C_d = \frac{Q_w}{\left( \left(\frac{3}{2}\right) \sqrt{2g} \cdot b_1 \cdot (y_1 - w_1)^{1.5} \right)} \quad (8-3)$$

ضریب دبی سرریز مثلثی:

$$C_d = \frac{Q_w}{\left( \left(\frac{8}{15}\right) \sqrt{2g} \cdot \tan\left(\frac{\theta}{2}\right) \cdot (y_1 - w_2)^{2.5} \right)} \quad (9-3)$$

ضریب دبی سرریز مرکب مثلثی-مستطیلی:

$$C_d = 2 \left( \frac{Q_w}{\left( \left(\frac{3}{2}\right) \sqrt{2g} \cdot b_1 \cdot (y_1 - w_1)^{1.5} \right)} \right) + \left( \frac{Q_w}{\left( \left(\frac{8}{15}\right) \sqrt{2g} \cdot \tan\left(\frac{\theta}{2}\right) \cdot (y_1 - w_2)^{2.5} \right)} \right) \quad (10-3)$$

همچنین دبی برای سرریز مرکب مثلثی-مستطیلی درجه نیز از رابطه (۱۱-۳) به دست می‌آید:

$$Q_w = Q_1 + 2Q_2 = \left( C_d \left(\frac{3}{2}\right) \sqrt{2g} \cdot b_1 \cdot (y - \bar{w})^{1.5} \right) + 2 \left( C_d \left(\frac{3}{2}\right) \sqrt{2g} \cdot b_1 \cdot (y - \bar{w})^{1.5} \right) \quad (11-3)$$

همچنین ارتفاع وزنی در سرریز مرکب مثلثی- مستطیلی از رابطه زیر محاسبه می شود:

$$\bar{W} = \frac{2w_1b_1 + w_2b_2 + 0.5b_2(w_1 - w_2)}{2b_1b_2} \quad (12-3)$$

### ۳-۳- روش رگرسیون غیرخطی

در اکثر تحقیقات با حجم زیادی از داده‌ها مواجه هستیم که اجرای عملیات بر روی داده‌ها حجم وسیعی از محاسبات را نیاز خواهد داشت. لذا استفاده از یک نرمافزار مناسب آماری با کارایی و قدرت متفاوت ضروری است، در این پژوهش از نرمافزار SPSS (sciences statistical package for the SPSS) استفاده شده است. علت استقبال بیشتر محققین از این نرمافزار، استفاده آسان، ارائه خروجی با محیط گرافیکی عالی و انجام بیشتر روش‌های آماری بدون نیاز به برنامه‌نویسی و نیز دارا بودن محیط برنامه‌نویسی (SYNTAX SPSS EDITOR) برای کاربران حرفه‌ای است. همچنین در این پژوهش پارامترهای موجود در سرریز با استفاده از آزمون همبستگی مورد مقایسه قرار می‌گیرد.

### ۴-۳- برنامه‌ربیزی بیان ژن (GEP)

الگوریتم بیان ژن یک روش جستجوی کلی است که از قوانین تکامل بیولوژیک طبیعی پیروی می‌کند. الگوریتم بیان ژن بر روی قسمتی از جواب‌های مساله برای دستیابی به جواب‌های بهتر، قانون بقا بهترین را اعمال می‌کند. در هر نسل به کمک فرآیند انتخابی متناسب با ارزش جواب‌ها و تولید مثل جواب‌های انتخاب شده به کمک عملگرهایی که از ژنتیک طبیعی پیروی شده‌اند، تقریب‌های بهتری از جواب نهایی به دست خواهد آورد. این فرایند باعث می‌شود که نسل‌های جدید که با شرایط مساله سازگارتر هستند تولید شوند. به عبارتی الگوریتم بیان ژن روش جستجوی احتمالاتی فراگیر می‌باشد که از فرایند تکامل زیست‌شناسی طبیعی الهام می‌گیرد. الگوریتم بیان ژن بر جمعیت جواب‌های بالقوه عمل می‌نماید و از اصول تنابع بقا در تولید تقریب‌های بهتر جواب مساله استفاده می‌کند. در هر نسل

مجموعه‌ای جدید از تقریب‌ها بر اساس میزان برازش<sup>۱</sup>، با انتخاب بهترین عضو از مجموعه نسل در دامنه مساله و همچنین تکثیر شدن با استفاده از عملگرهای گرفته‌شده از ژنتیک طبیعی ساخته می‌شوند. در نهایت این فرایند به تکامل جمعیتی از اعضا ختم می‌شود که نسبت به اعضای اولیه دارای سازگاری بیشتری با محیط هستند.

الگوریتم تکاملی که درباره استراتژی تکامل است اولین بار در سال ۱۹۶۰ توسط آقای ریچنبرگ بررسی و ارائه شد. بعدها نظریه او توسط محققان زیادی مورد تحلیل و بررسی قرار گرفت و سرانجام الگوریتم ژنتیک(GA) توسط جان هولند John Holland در سال ۱۹۷۵ در دانشگاه میشیگان معرفی شد.

### ۱-۴-۳- انواع الگوریتم ژنتیک

- الگوریتم‌ها از لحاظ ساختاری به سه دسته تقسیم می‌شوند.
- ۱ - الگوریتم ژنتیک GA دارای افرادی با کروموزوم‌های با طول ثابت و بدون بیانی پیچیده می‌باشند. در این سیستم‌ها کروموزوم‌ها بر اساس برتری خصوصیات فردیشان حفظ می‌شوند.
  - ۲ - الگوریتم‌های ژنتیک (GP) افرادی با ساختار شاخه‌ای<sup>۲</sup> هستند که از اندازه و شکل‌های مختلف تشکیل می‌شوند و نسبت به GA قادر به در نظر گرفتن عوامل بیشتری می‌باشند. این نوع از الگوریتم به برنامه‌ریزی ژنتیک معروف است.
  - ۳ - در دسته سوم الگوریتم‌های ژنتیک، افراد به شکل کروموزوم‌های خطی با طول ثابت کدگذاری شده و به شکل ساختارهای شاخه‌ای با اندازه‌ها و شکل‌های مختلف قابل‌بیان هستند. در این سیستم‌ها

---

<sup>1</sup>Fitness

<sup>2</sup>Ramified structures

کروموزوم‌ها به‌وسیله برتری عوامل سببی روی فنوتیپ<sup>۱</sup> (ساختار شاخه‌ای) حفظ می‌شوند. این نوع الگوریتم را برنامه‌ریزی بیان ژن (GEP) می‌نامند.

با توجه به مطالب ذکر شده تفاوت بین سه نوع الگوریتم فوق را می‌توان به شرح زیر بیان کرد:

در GA افراد رشته‌های خطی با طول ثابت هستند و در GP نهادهای غیرخطی با اندازه و شکل‌های مختلف (درختان تجزیه) می‌باشند؛ در حالی‌که در GEP افراد به صورت رشته‌های خطی با طول ثابت (ژنوم یا کروموزوم‌ها) کدگذاری شده و سپس به شکل نهادهای غیرخطی با اندازه و شکل‌های مختلف (نمایش دیاگرام ساده یا بیان درختی) ظاهر خواهند شد (فریرا، ۲۰۰۱). در ادامه به شرح خلاصه‌ای از سه تکنیک جهت درک کردن قابلیت سیستم فنوتیپ / ژنوتیپ پرداخته می‌شود.

### ۴-۳-۲- الگوریتم ژنتیک (GA)

الگوریتم ژنتیک توسط جان هالند در سال ۱۹۶۰ ابداع و معرفی گردید. این نوع الگوریتم از نظریه تکامل زیستی مشابه آنچه که در سیستم‌های کامپیوتری بکار رفته استفاده می‌کنند. در این روش از الگوریتم ژنتیک راه حل‌های مسئله در رشته‌هایی با طول ثابت و به صورت ۰ و ۱ کدگذاری شده و جمعیتی از رشته‌ها ایجاد می‌شوند تا راه حلی مناسب برای مسئله به دست آید. در هر نسل افراد به‌وسیله عملگرهایی از قبیل جهش، تکثیر و وارونه‌سازی بهبود می‌یابند و بر اساس شایستگی‌شان انتخاب می‌شوند. در روش GA کروموزوم‌ها هم به عنوان فنوتیپ و هم ژنوتیپ عمل می‌کنند، در این روش همیشه تمام تکثیرکننده‌ها راه حل می‌باشند و امکان استفاده‌ی محدوده‌ی خاصی از تکثیرکننده‌ها به عنوان راه حل مسئله وجود ندارد.

---

<sup>2</sup>Phenotype

### ۳-۴-۳- برنامه‌ریزی ژنتیک (GP)

این روش توسط کرامر در سال ۱۹۸۵ ارائه شد. در این روش ساختارهای غیرخطی (درختان تجزیه) با اندازه و شکل‌های مختلف، به کشف تناوبی از راه حل‌ها با طول ثابت انجامید؛ الفبای مورداستفاده در ایجاد این ساختار متنوع‌تر از ساختار  $0 \cdot 1$  افراد GA است. در این روش، ساختارهای غیرخطی از افراد GP مانند کروموزوم‌های خطی GA، تکثیرکننده‌های خطی با نقش دوگانه ژنوتیپ و فنوتیپ هستند، درختان تجزیه قادر به نمایش عوامل متعددی می‌باشند؛ در این روش چون بهسازی‌ها باید روی خود درختان تجزیه انجام شود، بنابراین تنها دامنه محدودی از بهسازی‌ها امکان‌پذیر است (فريرا ۲۰۰۶).

### ۴-۴-۳- برنامه‌ریزی بیان ژن (GEP)

روش برنامه‌ریزی بیان ژن<sup>۱</sup>، توسط فريرا در سال ۱۹۹۹ ارائه شد. این روش برنامه‌ریزی بیان ژن ترکیبی از روش‌های GP و GA است که در آن، کروموزوم‌های خطی و ساده با طول ثابت، مشابه با آنچه که در الگوریتم ژنتیک (GA) استفاده می‌شود و ساختارهای شاخه‌ای با اندازه‌ها و اشکال متفاوت، مشابه با درختان تجزیه در برنامه‌ریزی ژنتیک (GP)، ترکیب می‌شوند. از آنجایی که در این روش تمام ساختارهای شاخه‌ای با اندازه و اشکال مختلف، به صورت کروموزوم‌های خطی با طول ثابت کدگذاری می‌شوند، در این روش فنوتیپ و ژنوتیپ از هم جداشده و سیستم می‌تواند از تمام مزایای تکاملی آن‌ها بهره‌مند شود. با وجود اینکه فنوتیپ در GEP، همان نوع از ساختارهای شاخه‌ای مورداستفاده در GP را شامل می‌شود، اما ساختارهای شاخه‌ای که به وسیله GEP استنتاج می‌شوند (که بیان درختی نیز نامیده می‌شود) نشان‌دهنده تمامی ژنوم‌های مستقل می‌باشند. به عبارتی برنامه‌نویسی بیان ژن یک الگوریتم یادگیری تکاملی برای ایجاد مدل‌های بهبود یافته‌ی کامپیوتری است. این مدل دارای

<sup>۱</sup> Gene Expression Programming

ساختاری درختی است که برای تعریف آن ، از "درخت بیان<sup>۱</sup>" استفاده می‌شود. این ساختار درختی ، مشابه یک موجود زنده خودش را، با تغییر اندازه، تغییر شکل و ترکیب‌های مختلف تطبیق داده و آموزش می‌دهد. برنامه نویسی بیان ژن (GEP) از قابلیت‌های الگوریتم ژنتیک (GA) و برنامه‌نویسی ژنتیک (GP) به‌طور هدفمند و همزمان بهره‌مند است. همانند سایر الگوریتم‌های یادگیری، هدف از به‌کارگیری GEP استخراج روابط بین متغیرها در مجموعه‌ای از داده‌ها و سپس ایجاد مدل برای توضیح این روابط است.

به‌طور خلاصه می‌توان گفت در GEP به‌سازی‌ها در یک ساختار خطی رخ می‌دهد و سپس به‌صورت ساختار درختی بیان می‌شود و این موجب انتقال تنها ژنوم اصلاح شده به نسل بعد می‌شود و نیازی به ساختارهای سنگین برای تکثیر وجود ندارد (فریرا، ۲۰۰۴).

### ۳-۴-۱-۱- مراحل اصلی در برنامه‌ریزی بیان ژن (GEP)

اولین مرحله در الگوریتم GEP، تولید جمعیت اولیه از راه‌حل‌های کاندید است. سپس کروموزوم‌ها به‌صورت بیان درختی (Ets) نمایان می‌شوند، در مرحله بعد باید کارایی یا سازگاری هر عضو جمعیت کروموزوم‌ها را ارزیابی کرد که این عمل با توجه به شاخصی به نام تابع برازش انجام می‌گیرد، به‌عبارتی دیگر در یک فرایند دوره‌ای (تکاملی) با توجه به شاخص برازش، جمعیت‌ها انتخاب و مجدد تولید می‌شوند. گرچه در حل مسائل با استفاده از GEP نیازی به دانستن دقیق ساختار ریاضی مسئله نیست اما باید بتوانیم به طریقی میزان مطلوبیت هر جواب مثبت مسئله (کروموزوم) و همچنین درجه سازگاری آن را در محیط مسئله ارزیابی نمائیم، آنگاه با حفظ جواب‌های برتر و حذف جواب‌های ضعیفتر به تدریج به جواب مطلوب بهینه نزدیک خواهیم شد. در پدیده تکامل و انتخاب طبیعی زیست‌شناسی این نقش بر عهده طبیعت می‌باشد که موجودات سازگارتر را نسبت به موجودات

---

<sup>۱</sup> Expression tree

ناسازگارتر ارجحیت دهد. معیارهای توقف GEP را می‌توان یکی و یا ترکیبی از معیارهای زیر در نظر گرفت.

- عدم بهبود و رسیدن به جوابی بهتر در طی چندین نسل. اگر بین بهترین جواب طی چندین نسل تفاوتی محسوس مشاهده نشود، می‌تواند آن را دلیلی بر رسیدن به جواب بهینه مطلق دانست.
- قابل قبول دانستن جواب، طی تعداد نسل معین. این شرط در شرایطی مورداستفاده قرار می‌گیرد که انتظار می‌رود تعداد نسل کمی منجر به یافتن پاسخ بهینه عمومی شود.
- عدم بهبودی و دستیابی به بهترین جواب در طی مدت زمان معین. در این معیار اگر طی مدت زمان معینی در بهترین جواب انتخاب شده نسل آخر بهبودی ایجاد نگردد محاسبات متوقف می‌شود.

به طور کلی مراحل اصلی الگوریتم‌های ذکر شده را می‌توان این‌گونه بیان کرد. در اولین مرحله فرایند با تولید تصادفی کروموزوم‌ها از تعداد معینی افراد (جمعیت اولیه) شروع می‌شود. سپس کروموزوم‌ها به صورت بیان درختی (ET) نمایش داده می‌شوند در مرحله بعدی با استفاده از تابع هدف میزان برازنده‌گی هر فرد ارزیابی می‌شود و بر اساس میزان عملکردشان انتخاب می‌شوند تا اصلاح شده و فرزندانی با ویژگی‌های جدید تولید کنند، فرزندان تولید می‌شوند، سپس تحت فرایند توسعه قرار گرفته تا راه حل خوب و مناسبی به دست آید (فریرا، ۲۰۰۴).

روشی که GEP برای انتخاب افراد بکار می‌برد به روش چرخ رولت<sup>۱</sup> (عملگر انتخاب) معروف است، در واقع اولین مکانزیم، محبوب‌ترین و پرکاربردترین مکانیزم انتخاب بوده که این روش با نام Fitness proportionate selection یا انتخاب بر اساس میزان مناسب بودن تابع برازش کروموزوم نیز نامیده می‌شود. در این روش اعضا بر اساس میزان سازگاری نسبی آن‌ها انتخاب می‌شوند برای این منظور

---

<sup>1</sup> Roulette-wheel

می‌توان از دایره‌ای که در شکل (۱-۳) آمده استفاده کرد محیط دایره به اندازه sum است و اندازه هر تکه از دایره به اندازه سازگاری نسبی و یا سازگاری خام هر عضو مربوط است. حال اگر دایره را همچون یک فرفه بچرخانیم احتمال اینکه نشانه‌ی ثابت کنار دایره دریکی از مقاطع توقف کند به اندازه آن مقطع و به سازگاری نسبی آن عضو ارتباط دارد (البرزی، ۱۳۸۸).

### ۴-۴-۲- منطق مکانیزم چرخ رولت

در مکانیزم چرخ رولت هر یک از کروموزوم‌ها بسته به میزان مناسب بودنشان (بر اساس تابع برازش) احتمال انتخاب شدن را دارند. به عبارت دیگر به هر اندازه که یک کروموزوم بهتر باشد احتمال انتخاب شدن آن کروموزوم برای تولید نسل بعدی بیشتر خواهد بود و همچنین عکس این قضیه که هر چه کروموزوم بدتر و نامناسب‌تر باشد، احتمال انتخاب شدن آن کروموزوم برای تولید نسل بعدی کمتر خواهد بود.

### ۴-۴-۲- ۱- شیوه پیاده‌سازی چرخ رولت

درواقع در این گام که همه کروموزوم‌ها ارزیابی شدند یعنی مشخص می‌شود که هر کروموزوم بر اساس تابع برازش چه ارزشی رو به دست آورده است. با استفاده از این مقادیر می‌توان احتمال انتخاب شدن هر کروموزوم رو مشخص کرد. این احتمال به صورت زیر بیان می‌شود:

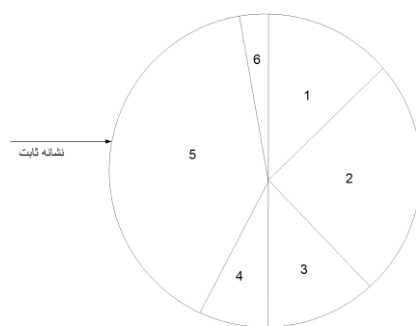
$$\text{Probability (chromosomes C)} = \frac{\text{Fitness(chromosomes C)}}{\text{Sum Fitness(All chromosomes)}}$$

به طور خلاصه یعنی، نسبت خوب بودن یک کروموزوم با میزان خوب بودن تمامی کروموزوم‌ها محاسبه می‌شود. هر چه این عدد بزرگ‌تر باشد، احتمال انتخاب آن کروموزوم بیشتر خواهد بود، به عبارت دیگر شناس بیشتری برای تولید نسل بعدی خواهد داشت. و بر عکس هر چه این عدد کوچک‌تر باشد احتمال انتخاب آن کروموزوم کمتر است به عبارت دیگر شناس کمتری در تولید نسل بعدی را خواهد داشت (شکل ۳-۲).

بیان ریاضی فرمول بالا به شکل زیر می‌باشد:

$$P_i = \frac{f_i}{\sum_{j=1}^N f_j} \quad (13-3)$$

به عبارتی احتمال انتخاب کروموزوم  $i$  برابر با نسبت تابع برازش کروموزوم  $i$  به مجموع تابع برازش همه کروموزوم‌ها است.



شکل ۲-۳: چرخ رولت

GEP برخلاف GA و GP، چندین عملگر ژنتیکی را برای تکثیر افراد و اصلاحات دارد که در اینجا به صورت خلاصه به عملگرهای مورداستفاده در GEP اشاره می‌شود (لوپز و وینرت ، ۲۰۰۴).

ابداع کروموزوم‌هایی باقابلیت نمایش بهصورت درختان تجزیه، نشاندهنده‌ی بینش اساسی از GEP است. برای این منظور یک زبان جدید موسوم به "کاوala"<sup>۱</sup> ارائه شد تا بتواند اطلاعات کدگذاری شده در کروموزوم‌ها را ترجمه کرده، بخواند و بیان کند، علاوه بر این ساختار کروموزوم‌ها به گونه‌ای طراحی شده که اجازه ایجاد چندین ژن، که هر یک برای برنامه کوچک‌تر یا زیر بیان درختی کدگذاری می‌شود را بدهد. لازم به تأکید این مسئله قابل توجه است که GEP تنها الگوریتم چندژنی می‌باشد. در حقیقت نقش یک فرزند، در سیستم‌های ژنتیک/فنتوتیپ با عملکرد صحیح، ایجاد افراد پیچیده‌تر مرکب از چند ژن بوده و تطبیق‌پذیری زیاد سیستم GEP را به خوبی نشان می‌دهد. سپس این سیستم‌ها بعد از ایجاد افراد پیچیده‌تر، خودشان را به سطوح بالاتری از پیچیدگی همچون سیستم‌های تکسلولی و

---

<sup>۱</sup> Karava language

چند سلولی می‌رسانند، که در آن‌ها سلول‌های مختلف ترکیب‌های متفاوتی از ژن‌ها را با یکدیگر ارائه می‌دهند (فریرا، ۲۰۰۴).

GEP از لحاظ ساختار فنوتیپ، دارای درختان توابع و ترمینال‌ها هستند که شبیه GP می‌باشد، فنوتیپ خود به‌نهایی به‌عنوان ژنوم (ژنوتیپ) عمل کرده و در آن مرحله‌ی ترجمه وجود ندارد، در حالی‌که در GEP، فنوتیپ از ترجمه یک ژنوم تحت بررسی (یک کروموزوم خطی) که هدف آن انتخاب عملگرهای ژنتیکی است، به دست می‌آید. در GEP، ژنوم یا اصطلاحاً کروموزوم و فنوتیپ یا به‌اصطلاح، بیان درختی (ET) مجزا می‌باشند. بیان درختی، با استفاده از پروسه ترجمه، از کروموزوم-ها به دست می‌آید و نمایش ETs در محیط، برازش آن و کروموزوم‌های متناظرش را تعیین می‌کند، در حالی‌که این کروموزوم است که تحت انتخاب و فعالیت عملگرهای ژنتیکی قرار می‌گیرد (ویلسون، ۲۰۰۸).

### ۳-۴-۴-۲ ساختار افراد (GEP)

#### ۳-۴-۴-۳ ORF و بیان درختی (ET) ژن‌ها

در GEP، ژن‌ها به‌صورت بیان درختی کدگذاری می‌شوند. همچنین در کروموزوم‌های چندزنی، همه‌ی بیان‌های درختی با استفاده از تابع پیوند<sup>۱</sup>، از محل گره‌ریشه<sup>۲</sup> خود به هم وصل می‌شوند. هر ژن، ناحیه کدگذاری به نام ORF<sup>۳</sup> (چارچوب تفسیر باز) یا بیان<sup>۴</sup> K دارد که بعد از رمزگشایی کد به‌صورت ET نمایان می‌شود که نشان‌دهنده یک راه حل کاندید، برای مساله می‌باشد.

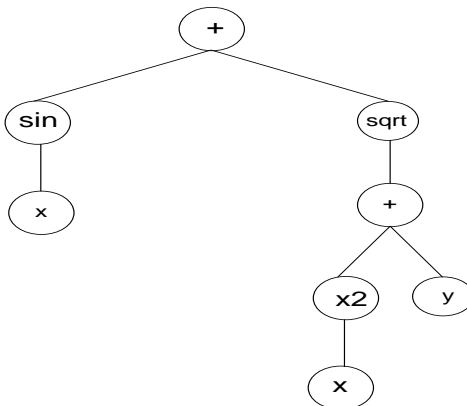
<sup>1</sup> Linking Function .

<sup>2</sup> Root Node

<sup>3</sup> Open Reading Frame

<sup>4</sup> K-expression

مثال زیر درک بهتری از نحوه کدگذاری ORF و همچنین نحوه کد برداری بهصورت ET را نشان می‌دهد. اگر رابطه ریاضی  $F = \sin(x) + \sqrt{x^2 + y}$  در نظر بگیریم، دیاگرام و بیان درختی (ET) آن بهصورت شکل (۳-۳) خواهد بود.



شکل ۳-۳: بیان درختی (ET) رابطه  $F = \sin(x) + \sqrt{x^2 + y}$

این نوع دیاگرام نشان‌دهنده فنوتیپ افراد GEP می‌باشد. همچنین با تفسیر فنوتیپ و با خواندن ET، از بالا به پایین و از چپ به راست ژنوتیپ بهصورت عبارت (۱۴-۳) بیان می‌شود.

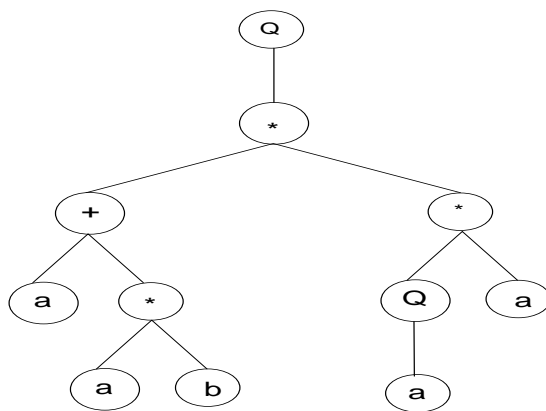
0 1 2 3 4 5 6 7 8  
 $+ \sin \sqrt{x} + ^x y x^2$  (۱۴-۳)

بیان (۱۴-۳) یک ORF می‌باشد که از  $(+ 0)$  شروع می‌شود و در  $8$  (موقعیت  $8$ ) خاتمه می‌یابد.

معکوس این فرایند، یعنی ترجمه‌ی بیان K بهصورت بیان درختی (ET) نیز بهسادگی قابل‌بیان است. بهعنوان مثال بیان K را بهصورت عبارت (۱۵-۳) در نظر بگیرید.

0 1 2 3 4 5 6 7 8 9 0  
 $Q * + * a * Q a a b a$  (۱۵-۳)

نقطه شروع (موقعیت ۰) در ORF، همان گره ریشه ET می‌باشد که در مثال بالا عملگر جمع (+) بود. در مرحله بعد توابع به صورت شاخه‌های افزایشی در زیر گره تا جایی که شناسه توابع وجود داشته باشد به آن متصل می‌شوند، عمل اضافه شدن زمانی پایان می‌پذیرد که خط انتهایی فقط شامل ترمینال‌ها (متغیرها یا مقادیر ثابت مورد استفاده در یک مسئله) باشد. در این مورد بیان ET مشابه شکل (۴-۳) خواهد بود. (فریرا، ۲۰۰۱).



شکل ۴-۳: بیان درختی (ET) رابطه (۱۵-۳)

در GEP کروموزوم‌ها دارای طول ثابت بوده و از یک یا چند ژن با طول مساوی تشکیل می‌شود. لذا در GEP، طول ژن‌ها تغییر نمی‌کند، طول ORFs است که تغییر می‌کند. در حالی که در GEP، محل شروع همیشه اولین نقطه از یک ژن است ولی نقطه انتهایی همیشه منطبق با آخرین محل یک ژن نیست. معمولاً برای ژن‌های GEP، نواحی کدگذاری نشده‌ای در قسمت بعد از نقطه انتهایی وجود دارد که چون این نواحی کدگذاری نشده اجازه اصلاحات و بهسازی‌های ژنوم را بدون محدودیت، با استفاده از هر عملگر ژنتیکی می‌دهند لذا ماهیت GEP و قدرت استنتاج آن به حساب می‌آید، همچنین بدون اینکه نیاز به فرایند ویرایشی پیچیده یا روش‌های تحمیلی در جهت اجرای عملگرهای ژنتیکی داشته باشند، همیشه ازنظر قواعد، برنامه‌های صحیحی را تولید می‌کنند، که این مسئله بزرگ‌ترین تفاوت بین GEP و نوع GP بدون ژنوم‌های خطی می‌باشد. (فریرا، ۲۰۰۱).

### ۳-۴-۴-۳- ساختار ژن‌ها در برنامه‌ریزی بیان ژن

یک کروموزوم از ژن تشکیل می‌شود و معمولاً شامل بیش از یک ژن (کروموزوم چند ژنه) می‌باشد. هر ژن دارای یک سر<sup>۱</sup> و یک دنباله<sup>۲</sup> است که اندازه سر( $h$ ) به‌وسیله کاربر تعیین می‌شود، اما اندازه دنباله ( $t$ )، به‌صورت تابعی از  $h$  و پارامتر  $n$ ، محاسبه می‌شود. پارامتر  $n$ ، بیشترین تعداد پارامتر مستقل در مجموعه توابع مورداستفاده در اجرا است. رابطه (۱۶-۳)، طول دنباله را با توجه به پارامترهای موجود محاسبه می‌نماید (لوپز و وینرت، ۲۰۰۴).

$$t = h(n-1)+1 \quad (16-3)$$

مسائل رگرسیونی، با استفاده از مجموعه‌ای از توابع و مجموعه‌ای از ترمینال‌ها، مدل‌سازی می‌شوند. مجموعه توابع، عموماً شامل تابع اصلی حسابی  $\{x, -, +\}$ . توابع مثلثاتی یا هر نوع تابع ریاضی دیگر  $\{x^2, \exp, \log, \cos, \dots\}$  و یا تابع تعریف شده توسط کاربر است. توابع و ترمینال‌ها، در بخش سر ژن هستند، و در قسمت دنباله، فقط ترمینال‌ها وجود دارند (لوپز و وینرت، ۲۰۰۴).

به عنوان مثال ژنی را در نظر بگیرید که شامل  $\{Q, *, /, -, +, a, b\}$  است. در این مثال تعداد متغیرهای مستقل  $n=2$  خواهد بود. برای مقادیر طول سر  $h=10$ ، طول دنباله  $t=11$  به دست می‌آید، بنابراین طول ژن برابر با  $21$  خواهد بود. برای مثال چنین ژنی در عبارت (۱۷-۳) نشان داده شده است که در آن، قسمت ابتدایی سر و قسمت انتهایی آن دنباله است، که قسمت دنباله به‌صورت پرنگ نشان داده شده است (فریرا، ۲۰۰۱).

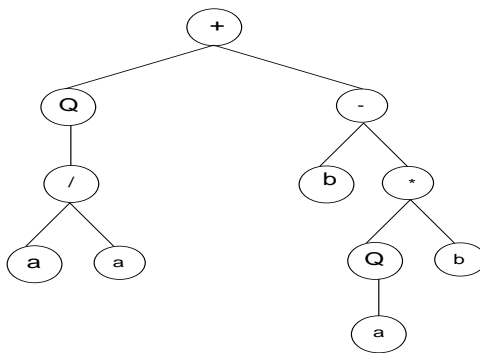
$$\begin{array}{ccccccccccccc} & 0 & 1 & 2 & 3 & 4 & 5 & 6 & 7 & 8 & 9 & 0 & 1 & 2 & 3 & 4 & 5 & 6 & 7 & 8 & 9 & 0 \\ & + Q & - & / & b & * & a & a & Q & b & a & a & b & a & a & b & b & a & a & a & b & \end{array} \quad (17-3)$$

<sup>1</sup> Head

<sup>2</sup> Tail

<sup>3</sup> Arity

با کد برداری بیان درختی آن مطابق با شکل (۵-۳) خواهد بود.



شکل ۳-۵: بیان درختی معادله (۱۷-۳)

در این مثال ORF در موقعیت ۱۰ به پایان می‌رسد در حالی‌که ژن در موقعیت ۲۰ پایان می‌یابد که نشان‌دهنده نواحی کدگذاری نشده می‌باشد.

### ۳-۵-پیش‌بینی ضرایب روابط تجربی با استفاده از برنامه‌ریزی بیان ژن

#### ۳-۵-۱-تابع برازش<sup>۱</sup>

یکی از مهم‌ترین موارد در GEP، تعیین تابع برازش است که هدف آن، یافتن راه حلی می‌باشد که برای تمامی برازش‌ها به اندازه یک خطای معین به خوبی عمل کند. برای برخی کاربردهای ریاضی، استفاده از خطای نسبی یا مطلق کوچک برای یافتن راه حل مناسب، مؤثر است. اما اگر محدوده انتخابی بی‌نهایت کوچک باشد، جمعیت به کندی استنتاج می‌شود و درنتیجه برای یافتن راه حل مناسب ناتوان خواهد بود. از طرفی دیگر اگر عکس آن صورت گیرد و محدوده انتخابی وسیع باشد، راه حل‌های متعددی با برازش حداکثر، ظاهر می‌شوند که از راه حل‌های مناسب دور خواهند بود. برای رفع این مشکل، یک راه حل تکاملی اختراع شده است که اجازه یافتن راه حل مناسب را بدون توقف تکامل می‌دهد. بنابراین به سیستم اجازه داده می‌شود که برای خودش راه حل مناسبی با حداقل خطای بیاند.

(فریرا، ۲۰۰۱).

---

<sup>۱</sup> Fitness Function

### ۳-۵-۲- تعیین تابع برازش

تابع برازش، شاخصی برای انتخاب جفت‌های مناسب می‌باشد و باعث جفت‌گیری در جمعیت کروموزوم‌ها می‌شود. فرایند GEP همچون سایر الگوریتم‌ها زمانی پایان می‌یابد که به ضابطه تعیین‌شده‌ای مثل میزان معین خطای میانگین کارایی اعضای جمعیت رسیده باشد و یا چرخه فرایند به تعداد دلخواهی ادامه یافته شده باشد، در این صورت بهترین راه حل یافت شده تابه‌حال گزارش داده می‌شود و در غیر این صورت بهترین راه حل از نسل حاضر نگهداشته می‌شود و بقیه راه حل‌ها به فرایندی گزینشی واگذار می‌شوند که بر اساس آن بهترین افراد شناس بیشتری برای تولید فرزندان دارند. با تکرار روند ذکر شده و با پیش رفتن نسل به جلو کیفیت جمعیت بهبود یافته و به جواب بهینه نزدیک می‌شویم (لوپز و وینرت، ۲۰۰۴).

درواقع تابع برازش برای ارزیابی عملکرد هر برنامه خروجی بر مبنای خطای نسبی انتخاب می‌شود و این را بهوسیله یک محدوده انتخابی و میزان دقت کاوش می‌نماید. محدوده انتخابی، به عنوان یک حد انتخاب برای عمل کردن و دقت، حدی برای بهبود می‌باشد؛ به طوری که اجازه تطبیقی دقیق از راه حل‌های استخراجی را با صحت کافی و لازم را می‌دهد (فریرا، ۲۰۰۶). از لحاظ ریاضی، برازش  $f_i$  از یک برنامه انفرادی  $i$  به صورت رابطه زیر (۱۸-۳) به دست می‌آید.

$$f_i = \sum_{j=1}^n \left( R - \left| \frac{P_{ij} - T_j}{T_j} \cdot 100 \right| \right) \quad (18-3)$$

که در آن  $R$  طول محدوده انتخابی،  $P_{ij}$  مقدار پیش‌بینی شده بهوسیله برنامه انفرادی  $i$  برای مورد برازش  $j$  (از میان  $n$  مورد برازش)  $T_j$  مقدار هدف برای مورد برازش  $j$  است. لازم به ذکر است که عبارت داخل قدر مطلق متناظر با درصد خطای نسبی می‌باشد و این عبارت را به اصطلاح دقت می‌گویند. چنانچه  $T_j = P_{ij}$  خطأ صفر می‌شود. بنابراین برای یک برازش کامل که در آن  $T_j = P_{ij}$  عبارت داخل قدر مطلق صفر خواهد شد و مقدار  $f_i$  از یک برنامه انفرادی  $i$  برابر با  $f_i = f_{\max} = nR$  می‌شود (فریرا، ۲۰۰۶).

### ۳-۵-۱- انتخاب مجموعه ترمینال‌ها و توابع

مرحله بعد شامل انتخاب مجموعه ترمینال‌ها و مجموعه توابع برای تشکیل کروموزوم‌ها خواهد بود.

برای برقراری رابطه بین داده‌های ورودی و خروجی لازم به تعریف توابعی است که در این تحقیق علاوه بر چهار عمل اصلی  $\{ \cdot, *, -, + \}$ ، از توابع  $\{ \exp, \log, \cos, \sin, \tan^{-1} x \}$  نیز جهت پیش‌بینی مقادیر ضریب ثابت  $C_d$  استفاده شده است.

### ۳-۵-۲- انتخاب ساختار کروموزوم‌ها

مرحله بعد از انتخاب مجموعه ترمینال‌ها و توابع، انتخاب ساختار کروموزوم‌ها است که شامل انتخاب طول سر و تعداد ژن‌ها می‌باشد. همان‌گونه که قبلاً اشاره شد یک کروموزوم از ژن‌ها تشکیل می‌شود و معمولاً شامل بیش از یک ژن (کروموزوم چند ژنه) می‌باشد و همچنین هر ژن دارای دو قسمت سر و یک دنباله است. اندازه سر یک ژن ( $h$ ) به‌وسیله کاربر تعیین می‌شود، اما اندازه دنباله ( $t$ )، به صورت تابعی از اندازه سر ژن ( $h$ ) و پارامتر  $n$ ، حاصل می‌شود. پارامتر  $n$ ، بیشترین تعداد پارامتر مستقل یافته شده در مجموعه توابع مورداستفاده در اجراست (لوپز و وینرت، ۲۰۰۴).

### ۳-۵-۳- انتخاب تابع پیوند

کروموزوم‌ها در GEP، معمولاً از چند ژن با طول مساوی تشکیل می‌شوند. برای هر مسئله یا هر اجرا، تعداد ژن‌ها نیز همانند طول سر قابل انتخاب است. هر ژن، به صورت یک زیر بیان درختی کدگذاری می‌شود. در مسائلی که فقط یک خروجی دارند، sub-ETs (زیر بیان درختی‌ها) به‌وسیله اثر متقابل بر یکدیگر، یک مجموعه از چند زیر واحد ET را تشکیل داده و خروجی موردنظر را به دست می‌دهند، در حالی که در مسائل با چند خروجی هر sub-ETs به‌طور مستقل، خروجی مربوط به خودش را استنتاج می‌کند. در ساختارهای چند زیر واحدی افراد sub-ETs بر روی یکدیگر به‌وسیله نوع ویژه‌ای

از پیوند اثر می‌کنند. برای مثال sub-ETs جبری می‌توانند بهوسیله جمع یا تفریق پیوند زده شوند و یک خروجی را تولید کنند.

استفاده از کروموزوم‌های چندزنی، جهت استنتاج راه حل‌های خوب مناسب‌تر هستند، به‌طوری‌که در آن هر ژن، برای بلوک‌های ساختمانی کوچک‌تر و ساده‌تر کدگذاری می‌شود. این بلوک‌های ساختمانی از نظر فیزیکی از هم جدا می‌شوند و بنابراین به‌طور مستقل، می‌توانند استنتاج شوند. نتایج استفاده از هر دو نوع سیستم‌های چندزنی و تک ژنی، نشان می‌دهد در اکثر موارد استفاده از سیستم‌های چندزنی مؤثرتر از نوع تک ژنی هستند. سیستم استفاده شده در این تحقیق نیز از نوع چندزنی است که در آن سه ژن انتخابی (زیر درخت‌ها یا همان ETs) از طریق تابع جمع به هم پیوند داده می‌شوند.

### ۴-۲-۵-۳- مدل‌سازی GEP

در این پژوهش برای مدل‌سازی در روش GEP، داده‌های آزمایشگاهی موجود به دو دسته تقسیم می‌شوند. ۸۰ درصد داده‌ها به عنوان داده‌های آموزش و ۲۰ درصد داده‌ها به عنوان داده‌های آزمون می‌باشد، سه پارامتر ورودی و یک پارامتر هدف داریم.

### ۶-۳- شبکه عصبی GMDH

شبکه عصبی GMDH یا بهیان‌دیگر روش دسته‌بندی گروهی داده‌های عددی<sup>۱</sup> توسط پروفسور ایواخینینکو، دانشمند اکراینی معرفی و توسعه یافت. ساخت مدل برای سیستم‌های پیچیده از نوع رگرسیون با درجات بالا به عنوان روش یادگیری جست‌وجو کننده<sup>۲</sup>، از مزایای GMDH نسبت به مدل-سازی‌های کلاسیک دیگر می‌باشد.

<sup>۱</sup>Group Method of Data Handling

<sup>۲</sup> Heuristic

GMDH روشی خودسازمانده بوده که بر اساس ارزیابی داده‌ها بهصورت جداگانه با استفاده از معیار خارجی برای مدل‌سازی‌های پیچیده بکار می‌رود. در مدل‌سازی GMDH، مدل‌های خطی و غیرخطی احتمالی یا دسته‌بندی‌شده با استفاده از کمینه شدن یک معیار خارجی حاصل می‌شوند. الگوریتم‌های خوشبندی‌شده نسبتاً ساده بوده و اطلاعات خود را مستقیماً از داده‌های ورودی می‌گیرند. متغیرهای مؤثر بر روی فرایند به عنوان متغیر ورودی معرفی و مورداستفاده قرار می‌گیرند. همچنین متغیرهای تأثیرگذار ورودی، تعداد لایه‌ها و نمونه‌ها در لایه‌های مخفی و همچنین ساختار بهینه‌ی مدل بهصورت خودکار تعیین می‌شوند و این عمل بر اساس اثر کمینه‌سازی و بهینه‌سازی معیار خارجی در حین کامل شدن ساختار انجام می‌گیرد.

روش مدل‌سازی GMDH برای مدل‌سازی سیستم‌های پیچیده، پیش‌بینی، استخراج داده‌های فرآیندهای چند متغیره، الگوشناسی و شیوه‌های تشخیص و... بسیار مفید و پرکاربرد می‌باشد. همچنین روش دسته‌بندی گروهی داده‌های عددی برگرفته از روش استقرایی برای مدل‌سازی ریاضی سیستم‌های پیچیده است.

از سال ۱۹۸۶ تحقیقات بسیاری در زمینه‌های گوناگون با استفاده از شبکه عصبی GMDH انجام گرفته است. تحقیقات انجام‌شده نشان داده، با استفاده از روش GMDH برای داده‌های کم، مغشوش و یا نه‌چندان دقیق هم می‌توان به بهترین و بهینه‌ترین مدل دست‌یافت که دارای دقتی بالا و ساختاری ساده‌تر نسبت به ساختار سایر مدل‌ها باشد.

### ۳-۶-۱- تاریخچه شبکه‌های عصبی از نوع GMDH

یکی از بهترین روش‌ها برای حل مسائلی از قبیل شناسایی، پیش‌بینی کم تعداد یا دامنه‌دار فرآیندهای تصادفی و شناسایی الگو در سیستم‌های پیچیده است. این روش در گروه سیستم‌های متعدد کنترلی (CCS) در انسٹیتو سیبرنیتیک در کیف اکراین در سال ۱۹۸۶ گسترش یافت.

در حال حاضر محققان و دانشمندان بسیاری برای گسترش تئوری و کاربرد GMDH تلاش می‌کنند و این تلاش‌ها فقط به پروفسور ایوانخینیکو ابداع کننده این روش برنمی‌گردد، بلکه سایر محققین نیز بهنوبه خود فعالیت‌هایی در این زمینه دارند.

### ۳-۶-۲- ماهیت شبکه‌های عصبی

برای معرفی و شناخت شبکه‌های عصبی به‌طور کلی دو دیدگاه اصلی وجود دارد.

دیدگاه اول: در دیدگاه اول شبکه عصبی را علمی مستقل در نظر گرفته که دارای ساختار شبکه‌های عصبی است که دارای توانایی بالایی در شناسایی و مدل‌سازی می‌باشد. پایه و اساس این دیدگاه بر اساس آموزش شبکه‌های عصبی بوده و الگوریتم‌هایی که شبکه‌ها در اختیار دارند به عنوان ابزاری برای آموزش و یادگیری شبکه است. به عبارت دیگر هر یک از شبکه‌ها الگوریتم متفاوتی را به خدمت می‌گیرند تا از این طریق یک آموزش بهینه داشته باشند.

دیدگاه دوم: در دیدگاه دوم شبکه‌های عصبی به عنوان ابزاری علمی برای پیاده‌سازی و تفهیم الگوریتم‌های پیچیده ریاضی مورداستفاده قرار می‌گیرند. در این نظریه بر عکس دیدگاه اول، شبکه عصبی به عنوان فلوچارتی برای الگوریتم‌های پیچیده ریاضی است.

با توجه به تاریخچه و ماهیت شبکه‌های عصبی GMDH باید آن را از دیدگاه دوم در نظر گرفت زیرا شبکه‌های عصبی GMDH با به کارگیری ساختار شبکه‌ای برای الگوریتم GMDH به وجود آمده‌اند و تأثیر بسزایی در پیاده‌سازی نرم‌افزاری و تفهیمی آن داشته‌اند. همچین در سال‌های اخیر استفاده از شبکه‌های خودسازمانده عصبی در الگوریتم GMDH منجر به موفقیت این الگوریتم در عرصه‌های مختلف علمی از قبیل فنی‌مهندسی، علوم و اقتصاد شده است.

### ۳-۶-۳- الگوریتم GMDH

بهطورکلی میتوان الگوریتم GMDH را میتوان از دو دیدگاه متفاوت بررسی نمود. لذا در قسمت اول این الگوریتم بر اساس مبنای ریاضی آن و در قسمت دوم بر اساس تئوری و آنالیز مدلسازی سیستم معرفی خواهد شد.

### ۱-۳-۶-۳- الگوریتم GMDH بر مبنای ریاضی

بر اساس مبنای ریاضی، الگوریتم GMDH از تجزیه‌ی سری توابع ولترا به چندجمله‌ای‌های دو متغیره درجه دوم به دست آمده و بر مبنای آن پایه‌ریزی می‌شوند. تابع ولترا به صورت تابع (۱۹-۳) می‌باشد.

$$G(x_i \cdot x_j) = a_0 + a_1 x_i + a_2 x_j + a_3 x_i^2 + a_4 x_j^2 + a_5 x_i x_j \quad (19-3)$$

که در این تجزیه، سری ولترا به مجموعه‌ای از معادلات بازگشته‌ای زنجیره‌ای تبدیل می‌گردد، به گونه‌ای که مجدداً با جایگذاری جبری هر یک از روابط بازگشته در یکدیگر این رابطه (سری ولترا) برقرار می‌گردد. لذا خواهیم داشت:

<i>Principal System</i>					
<i>input</i>			<i>Output</i>		
$x_{11}$	$x_{12}$	$x_{13}$	$\dots$	$x_{1m}$	$y_1$
$x_{12}$	$x_{22}$	$x_{23}$	$\dots$	$x_{2m}$	$y_2$
$x_{N1}$	$x_{N2}$	$x_{N3}$	$\dots$	$x_{Nm}$	$y_N$

<i>Partial System (1)</i>	<i>Partial System (2)</i>	$\dots$	<i>Partial System (m-1)</i>	$\dots$	<i>Partial System (Cm2)</i>
$x_{11} \ x_{12} \ y_1$	$x_{11} \ x_{13} \ y_1$		$x_{11} \ x_{1m} \ y_1$		$x_{1m-1} \ x_{1m} \ y_1$
$x_{21} \ x_{22} \ y_2$	$x_{21} \ x_{23} \ y_2$		$x_{21} \ x_{2m} \ y_2$		$x_{2m-1} \ x_{2m} \ y_2$
$\dots$	$\dots$		$\dots$		$\dots$
$x_{N1} \ x_{N2} \ y_N$	$x_{N1} \ x_{N3} \ y_N$		$x_{N1} \ x_{Nm} \ y_N$		$x_{Nm-1} \ x_{Nm} \ y_N$

$$\hat{y} = a_0 + \sum_{i=1}^m a_i x_i + \sum_{i=1}^m \sum_{j=1}^m a_{ij} x_i x_j + \sum_{i=1}^m \sum_{j=1}^m \sum_{k=1}^m a_{ijk} x_i x_j x_k + \dots$$

## ۳-۶-۲- معرفی الگوریتم GMDH بر اساس تئوری و آنالیز مدل‌سازی

### سیستم‌ها

سیستم‌های پیچیده‌ای را که دارای  $m$  متغیر ورودی و یک خروجی هستند می‌توانند به تعداد  $C_m^2 = \frac{m(m-1)}{2}$  سیستم جزئی<sup>۱</sup> ساده که دارای دو ورودی و یک خروجی است تجزیه شوند. البته خروجی تمامی سیستم‌های جزئی، یکسان و همانند خروجی سیستم اصلی در نظر گرفته می‌شود. برای ترکیب دو سیستم جزئی در قالب یک سیستم واحد و تشکیل سیستم جزئی جدید دیگر به‌طوری‌که متغیرهای هر دو سیستم قبلی را داشته باشد، کافی است که خروجی و یا مقادیر تخمین زده هر دو مدل به‌دست‌آمده به ازای  $N$  نمونه ورودی مجدداً مدل شود.

الگوریتم GMDH برای مدل‌سازی، از این دو قاعده استفاده می‌کند. در این روش بعد از شکل‌گیری سیستم‌های جزئی و یا به‌عبارتی متغیرهای ورودی سیستم در دسته‌های دوتایی همراه با خروجی‌های یکسان دسته‌بندی می‌شوند، برای هر یک از این سیستم‌های شکل‌گرفته،تابع  $\hat{f}$  که همان مدل سیستم جزئی است به صورت معادله (۲۰-۳) تشکیل داده می‌شود.

$$\sum_{k=1}^N \left[ (\hat{f}(x_{ki}, x_{kj}) - y_k)^2 \right] \rightarrow \text{Min} \quad (20-3)$$

همچنین تمامی مدل‌های جزئی حاصل از یک ساختار متشابه، دارای ساختاری همچون رابطه (۲۱-۳) می‌باشد:

$$\hat{f}(x_i, x_j) = v_0 + v_1 x_i + v_2 x_j + v_3 x_i^2 + v_4 x_j^2 + v_5 x_i x_j \quad (21-3)$$

<sup>1</sup> Partial System

با توجه به اینکه در این مدل‌سازی هدف به دست آوردن مدل سیستم اولیه است، لذا با ترکیب مدل سیستم‌های جزئی و تکرار این عمل، به عبارتی با ترکیب‌های مدل، می‌توان به مدل اصلی سیستم که به فرم رابطه (۲۲-۳) می‌باشد، دست یافت.

$$\hat{y} = v_0 + \sum_{i=1}^m v_i x_i + \sum_{i=1}^m \sum_{j=1}^m v_{ij} x_i x_j + \sum_{i=1}^m \sum_{j=1}^m \sum_{k=1}^m v_{ijk} x_i x_j x_k + \dots \quad (22-3)$$

$$\begin{bmatrix} 1 & X_{1p} & X_{1q} & X^2_{1p} & X^2_{1q} & X_{1p}X_{1q} \\ 1 & X_{2p} & X_{2q} & X^2_{2p} & X^2_{2q} & X_{2p}X_{2q} \\ \dots & \dots & \dots & \dots & \dots & \dots \\ 1 & X_{Np} & X_{Nq} & X^2_{Np} & X^2_{Nq} & X_{Np}X_{Nq} \end{bmatrix}$$

### ۳-۳-۶-۳ - مدل‌سازی سیستم‌های جزئی

با توجه به مطالبی که قبلاً ذکر شد، مدلی که برای سیستم‌های جزئی در نظر گرفته می‌شود، چندجمله‌ای دو متغیره‌ی درجه دوم است که به صورت رابطه (۲۳-۳) می‌باشد:

$$y_i = f(x_{ip}, x_{iq}) = a_0 + a_1 x_{ip} + a_2 x_{iq} + a_3 x_{ip}^2 + a_4 x_{iq}^2 + a_5 x_{ip} x_{iq} \quad (23-3)$$

همان‌طور که می‌بینیم، تابع  $f$  دارای شش ضریب مجھول می‌باشد. در ادامه تابع  $G$  را بر اساس قاعده کمترین مربعات خطأ پایه‌ریزی می‌کنیم.

$$\sum_{k=1}^N \left[ \left( \hat{f}(x_{ki}, x_{kj}) - y_k \right)^2 \right] \rightarrow Min \quad (24-3)$$

با توجه به شرایط حاکم بر مسئله، دستگاه معادله شامل شش مجھول و  $N$  معادله را حل می‌کنیم:

فرم ماتریسی دستگاه معادله فوق به شکل زیر نمایش داده می‌شود:

$$A = \left\{ \begin{array}{l} a_0 + a_1x_{1p} + a_2x_{1q} + a_3x_{1p}x_{1q} + a_4x_{1p}^2 + a_5x_{1q}^2 = y_1 \\ a_0 + a_1x_{2p} + a_2x_{2q} + a_3x_{2p}x_{2q} + a_4x_{2p}^2 + a_5x_{2q}^2 = y_2 \\ \dots \\ a_0 + a_1x_{Np} + a_2x_{Nq} + a_3x_{Np}x_{Nq} + a_4x_{Np}^2 + a_5x_{Nq}^2 = y_N \end{array} \right\} \quad [2]$$

$$a = \{a_0, a_1, a_2, a_3, a_4, a_5\}^T \quad \text{که در آن}$$

$$Y = \{y_1, y_2, y_3, \dots, y_n\}^T$$

برای حل معادله باید معکوس ماتریس غیرمربعی  $A$  محاسبه شود. برای محاسبه معکوس ماتریس غیرمربعی  $A$ ، از روش<sup>۱</sup> SNE استفاده شده است که در ادامه روش و روند حل مسئله شرح داده می‌شود.

### ۳-۶-۴-۳- روش حل معادلات متعامد (SNE)

در روش SNE، شبیه معکوس ماتریس حقیقی  $A$ ، ماتریس منحصر به فرد<sup>\*</sup>  $A^*$  است که طبق رابطه (۳-۳) محاسبه می‌گردد:

$$A^* = (A^T A)^{-1} A^T \quad (3-3)$$

بنابراین بردار ضرایب مجهول  $a$  با توجه به رابطه (۳-۲۶) به دست می‌آید:

$$a = (A^T A)^{-1} A^T Y \quad (3-26)$$

شبکه‌های عصبی GMDH جلوه‌ای از الگوریتم‌های GMDH هستند که به فرم و سبک ساختار شبکه‌ای بیان شده‌اند. پیاده‌سازی الگوریتم GMDH با استفاده از شبکه‌های عصبی باعث انعطاف‌پذیری و بهینه‌سازی آن، به واسطه به وجود آمدن ساختارهای شبکه‌ای مختلف و همچنین زمینه‌ای برای

<sup>1</sup>Solving Normal Equation

سهولت در ایجاد نرم افزارهای کامپیوتری شده است. به طور کلی به کار بردن شبکه‌ها در این الگوریتم، باعث ساده‌تر و منطقی‌شدن ادغام و آنالیز مدل‌ها و یا توابع جزئی به روش‌های گوناگون شده است که این امر منجر به تنوع در انتخاب مدل بهینه در راستای کاهش میزان خطای مدل و نیز حجم و محتوای تابع ریاضی مدل می‌شود.

### ۴-۶-۳- ویژگی‌های عمومی شبکه‌های GMDH

شبکه‌های عصبی GMDH، شبکه‌ای خود سامانده و یک‌سویه هستند که دارای چندین لایه بوده که هر لایه نیز از چندین نرون تشکیل شده است. تمامی نرون‌ها دارای یک ساختار مشابه هستند. به عنوان مثال برای ۵ پارامتر ورود، همه‌ی آن‌ها دو ورودی و یک خروجی دارند و هر نرون با ۵ وزن و یک بایاس عمل پردازش را میان داده‌های ورودی و خروجی انجام می‌دهد.

(۲۷-۳)

$$y_{ik} = N(x_i \alpha, x_i \beta) = b^k + w_1^k x_{i\alpha} + w_2^k x_{i\beta} + w_3^k x_{i\alpha^2} + w_4^k x_{i\beta^2} + w_5^k x_{i\alpha}x_{i\beta} \quad [2]$$

در رابطه (۲۷-۳)،  $N = 1, 2, 3, \dots$  می‌باشد که در آن  $N$  تعداد نمونه‌های ورودی و خروجی بوده و  $K = 1, 2, 3, \dots, C_m^2$  می‌باشد که در آن‌ها  $m$  تعداد نرون‌های لایه قبلی می‌باشد.

وزن‌ها بر اساس روش SVD محاسبه می‌شوند و به عنوان مقادیر مشخص و ثابت در داخل هر نرون جایگذاری می‌شوند. ویژگی منحصر به فردی که در این شبکه‌ها باز است این است که نرون‌های مرحله قبلی و یا لایه قبلی ( $m$ ) عامل و یا مولد تولید نرون‌های جدید به تعداد  $C_m^2 = \frac{m(m-1)}{2}$  می‌باشند که از میان این نرون‌های تولید شده، لزوماً باید تعدادی از آن‌ها حذف شوند تا از واگرایی شبکه جلوگیری شود. اصطلاحاً این نرون‌های حذف شده، به نرون‌های مرده معروف هستند. همچنین امکان دارد نرون‌های باقیمانده برای ادامه و گسترش شبکه، برای رسیدن به شکل همگرایی شبکه و عدم ارتباط آن‌ها با نرون لایه آخر حذف شوند که اصطلاحاً به آن‌ها نرون غیرفعال می‌گویند. ملاک و معیاری را

که برای گزینش و حذف مجموعه‌ای از نرون‌ها در یک لایه در نظر گرفته می‌شود، میزان مجموع مربعات خطأ ( $r_j^2$ ) بین مقادیر خروجی واقعی ( $y_i$ ) و خروجی نرون  $j$ ام ( $y_{ij}^*$ ) می‌باشد.

$$r_j^2 = \frac{\sum_{i=1}^N (y_i - y_{ij}^*)^2}{N} \quad (28-3)$$

در رابطه‌ی (28-3)  $j$  می‌باشد که در آن  $m$  تعداد نرون‌های گزینش شده در لایه قبلی می‌باشد.

### ۶-۵- طراحی ساختارهای گوناگون برای شبکه‌های GMDH

یکی از مهم‌ترین مسائلی که در شبکه‌های عصبی مصنوعی چندلایه (پرسپترون و ...) مطرح می‌باشد، طراحی ساختار شبکه است. در این طراحی باید تعداد لایه‌ها و نیز ساختار درونی از قبیل تعداد وزن‌ها و مقادیر اولیه آن‌ها و همچنین تابع تحریک هر نرون به صورت مناسب انتخاب گردند تا یک نگاشت مناسب و ایده‌آل میان داده‌های ورودی و خروجی برقرار شود. در این نوع از طراحی، هدف جلوگیری از رشد گرایی شبکه و نیز مرتبط کردن شکل و ساختار شبکه به یک یا چند پارامتر عددی است، به گونه‌ای که با تغییر این پارامتر ساختار شبکه‌ها نیز تغییر کند.

در طراحی ساختارهای شبکه‌ها، معمولاً دو اصل کلی زیر در نظر گرفته می‌شود:

- ۱- تعداد لایه‌ها و تعداد نرون‌های هر لایه و ارائه روشی برای کنترل و انتخاب آن‌ها
- ۲- نحوه ارتباط نرون‌ها با یکدیگر و ارائه روشی برای ایجاد ارتباط بهینه میان آن‌ها

### ۶-۶- کاربرد الگوریتم ژنتیک در طراحی شبکه‌های عصبی

روش‌های تکاملی همچون الگوریتم ژنتیک در طراحی پارامترهای مختلف شبکه‌های عصبی کاربردهای وسیعی دارند، زیرا این روش، تنها روش برای پیدا کردن بهینه سراسری در فضای جستجو که مشتق

پذیر نیست، می‌باشد. این قبیل روش‌های تصادفی عموماً برای آموزش شبکه‌های عصبی در بهینه سازی وزن‌ها یا ضرایب، نسبت به روش‌های کلاسیک گرادیان عملکرد بهتری دارند. بهویژه فضای نامتناهی ساختار پیچیده و ساده برای اتصال بین وزن‌ها بسیار جذاب‌تر و مؤثرتر، توسط الگوریتم تکاملی می‌تواند بهینه‌سازی شود.

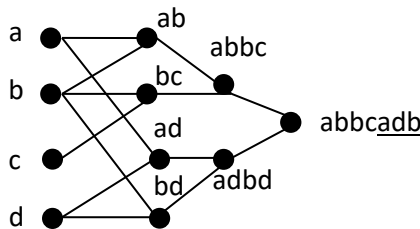
### ۳-۶-۸- شبكه‌های عصبی با ساختار مرسوم و ساختار عمومی

شبکه‌های عصبی با ساختار مرسومی که CS-GMDH نامیده می‌شوند، برای ساخت نرون‌ها در لایه جدید تنها از نرون‌های لایه مجاور خود استفاده می‌کنند، ولی در شبکه‌های عصبی با ساختار عمومی GS-GMDH برای ساخت نرون در لایه‌ی جدید از نرون‌ها در تمامی لایه‌های قبلی خود استفاده می‌کنند. برای این دو نوع شبکه (GS-GMDH و CS-GMDH) از دو نوع کدگذاری برای الگوریتم ژنتیک استفاده می‌شود که در ادامه نحوه کدگذاری این دو شبکه تشریح می‌شود.

### ۳-۶-۸-۱- ژنوم نشاندهنده‌ی شبکه‌های عصبی از نوع CS-GMDH

ژنوم یا نمایش کروموزوم که جزئیات ساختاری شبکه CS-GMDH را نشان می‌دهد، از رشته‌هایی که اجزای آن حروف الفبا هستند ساخته شده است در این روش کدگذاری، داده‌های مختلف ورودی با حروف الفبا نام‌گذاری گردیده و هر کروموزوم رشته‌ای است که از به هم پیوستن داده‌های ورودی نامگذاری شده ایجاد شده است. بنابراین داده‌های ورودی  $\{x_1, x_2, x_3, \dots\}$  را می‌توان به صورت رشته‌ای به هم پیوسته از نشانه‌های  $\{\dots, a_i, a_2, a_1\}$  و جمعیت‌ها را به صورت  $a_1, a_2, \dots, a_i \in \{a, b, c, d, \dots\}$  نام مستعار داده‌های  $x_1, x_2, x_3, \dots$  که chromosome =  $(a_1, a_2, \dots, a_i)$  می‌باشند، معرفی کرد. برای مثال در صورتی که ۴ داده‌ی ورودی موجود باشد، ۴ حرف الفبا مثل a, b, c, d را می‌توان به صورت رشته‌های تک‌حرفی که از به هم پیوستن آن‌ها کروموزوم تشکیل خواهد شد، برای معرفی شبکه‌های مختلف و نیز کروموزوم‌های متفاوت استفاده کرد. بنابراین طول هر کروموزوم  $2^k$

می‌باشد که  $\{1, 2, 3, \dots, (n_i + 1)\}$  و  $n_i$  تعداد لایه‌های مخفی می‌باشد و می‌توان به راحتی آن را با شبکه GMDH ترجمه کرد، با توجه به این که در چنین شبکه‌ای هر نرون تنها بر مبنای دو نرون لایه قبلی بنا نهاده شده است و طبق تعریفهای قبلی این شبکه‌ها را شبکه‌های پیش‌تغذیه شونده گویند. باید در نظر داشت که در اینجا دولایه‌ی مخفی وجود دارد که طول رشته در این مورد بخصوص برابر و معادل با  $8 = 2^{2+1}$  می‌باشد. این مسئله نیز واضح است که نشانه‌های الفبایی معرفی کننده تعداد نرون‌ها در هر لایه می‌باشد. در این نحوی معرفی هر کدام از اعداد متوالی  $2^1$  یا  $2^2$  یا  $2^3$  نشان‌دهنده طول رشته‌ها و به‌تبع آن نشان‌دهنده نرونی مشخص واقع در لایه‌ای مشخص می‌باشد. برای مثال هر کدام از قسمت‌های کروموزوم abbcadbd نرون‌ها را در لایه‌های اول (طول  $2^1$ )، دوم (طول  $2^2$ ) و خروجی نشان می‌دهد، درست همان‌گونه که در شکل (۳-۶) نمایش داده شده است.

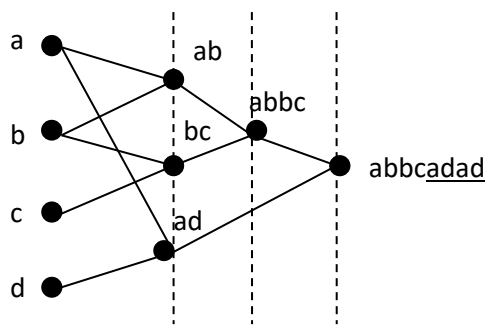


شکل ۳-۶: ساختار شبکه عصبی از نوع CS-GMDH یک کروموزوم

باید توجه داشت که کروموزوم‌ها باید کروموزوم‌های معتبر بوده و وجود خارجی داشته باشند. کروموزوم‌هایی با ترکیب aa|bc|ad|bd یا abab|adbc وجود خارجی ندارند. بنابراین لازم است که هنگام شروع تولید و یا دوباره ساختن کروموزوم‌ها به این نکته توجه داشت که ترکیب موردنظر وجود خارجی داشته باشد. ساختن تصادفی کروموزوم‌ها تا ساخته شدن کروموزوم معتبر ادامه خواهد داشت. بنابراین لازم است که سالم بودن هر کروموزوم ساخته شده بررسی شود و این بررسی می‌بایست هم در شروع ساختن کروموزوم‌ها و هم در حین دوباره‌سازی آن‌ها انجام گیرد.

### ۳-۶-۸-۲- ژنوم نشان‌دهنده شبکه‌های عصبی از نوع GS-GMDH

از مفاهیم گفته شده در کدگذاری شبکه‌های CS-GMDH استفاده می‌شود تا کدگذاری شبکه‌های CS-GMDH به نحو مطلوب انجام گیرد. همان‌طور که در کدبندی شبکه‌های عصبی نوع CS-GMDH مشاهده شد به‌طور کلی فرمول  $2^{HL+1} = \text{Length of neur}$  GMDH مخفی است، ارتباط بین طول نرون و تعداد لایه‌های مخفی را در این کدگذاری نشان می‌دهد. به عنوان مثال کروموزوم abbcadbd که به طول ۸ می‌باشد طبق فرمول دارای دو لایه مخفی ( $2^{2+1} = 8$ ) است. همچنین از این کدگذاری کاملاً مشخص است که هر نرون به طول  $2^n$  متعلق به لایه  $n$  است. برای شبکه‌ی فوق (abbcadbd) کلیه نرون‌ها با طول دو ( $2^1$ ) متعلق به لایه اول (ad|bc|ab|bc)، و کلیه نرون‌ها با طول چهار ( $2^2$ )، متعلق به لایه دو (abbc|acbc) و.... از این خاصیت استفاده می‌شود تا ژنومی برای شبکه عصبی نوع GS-GMDH تشکیل یابد. در شبکه‌ی عصبی نوع GS-GMDH نرون‌ها با طول‌های مختلف با یکدیگر ترکیب می‌شوند. در حقیقت نرون با طول کوچک‌تر باید از چند لایه‌ی مخفی جهش کند و با نرون با طول بزرگ‌تر ترکیب شود. برای حل این مشکل نام نرون‌هایی که از لایه‌ها جهش می‌کنند، تکرار می‌شود. در شکل (۷-۳) مشاهده می‌شود که نرون ad در لایه مخفی اول با جهش از لایه مخفی دوم با نرون abbc (با طول بزرگ‌تر) ترکیب شده و نرون abbc را تشکیل داده است. در حقیقت نرون مجازی بانام adad در لایه مشابه نرون bc ساخته شده با آن ترکیب می‌گردد. تعداد تکرار نرون با طول کوچک‌تر برابر  $2^n$  است، که در آن n نشان‌دهنده تعداد لایه‌هایی است که نرون از آن‌ها جهش کرده است. کروموزوم‌هایی نظیر acacacadaad در کدگذاری شبکه‌های نوع GS-GMDH غیرقابل قبول‌اند، زیرا به راحتی می‌توان آن‌ها را به صورت GS-GMDH زیرمجموعه‌ای از شبکه acad نمایش داد. کاملاً مشخص است که شبکه CS-GMDH از شبکه GS-GMDH می‌باشد.



شکل ۷-۳: کروموزوم مربوط به شبکه عصبی نوع GS-GMDH

$\forall \xi$

## فصل چهارم

### نتایج

## مدل‌سازی‌ها

در فصل قبل روش‌های مدل‌سازی مورداستفاده در این مطالعه تشریح شد. در این فصل ابتدا همبستگی داده‌ها ارزیابی شده، سپس به شرح نتایج حاصل از مدل‌سازی و ساختارهای ایجادشده پرداخته شد و همچنین نمودارهای حاصل را بررسی کرده و در پایان مقایسه‌ای پیرامون نتایج مدل‌سازی و نتایج آزمایشگاهی موجود انجام شد.

#### ۲-۴- آزمون همبستگی پارامترها

ضریب همبستگی ابزاری برای تعیین نوع و درجه رابطه یک متغیر با متغیر کمی دیگر می‌باشد. این ضریب به گونه‌ای تعریف شده است که مقادیر بین  $-1 + 1$  را دربر می‌گیرد. زمانی یک همبستگی کامل رخ می‌دهد که بتوان مقدار یک متغیر را از روی مقدار متغیر دیگر دقیق پیش‌بینی کرد. همچنین این ضریب به شکل بیضی است و هر چه ضریب به  $1 \pm$  نزدیک‌تر باشد قدر مطلق ضریب همبستگی پیرسون بزرگ‌تر بوده و رابطه قوی‌تر می‌باشد. هنگامی که رابطه‌ای بین دو متغیر وجود نداشته باشد نمودار پراکنش نیز به شکل دایره نزدیک می‌شود. همچنین این همبستگی به شکل ماتریس نیز نشان داده می‌شود که (\*\*\*) نشان‌دهنده بامعنی بودن و همبستگی بیشتر در سطح ۰/۰۱ و علامت (\*) معنی‌دار بودن در سطح ۰/۰۵ درصد را نشان می‌دهد. آزمون ضریب همبستگی برای سرریز مرکب مستطیلی - مستطیلی و سرریز مرکب مثلثی - مستطیلی انجام شده است. در این جداول تمامی پارامترهای اندازه‌گیری شده در سرریز ذکر شده است که از بین همه پارامترهای موجود، پارامترهایی که دارای (\*\*) می‌باشند تأثیرگذارترین پارامترها هستند و سلول‌هایی که پرنگ‌تر هستند پارامترهایی با تأثیر خیلی کم می‌باشند. نتایج حاصل از ارزیابی همبستگی پارامترهای موجود برای سرریز مرکب مستطیلی - مستطیلی و مثلثی - مستطیلی با زاویه رأس‌های ۶۰، ۹۰ و ۱۲۰ درجه به ترتیب در جدول‌های (۱-۴، ۲-۴، ۳-۴ و ۴-۴) ارائه شده است. پارامترهای بررسی شده شامل:

عرض سریز مرکزی ( $b_1$ )، عرض سریزهای موجود در دو طرف سریز مرکزی ( $b_2$ )، عرض کanal (B)، ارتفاع وزنی سریز مرکزی و سریزهای دو طرف به ترتیب ( $w_1$  و  $w_2$ )، عمق جریان بالادست (y)، دبی جریان بالادست (Q)، دبی جریان عبوری از سریز (Qs)، دبی جریان به سمت پایین دست کanal اصلی ( $Q_1$ )، میانگین ارتفاع وزنی ( $\bar{W}$ )، طول سریز (L)، عدد فرود بالادست جریان (Fr)، نسبت ارتفاع وزنی تاج سریز به عمق جریان در بالادست سریز ( $\frac{L}{y}$ )، نسبت طول سریز به عرض کanal ( $\frac{L}{B}$ )، نسبت طول سریز به عمق جریان در بالادست سریز ( $\frac{L}{y}$ ).

جدول ۴-۱: ضریب همبستگی بین پارامترهای سریز مرکب مستطیلی-مستطیلی.

CRRSC	b1	b2	w1	w2	L	Y	Q	Qs	Q1	Fr	Wbar	B	W/Y	L/B	Cd
b1	1	.798**	.690**	.758**	.980**	.848**	.876**	.885**	.743**	-.067	.744**	.872**	.018	-.225**	.357**
b2		1	.458**	.563**	.902**	.637**	.748**	.773**	.625**	.286**	.485**	.737**	-.330**	-.061	.046
w1			1	.747**	.646**	.916**	.775**	.629**	.752**	-.406**	.986**	.735**	.410**	-.474**	.625**
w2				1	.729**	.824**	.753**	.648**	.708**	-.312**	.843**	.698**	.328**	-.273**	.416**
L					1	.818**	.875**	.889**	.739**	.046	.693**	.868**	-.096	-.182**	.271**
Y						1	.903**	.867**	.795**	-.322**	.937**	.839**	.138**	-.414**	.466**
Q							1	.851**	.946**	.026	.803**	.893**	-.016	-.426**	.370**
Qs								1	.636**	-.128*	.662**	.777**	-.199**	-.179**	.236**
Q1									1	.117*	.774**	.835**	.098	-.516**	.399**
Fr										1	-.415**	.043	-.560**	.025	-.589**
Wbar											1	.760**	.423**	-.451**	.612**
B												1	-.034	-.645**	.305**
W/Y													1	-.099	.685**
L/B														1	-.220**
Cd															1

نتایج ارائه شده در جدول حاکی از آن است که پارامترهایی همچون Fr با سایر پارامترها بیشترین همبستگی را دارد، یا به طور مثال پارامترهایی مانند  $w_1$ ,  $w_2$ , y از پارامترهای موثر بر ضریب دبی بوده و دو ستاره دارند پس به جای استفاده از این سه پارامتر به صورت مجزا، از پارامتر  $\frac{\bar{W}}{y}$  استفاده می-شود که هر سه پارامتر را شامل می‌شود. همچنین برای سریزهای مرکب مثلثی-مستطیلی با زاویه رأس‌های ۹۰، ۱۲۰ و ۱۵۰ درجه نیز به همسن طریق جداول ارائه شده است.

جدول ٤-٢: ضریب همبستگی بین سرریز مرکب مثلثی- مستطیلی با زاویه رأس ٦٠ درجه.

$60^\circ$	b1	b2	w1	w2	L	Y	Q	Qs	Q1	Fr	Wbar	W/Y	L/Y	Cd
b1	1	-.195**	-.277**	-.058	.973**	-.089	.028	.333**	-.201**	.086	-.025	.078	.821**	.202**
b2		1	.500**	-.571**	.035	-.005	-.014	-.031	.009	-.014	.155*	.087	.025	.209**
w1			1	.425**	-.165*	.191**	-.091	-.242**	.085	-.226**	.911**	.375**	-.232**	.170*
w2				1	-.193**	.186**	-.071	-.197**	.071	-.200**	.702**	.265**	-.246**	-.057
L					1	-.092	.025	.332**	-.202**	.084	.011	.100	.842**	.255**
Y						1	.146*	.809**	-.420**	-.651**	.207**	-.792**	-.596**	-.812**
Q							1	.172*	.747**	.634**	-.097	-.203**	-.065	-.223**
Qs								1	-.526**	-.482**	-.193**	-.856**	-.176*	-.703**
Q1									1	.873**	.047	.402**	.062	.282**
Fr										1	-.242**	.449***	.410**	.469**
Wbar											1	.421**	-.099	.165*
W/Y												1	.504**	.878**
L/Y													1	.655**
Cd														1

جدول ٤-٣: ضریب همبستگی بین سرریز مرکب مثلثی- مستطیلی با زاویه رأس ٩٠ درجه.

$90^\circ$	b1	b2	w1	w2	L	Y	Q	Qs	Q1	Fr	Wbar	L/Y	W/Y	Cd
b1	1	-.824**	-.481**	.359**	.559**	-.125	-.039	-.089	.024	.074	.101	.361**	.197**	.030
b2		1	.520**	-.526**	.009	.079	.010	.156*	-.090	-.068	-.107	-.073	-.159*	.103
w1			1	.419**	-.088	.196**	-.007	-.140*	.083	-.172*	.780**	-.219**	.386**	.446**
w2				1	-.136	.123	-.021	-.315**	.182*	-.110	.868**	-.168*	.527**	.203**
L					1	-.105	-.053	.070	-.090	.031	.021	.530**	.114	.203**
Y						1	.130	.876**	-.445**	-.657**	.163*	-.886**	-.697**	-.554**
Q							1	.116	.777**	.640**	-.023	-.147*	-.131	-.163*
Qs								1	-.536**	-.565**	-.275**	-.699**	-.901**	-.620**
Q1									1	.903**	.155*	.318**	.460**	.255**
Fr										1	-.153*	.568**	.427**	.300**
Wbar											1	-.139	.582**	.433**
L/Y												1	.640**	.570**
W/Y													1	.793**
Cd														1

جدول ۴-۴: ضریب همبستگی بین سرریز مرکب مثلثی- مستطیلی با زاویه رأس ۱۲۰ درجه.

120°	b1	b2	w1	w2	Y	Q	Qs	Q1	Fr	Wbar	W/Y	L/Y	Cd
b1	1	-1.000**	-.237**	.571**	.112	-.013	-.155*	.098	-.076	.326**	.288**	-.098	-.076
b2		1	.237**	-.571**	-.112	.013	.155*	-.098	.076	-.326**	-.288**	.098	.076
w1			1	.659**	.454**	.005	-.127	.095	-.343**	.840**	.479**	-.460**	.048
w2				1	.471**	-.004	-.225**	.156*	-.349**	.960**	.624**	-.467**	-.020
Y					1	.174*	.721**	-.353**	-.620**	.507**	-.349**	-.989**	-.645**
Q						1	.265**	.728**	.645**	-.003	-.148	-.165*	.092
Qs							1	-.469**	-.345**	-.207**	-.865**	-.707**	-.608**
Q1								1	.836**	.145	.479**	.352**	.517**
Fr									1	-.379**	.160*	.635**	.570**
Wbar										1	.625**	-.505**	.009
W/Y											1	.349**	.590**
L/Y												1	.644**
Cd													1

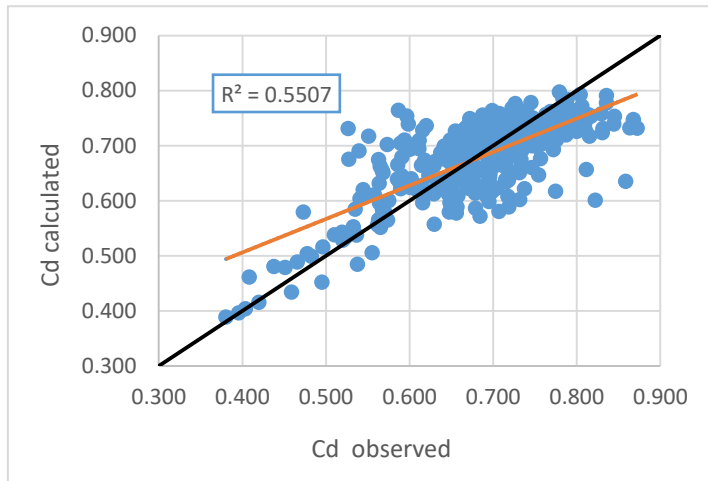
بررسی جداول نشان می‌دهند که پارامترهایی که در مدل‌سازی‌ها استفاده شده‌اند، پارامترهایی با بیشترین تأثیر هستند.

### ۴-۳- نتایج حاصل از روش مستقیم برای سرریز مرکب مستطیلی- مستطیلی

با داشتن پارامترهای آزمایشگاهی موردنیاز، مقدار  $Cd$  اندازه‌گیری شده و با استفاده از روش حداقل-سازی مجموعه مربعات خطأ و تحلیل ابعادی و پس از انجام محاسبات و رگرسیون غیرخطی در اکسل ضرایب مجھول محاسبه و رابطه زیر برای ضریب دبی سرریز مرکب مستطیلی- مستطیلی ارائه گردید.

$$Cd = 0.7698 - 0.3327 Fr_1^{0.1722} + 0.5685 \left( \frac{\bar{w}}{y_1} \right)^{0.5885} - 0.2163 \left( \frac{L}{B} \right)^{0.5348} \quad (1-4)$$

تغییرات ضریب دبی محاسباتی نسبت به ضریب دبی مشاهداتی در شکل (۱-۴) نمایان است. در این مقایسه محور افقی مقدار ضریب دبی مشاهده شده در آزمایشگاه بوده و محور عمودی نشان دهنده ضریب دبی محاسبه شده برای سرریز مرکب مستطیلی- مستطیلی از فرمول (۱-۴) است که ضریب رگرسیون برابر  $551/0$  بdst آمد.



شکل ۴-۱: مقایسه ضریب دبی بر اساس ضریب دبی رابطه (۴-۱) با نتایج آزمایشگاهی

برای سرریز مرکب مستطیلی-مستطیلی

#### ۴-۴-۴- نتایج حاصل از محاسبه ضریب دبی در روش مستقیم برای سرریز مرکب مثلثی-مستطیلی

مشابه سرریز مرکب مستطیلی-مستطیلی ضریب دبی برای سرریزهای مرکب مثلثی-مستطیلی با

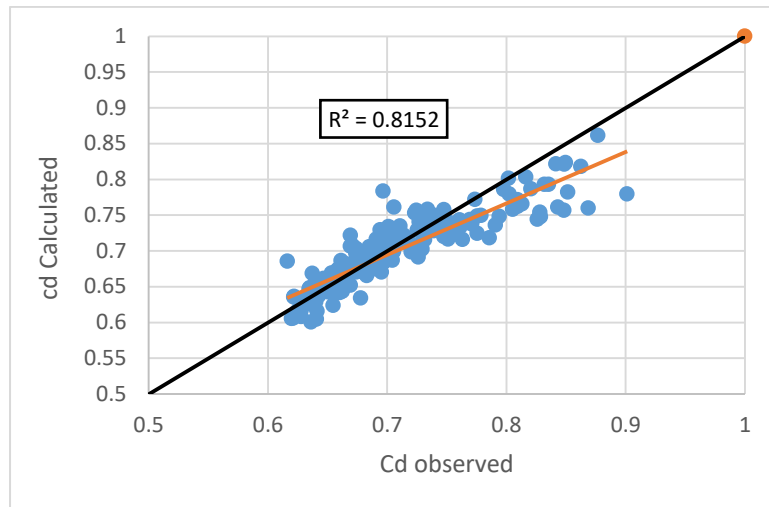
زاویه رأس ۶۰ درجه، ۹۰ درجه و زاویه رأس ۱۲۰ درجه به ترتیب به صورت زیر حاصل می‌شود:

$$Cd = 0.3356 - 0.051Fr_1^{0.583} + 0.3682\left(\frac{\bar{W}}{y_1}\right)^{1.103} + 0.1245\left(\frac{L}{y_1}\right)^{0.53} \quad (۲-۴)$$

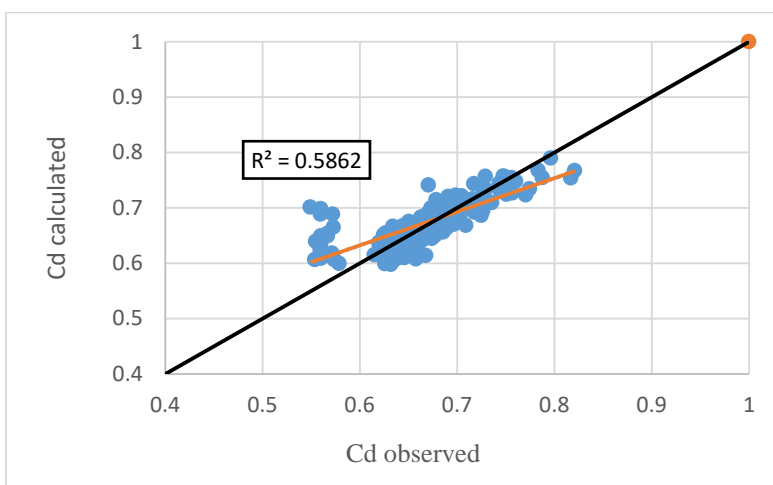
$$Cd = 0.4243 + 0.0327Fr_1^{1.299} + 0.3762\left(\frac{\bar{W}}{y_1}\right)^{1.18} + 0.0454\left(\frac{L}{y_1}\right)^{0.479} \quad (۳-۴)$$

$$Cd = 0.4917 + 0.1324Fr^{2.555} + 0.39\left(\frac{\bar{W}}{y}\right)^{3.33} + 0.0363\left(\frac{L}{y}\right)^{1.34} \quad (۴-۴)$$

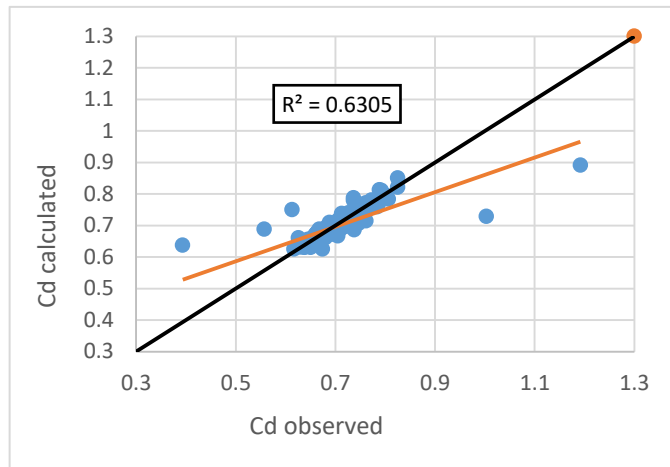
که در زیر نمودارهای مقایسه ضریب دبی حاصل از روش محاسبه مستقیم نسبت به ضریب دبی مشاهداتی ارائه گردیده است. در این شکل‌ها محور افقی نشان‌دهنده ضریب دبی مشاهداتی و محور عمودی ضریب دبی بدست آمده از معادلات (۲-۴)، (۳-۴) و (۴-۴) می‌باشد.



شکل ۴-۲: مقایسه ضریب دبی مشاهده شده با ضریب دبی حاصل از روش مستقیم برای سرریز مرکب مثلثی-مستطیلی با زاویه رأس ۶۰ درجه.



شکل ۴-۳: مقایسه ضریب دبی مشاهده شده با ضریب دبی حاصل از روش مستقیم برای سرریز مرکب مثلثی-مستطیلی با زاویه رأس ۹۰ درجه.



شکل ۴-۴: مقایسه ضریب دبی مشاهده شده با ضریب دبی حاصل از روش مستقیم

برای سرریز مرکب مثلثی-مستطیلی با زاویه رأس ۱۲۰ درجه.

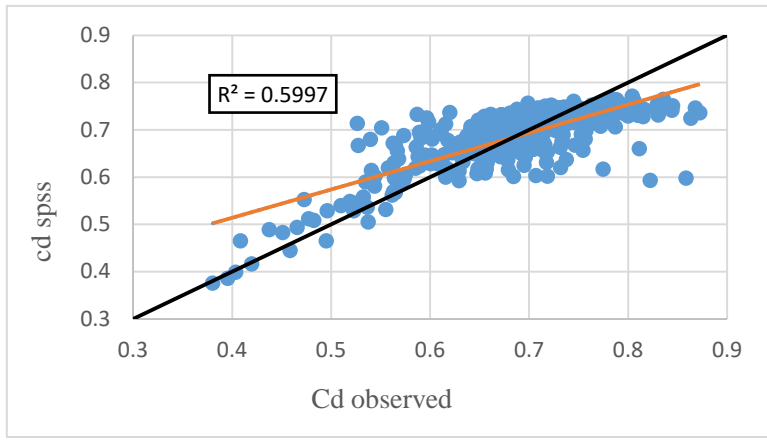
با توجه به نتایج نمودارهای بدست آمده از روش محاسبه مستقیم ضریب دبی به روش رگرسیون مقادیر<sup>۲</sup> R نشان دهنده نزدیکی نتایج ضریب دبی مشاهداتی و ضریب دبی محاسبه شده به روش رگرسیون می‌باشد. که نتایج کلی در پایان به صورت جدول کلی ارائه شده است.

#### ۴-۵- معادله ضریب دبی سرریز مرکب مستطیلی-مستطیلی با استفاده از رگرسیون غیرخطی

با استفاده از فراخوانی داده‌ها با نرم‌افزار SPSS و با استفاده از رگرسیون غیرخطی، ضریب دبی سرریز مرکب مستطیلی-مستطیلی مدل‌سازی شده و ضرایب تخمین زده شدند. سپس برای اطمینان از بهینه بودن، ضرایب مدل‌سازی را با ضرایب جدید تکرار کرده تا ضرایب ثابت حاصل شود. رابطه‌ی حاصل از رگرسیون غیرخطی به شکل زیر می‌باشد:

$$Cd = -0.342 - 0.102Fr^{2.928} + 1.164\left(\frac{W}{y}\right)^{0.15} - 0.041\left(\frac{L}{B}\right)^{28.293} \quad (5-4)$$

همچنین تغییرات ضریب دبی سرریز مرکب مستطیلی-مستطیلی برای داده‌های مشاهداتی و ضریب حاصل از مدل‌سازی SPSS در شکل (۴-۵) نمایش داده شده است. ضریب رگرسیون برای این مدل برابر ۰/۵۹ می‌باشد.



شکل ۴-۵: مقایسه ضریب دبی بر اساس ضریب دبی رابطه (۴-۵) به دست آمده با استفاده از رگرسیون غیرخطی نتایج آزمایشگاهی برای سرریز مرکب مستطیلی-مستطیلی.

#### ۴-۶- معادله ضریب دبی سرریز مرکب مثلثی-مستطیلی با استفاده از رگرسیون غیرخطی

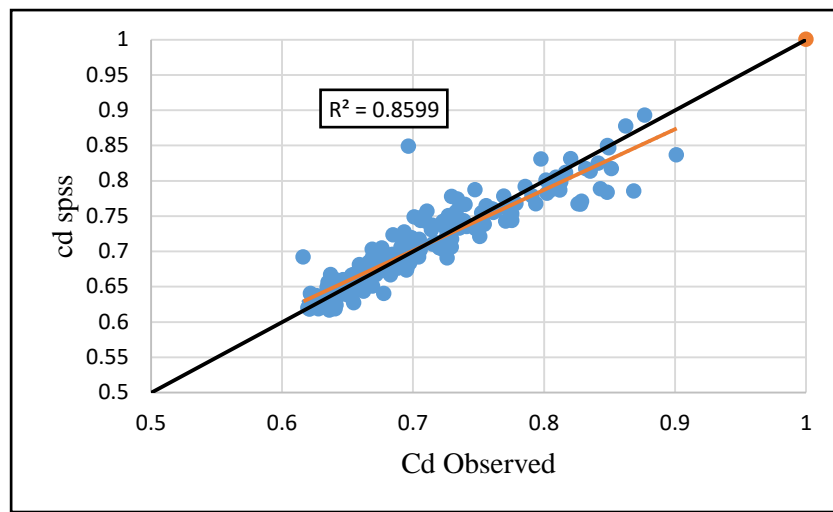
نتایج حاصل از رگرسیون غیرخطی ضریب دبی سرریز مرکب مثلثی-مستطیلی با استفاده از نرمافزار SPSS برای هر سه نوع سرریز مرکب مثلثی-مستطیلی با زاویه رأس‌های ۶۰، ۹۰ و ۱۲۰ درجه به ترتیب به صورت زیر می‌باشد.

$$Cd = 0.359 + 4.708Fr^{10.563} + 0.405\left(\frac{W}{y}\right)^{3.267} + 0.213\left(\frac{L}{y}\right)^{0.272} \quad (6-4)$$

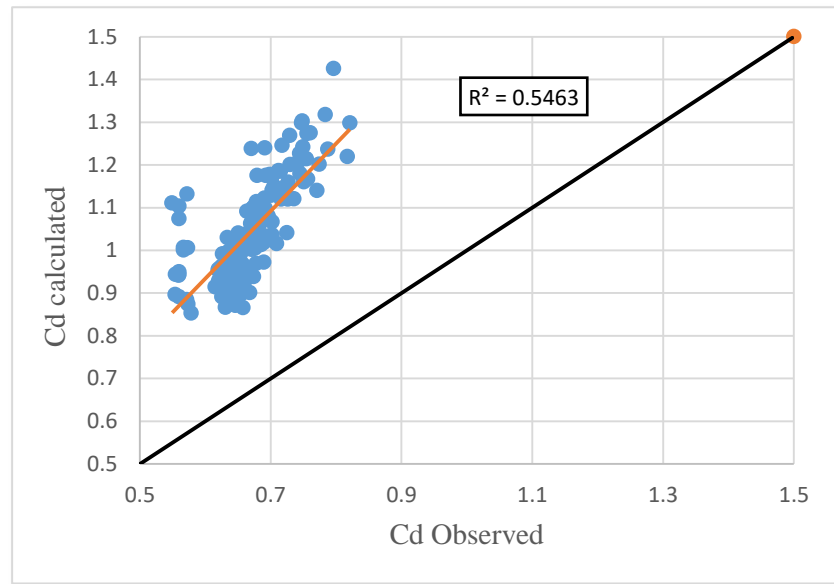
$$Cd = -2400.921 + 0.434Fr^{1.775} + 0.05\left(\frac{W}{y}\right)^{2.286} + 2401.652\left(\frac{L}{y}\right)^0 \quad (7-4)$$

$$Cd = 0.109 + 0.532Fr^{0.126} + 3.554\left(\frac{W}{y}\right)^{10.483} + 0.019\left(\frac{L}{y}\right)^{1.699} \quad (8-4)$$

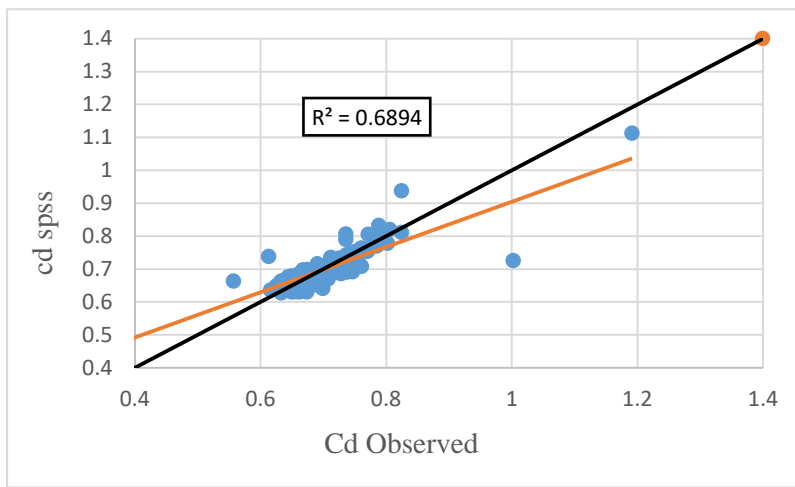
همچنین نمودار مقایسه ضریب دبی به دست آمده از رگرسیون غیرخطی با داده‌های مشاهداتی را برای هر سه سرریز مرکب مثلثی-مستطیلی با زاویه رأس‌های ۶۰، ۹۰ و ۱۲۰ درجه به ترتیب در نمودارهای زیر ارائه شده است. در این نمودارها محور افقی نشان‌دهنده‌ی ضریب دبی مشاهداتی در آزمایشگاه بوده و محور عمودی ضریب دبی حاصل از رگرسیون غیرخطی می‌باشد.



شکل ۴-۴: مقایسه نتایج ضریب دبی سریز مرکب مثلثی-مستطیلی با زاویه رأس ۶۰ درجه با استفاده از رگرسیون غیرخطی.



شکل ۷-۴: مقایسه نتایج ضریب دبی سریز مرکب مثلثی-مستطیلی با زاویه رأس ۹۰ درجه با استفاده از رگرسیون غیرخطی.



شکل ۴-۴: مقایسه نتایج ضریب دبی سرریز مرکب مثلثی- مستطیلی با زاویه رأس ۱۲۰ درجه با استفاده از رگرسیون غیرخطی.

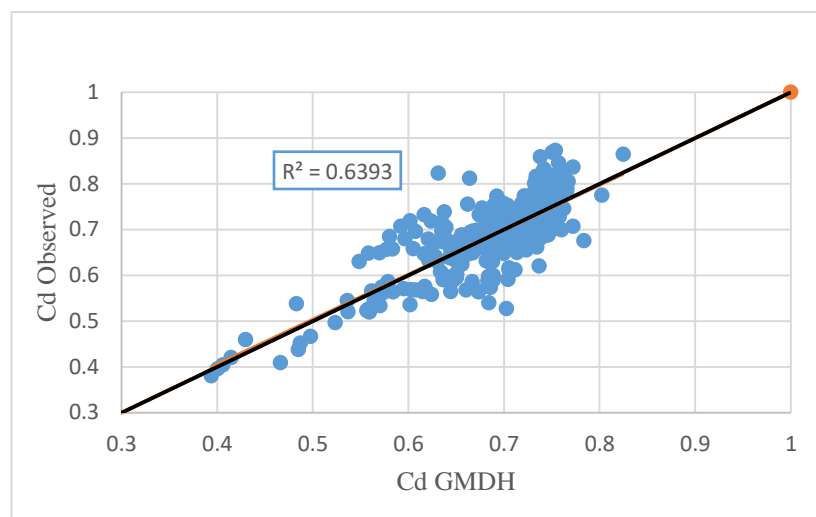
با توجه به مقدار  $R^2$  بدست آمده در روش بهینه‌سازی رگرسیون غیرخطی برای سرریزمستطیلی- مستطیلی و مثلثی- مستطیلی با زاویه ۶۰، ۹۰ و ۱۲۰ درجه و برآش خط  $x = y$ ، بهینه بودن و تجمعی داده‌ها در نزدیکی خط  $x = y$  قابل مشاهده می‌باشد.

#### ۴-۷- نتایج حاصل از نرم‌افزار GMDH برای سرریز مرکب مستطیلی- مستطیلی

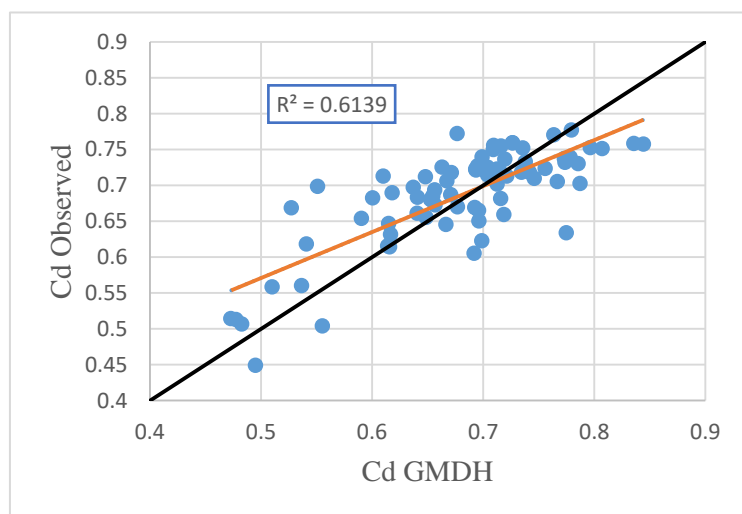
با توجه به متغیرهای انتخاب شده، داده‌ها به دو بخش، که ۸۰ درصد داده‌ها به عنوان داده‌های آموزشی و ۲۰ درصد به عنوان داده‌ی آزمون است تقسیم شده‌اند. صحت مدل آموزش‌دیده سنجیده شده و نزدیکی نتایج حاصل از پیش‌بینی‌ها با نتایج واقعی، اعتبار مدل را ارزیابی می‌کند. در این پژوهش ساختار شبکه عصبی برای سرریز مرکب مستطیلی- مستطیلی از ۳ نرون ورودی تشکیل شده است و به صورت دولایه پنهان به تابع هدف ختم می‌شود.

در شکل‌های (۹-۴) و (۱۰-۴) به ترتیب ضریب دبی مشاهداتی نسبت به ضریب دبی حاصل از مدل- سازی GMDH برای داده‌های آموزش و آزمون نشان داده شده است که ضریب همبستگی برای داده‌های آموزش برابر ۰/۶۴ و برای داده‌های آزمون برابر ۰/۶۱ می‌باشد. در این نمودارها محور افقی نشان-

دهنده ضریب دبی حاصل از مدل سازی با مدل GMDH و محور عمودی ضریب دبی مشاهداتی به دست آمده در آزمایشگاه می باشد.



شکل ۹-۴: مقایسه ضریب دبی مشاهداتی و ضریب دبی محاسبه شده برای داده های آموزش با استفاده از GMDH در سرریز مرکب مستطیلی - مستطیلی.

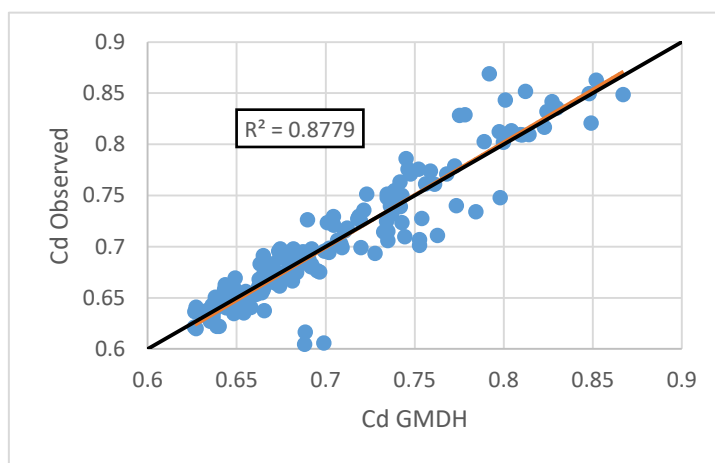


شکل ۱۰-۴: مقایسه ضریب دبی مشاهداتی و ضریب دبی محاسبه شده برای داده های آزمون با استفاده از GMDH در سرریز مرکب مستطیلی - مستطیلی.

#### ۴-۸- نتایج حاصل از نرم افزار GMDH برای سرریز مرکب مثلثی- مستطیلی

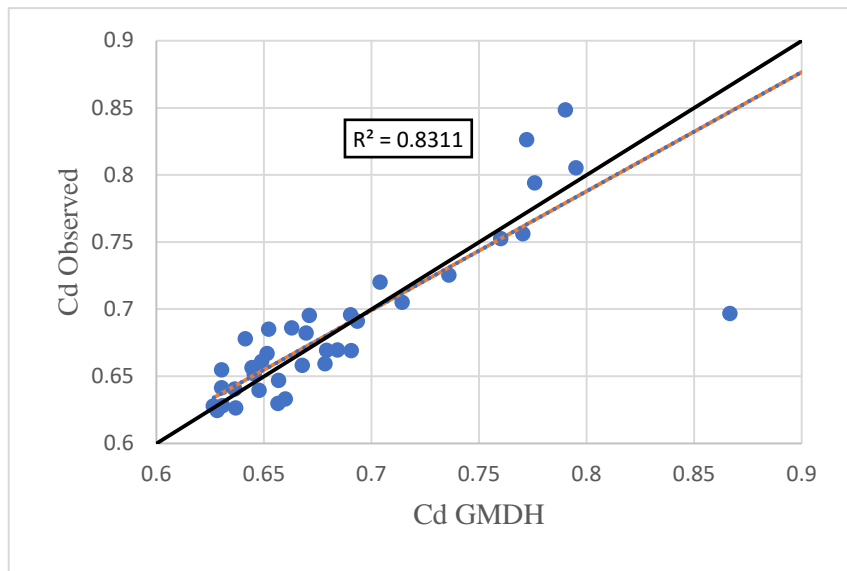
برای مدل سازی ضریب دبی سرریزهای مرکب مثلثی- مستطیلی همچون محاسبهی ضریب دبی سرریز مرکب مستطیلی عمل کرده و دادهها به دو قسمت ۸۰ به ۲۰ تقسیم شده و نتایج حاصل به ترتیب برای سرریزهای مرکب با زاویه رأس ۶۰، ۹۰ و ۱۲۰ درجه به صورت نمودارهایی برای دادههای آزمون و دادههای آموزش به صورت مجزا نشان داده شده است (اشکال ۴-۱۳-۴، ۱۲-۴، ۱۱-۴-۴، ۱۵-۴، ۱۶-۴).

همچنین محورهای افقی نشان دهنده ضریب دبی حاصل از مدل سازی با استفاده از GMDH و محور عمودی ضریب دبی مشاهداتی در آزمایشگاه است.



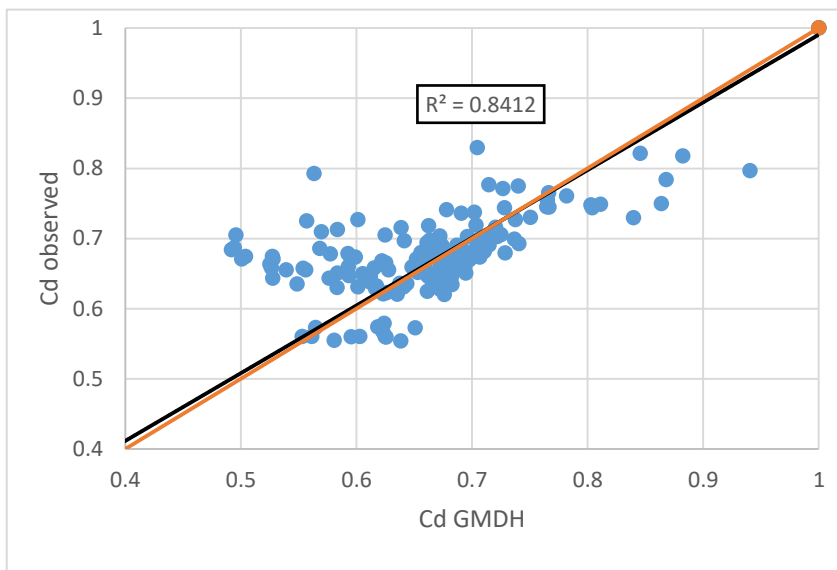
شکل ۴-۱۱: مقایسه نتایج دادههای حاصل از مدل سازی GMDH با دادههای مشاهداتی

برای دادههای آموزش در سرریز مرکب مثلثی- مستطیلی با زاویه رأس ۶۰ درجه.



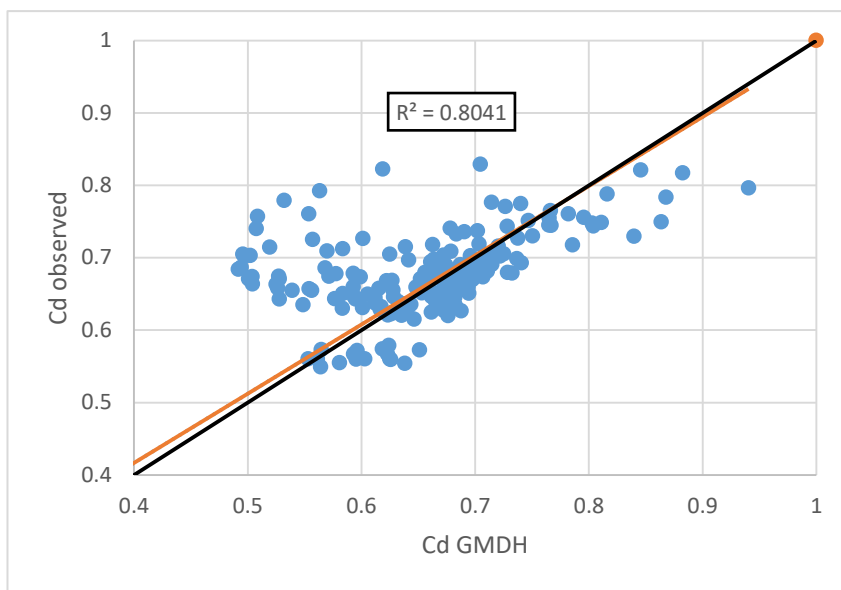
شکل ۱۲-۴: مقایسه نتایج داده‌های حاصل از مدل‌سازی GMDH با داده‌های مشاهداتی

برای داده‌های آزمون در سرریز مرکب مثلثی- مستطیلی با زاویه رأس ۶۰ درجه.



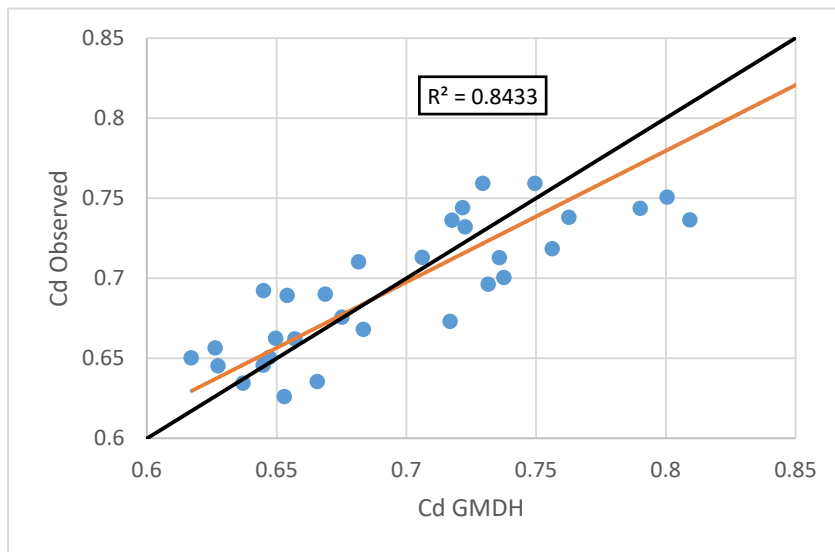
شکل ۱۳-۴: مقایسه نتایج داده‌های حاصل از مدل‌سازی GMDH با داده‌های مشاهداتی

برای داده‌های آموزش در سرریز مرکب مثلثی- مستطیلی با زاویه رأس ۹۰ درجه



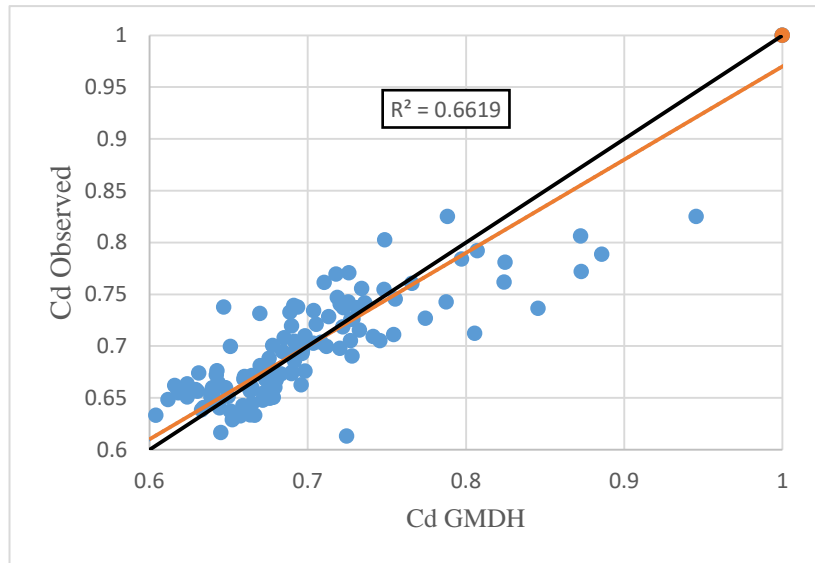
شکل ۱۴-۴: مقایسه نتایج داده‌های حاصل از مدل‌سازی GMDH با داده‌های مشاهداتی

برای داده‌های آزمون در سرریز مرکب مثلثی-مستطیلی با زاویه رأس ۹۰ درجه.



شکل ۱۵-۴: مقایسه نتایج داده‌های حاصل از مدل‌سازی GMDH با داده‌های مشاهداتی

برای داده‌های آموزش در سرریز مرکب مثلثی-مستطیلی با زاویه رأس ۱۲۰ درجه.



شکل ۴-۱۶: مقایسه نتایج داده‌های حاصل از مدل‌سازی GMDH با داده‌های مشاهداتی

برای داده‌های آزمون در سرریز مرکب مثلثی-مستطیلی با زاویه رأس ۱۲۰ درجه.

باتوجه به نمودارهای مقایسه ضریب دبی مشاهداتی و ضریب دبی حاصل از مدل‌سازی GMDH، مقدار  $R^2$  نسبت به رگرسیون که در قسمت قبل ارائه گردید بهبود یافته و بهینه‌تر شده است. نتایج برای هر دو دسته داده‌های آموزش و داده‌های آزمون ارائه گشته که نتایج حاکی از آن است که با استفاده از روش مدل‌سازی GMDH می‌توان مقداری دقیق و نزدیک به مقدار واقعی را بدست آورد.

#### ۴-۹- معادله ضریب دبی سرریز مستطیلی-مستطیلی با استفاده از نرم‌افزار GEP

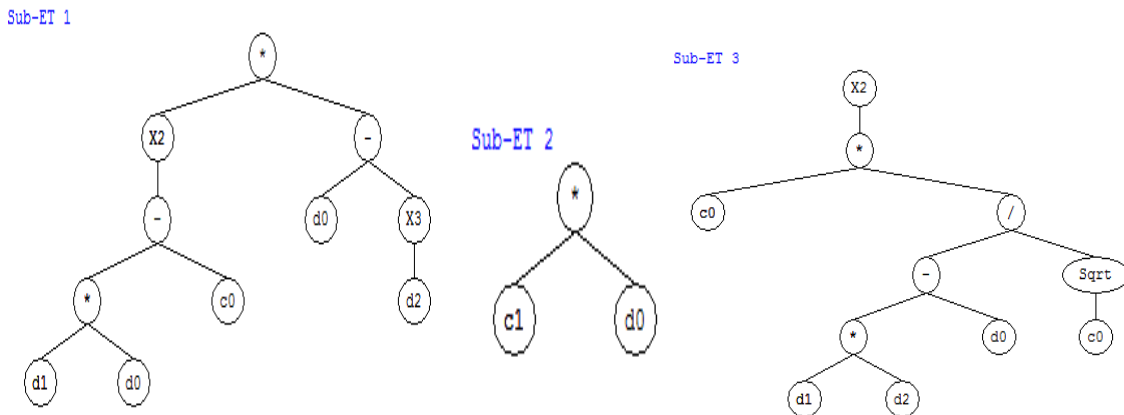
در جدول (۵-۴) لیست ترکیبی از اپراتورهای ژنتیکی استفاده شده برای ساخت مدل با استفاده از روش GEP در این مطالعه را نشان می‌دهد.

جدول ۴-۵: پارامترهای مورداستفاده در برنامه‌ریزی بیان ژن برای استخراج ضریب دبی سرریز مرکب مستطیلی-

مستطیلی

پارامتر	مقدار
اندازه سر (Head Size)	۷
تعداد کروموزوم‌ها (Chromosomes)	۳۰
تعداد ژن در هر کروموزوم (Number of genes)	۲
نرخ جهش (Mutation Rate)	۰/۰۴۴
تابع پیوند (Linking Function)	جمع (+)
معیار خطای تابع (Fitness Function Error Type)	RMSE
مجموعه توابع	/، *، +، -، *

نتایج مطالعات قبلی انجام شده، نشان‌دهنده برتری پارامتر جبری جمع به عنوان تابع پیوند نسبت به دیگر پارامترها برای رسیدن به نتیجه بهینه می‌باشد. لذا در این پژوهش نیز از پارامتر جبری جمع استفاده شده است. در مدل‌سازی با استفاده از GEP خروجی به صورت درختی بوده که پس از ترجمه می‌توان به معادله موردنظر دست یافت. نمودار درختی به دست آمده از مدل برنامه‌ریزی بیان ژن به صورت شکل (۱۷-۴) می‌باشد.

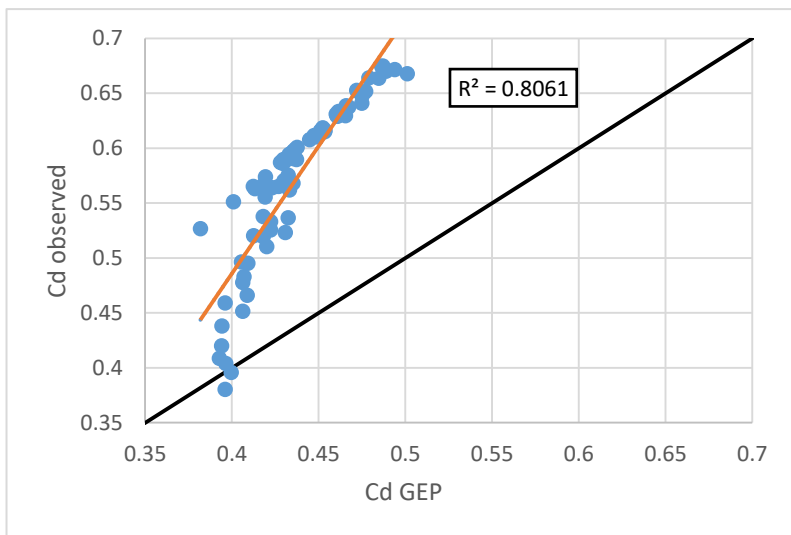


شکل ۱۷-۴: نمودار درختی مدل بهینه حاصل از برنامه‌ریزی بیان ژن (GEP) برای سریز مرکب مستطیلی-مستطیلی.

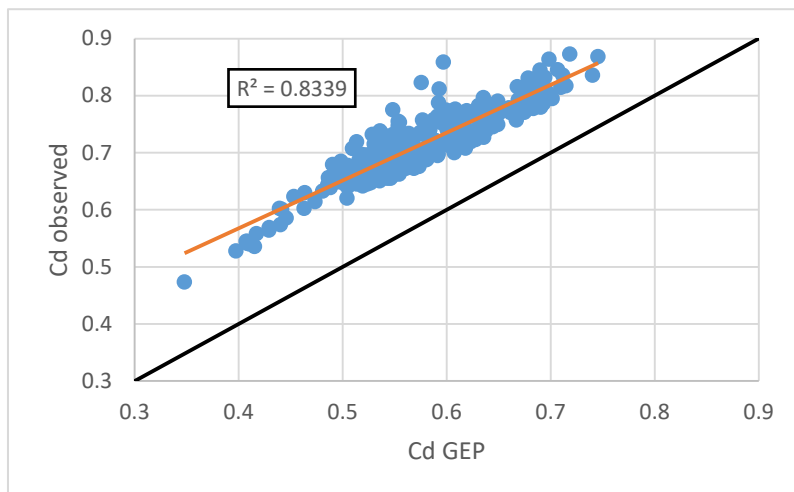
سپس با توجه به نمودار درختی حاصل از مدل GEP معادله زیر برای ضریب دبی سریز مرکب مستطیلی-مستطیلی به دست آمد:

$$\begin{aligned}
 & \left| \left( \left( \frac{L}{B} \times Fr \right) - 0.348816 \right)^2 \times \left( Fr - \left( \frac{W}{y} \right)^{\frac{1}{3}} \right) \right| + [0.728729 \times Fr] \\
 & + \left[ 0.348816 \times \frac{\left( \frac{L}{B} \right) \left( \frac{W}{y} \right) - Fr}{\sqrt{0.348816}} \right]^2
 \end{aligned} \tag{9-۴}$$

مقایسه ضریب دبی مشاهداتی نسبت به ضریب دبی به دست آمده از GEP برای داده‌های آموزش و داده‌های آزمون به ترتیب در نمودارهای (۱۸-۴) و (۱۹-۴) نشان داده شده است، محور افقی نشان‌دهنده ضریب دبی مشاهداتی می‌باشد. نحوه همپوشانی مقادیر ضریب دبی مشاهداتی و نتایج حاصل از پیش‌بینی با استفاده از مدل به طور همزمان در دو بخش آموزش و آزمون ترسیم شده است. این مقایسه نشان می‌دهد که ضریب رگرسیون برای داده‌های آموزش برابر ۰/۸۳ و برای داده‌های آزمون برابر ۰/۸۰ می‌باشد.



شکل ۱۸-۴: مقایسه ضریب دبی آزمون و ضریب دبی مشاهده شده در سرریز مرکب مستطیلی - مستطیلی.



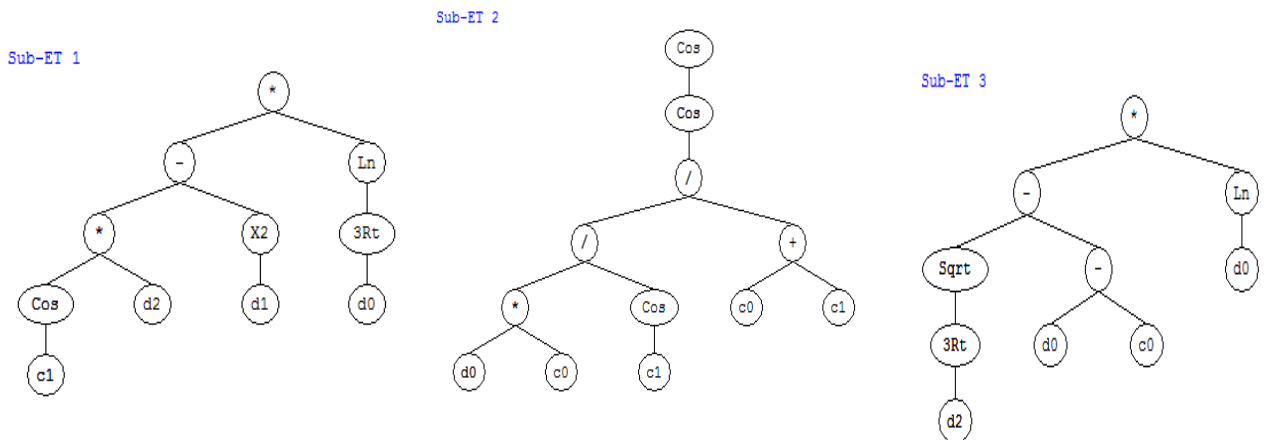
شکل ۱۹-۴: مقایسه ضریب دبی آموزش و ضریب دبی مشاهده شده در سرریز مرکب مستطیلی - مستطیلی.

#### ۴-۱۰- معادله ضریب دبی سرریز مرکب مثلثی - مستطیلی با استفاده از نرم افزار GEP

برای سرریز مرکب مثلثی - مستطیلی نیز روش کار به شکل روش سرریز مرکب مستطیلی - مستطیلی بوده و نتایج برای سرریزهای مرکب مثلثی - مستطیلی با زاویه رأس ۶۰، ۹۰ و ۱۲۰ درجه به ترتیب در شکل های (۲۰-۴)، (۲۱-۴) و (۲۲-۴) ارائه شده است. همچنین پارامترهای مورد استفاده برای سرریزهای مرکب مثلثی - مستطیلی در جدول (۶-۴) ارائه گردیده است:

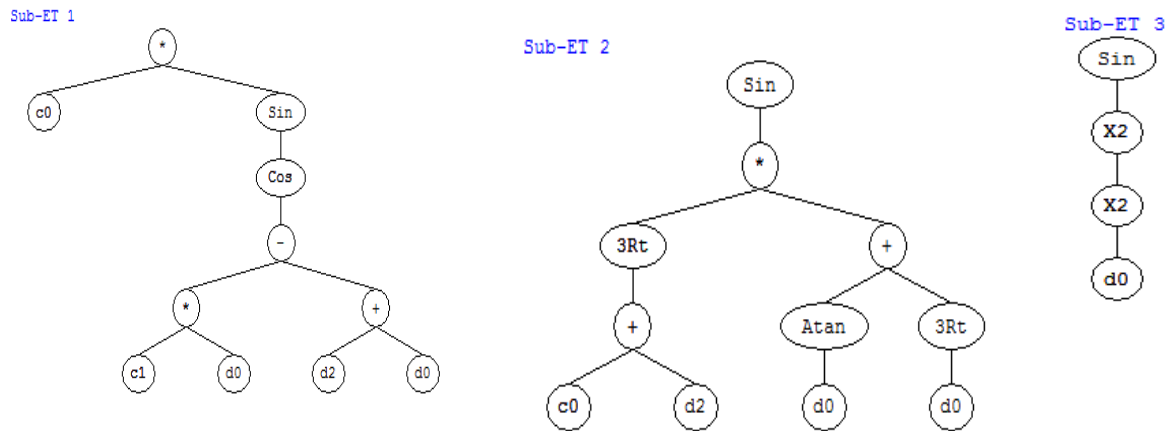
جدول ۴-۶: پارامترهای مورداستفاده در برنامه‌ریزی بیان ژن برای استخراج ضریب دبی سرریز مرکب مثلثی-مستطیلی

پارامتر	مقدار
اندازه سر (Head Size)	۷
تعداد کروموزوم‌ها (Chromosomes)	۳۰
تعداد ژن در هر کروموزوم (Number of genes)	۳
نرخ جهش (Mutation Rate)	۰/۰۴۴
تابع پیوند (Linking Function)	جمع (+)
معیار خطای تابع (Fitness Function Error Type)	RMSE
مجموعه توابع	/, *, -, +, Sin, Cos, Tan, cot, ln



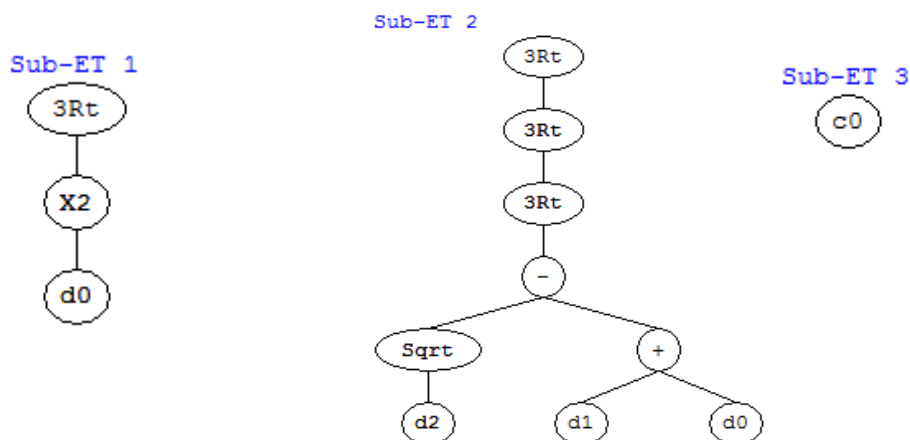
شکل ۲۰-۴: نمودار درختی مدل بهینه حاصل از برنامه‌ریزی بیان ژن (GEP)

برای سرریز مرکب مثلثی-مستطیلی با زاویه رأس ۶۰ درجه.



شکل ۲۱-۴: نمودار درختی مدل بهینه حاصل از برنامه‌ریزی بیان ژن (GEP)

برای سرریز مرکب مثلثی-مستطیلی با زاویه رأس ۹۰ درجه.



شکل ۲۲-۴: نمودار درختی مدل بهینه حاصل از برنامه‌ریزی بیان ژن (GEP)

برای سرریز مرکب مثلثی-مستطیلی با زاویه رأس ۱۲۰ درجه.

با توجه به نمودار درختی حاصل از مدل GEP ضریب دی سرریز مرکب مثلثی-مستطیلی با زاویه

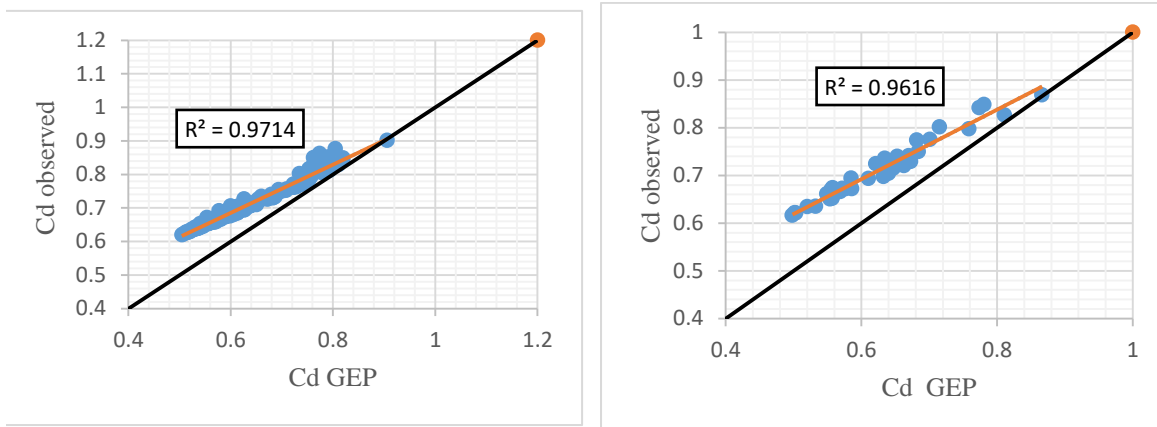
رأس‌های ۹۰، ۶۰ و ۱۲۰ به ترتیب به صورت معادلات (۱۶-۴)، (۱۷-۴) و (۱۸-۴) می‌باشند:

$$Cd_{60^\circ} = \left[ \left[ -0.012 \frac{w}{y} - \left( \frac{L}{b} \right)^2 \right] * \ln Fr^3 \right] + \left[ \cos^2((2.33 * Fr)) \right] + \left[ \left( \sqrt{\left( \frac{w}{y} \right)^3} - Fr - 0.66 \right) * \ln Fr \right] \quad (16-4)$$

$$Cd_{90^\circ} = \left[ -0.78 * \sin \left( \cos \left( \left( (3.369 * Fr) - \left( \frac{w}{y} \right) + Fr \right) \right) \right) \right] + \left[ \sin \left( \left( -0.755 + \frac{w}{y} \right)^3 * (\text{Arctg}(Fr) + Fr^3) \right) \right] + [\sin Fr^4] \quad (17-4)$$

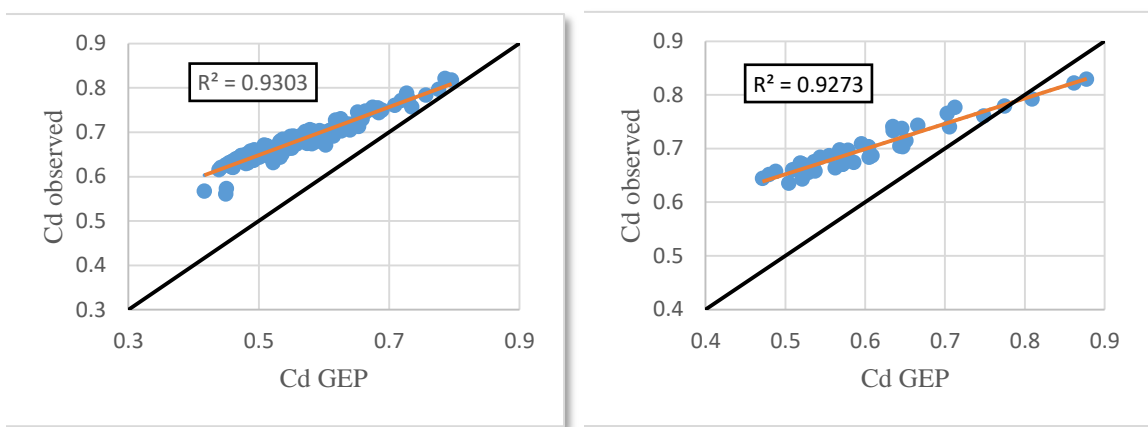
$$Cd_{120} = \left[ \sqrt[3]{Fr^2} \right] + \left[ \left( \sqrt{\frac{w}{y}} - \left( \frac{L}{B} + Fr \right) \right)^9 - 1.196 \right] \quad (18-4)$$

همچنین نمودار مقایسه ضریب دبی مشاهدهای با ضریب دبی به دست آمده از مدل سازی GEP به ترتیب برای سرریزهای مرکب مثلثی-مستطیلی با زاویه رأس ۶۰، ۹۰ و ۱۲۰ درجه به ترتیب برای داده‌های آموزش و داده‌های آزمون به شکل های (۲۳-۴)، (۲۴-۴)، (۲۵-۴)، (۲۶-۴)، (۲۷-۴) و (۴-۴)، می‌باشند. در این نمودارها محور افقی نشان‌دهنده ضریب دبی به دست آمده با استفاده از مدل سازی GEP بوده و محور عمودی نشان‌دهنده ضریب دبی مشاهدهای می‌باشد.



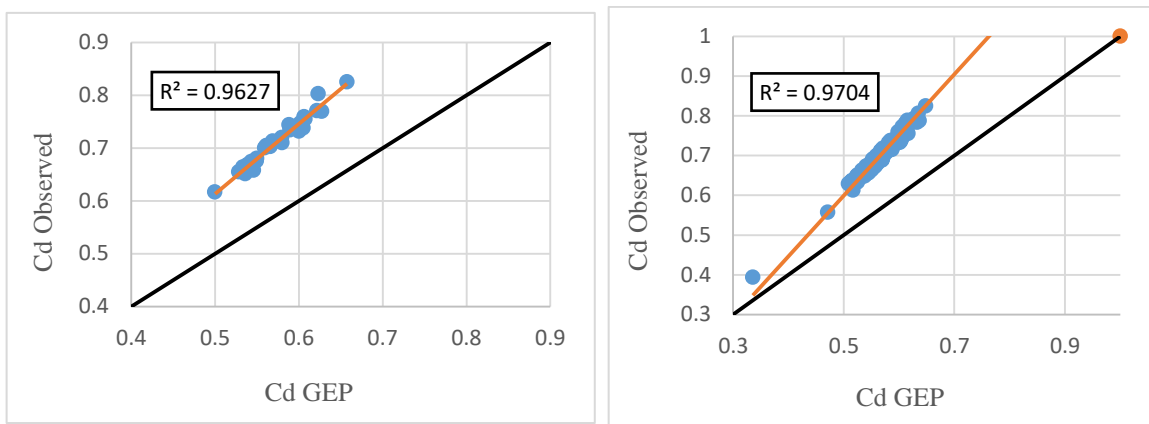
شکل ۲۴-۴: مقایسه ضریب دبی آموزش و ضریب دبی مشاهده شده در سرریز مرکب مثلثی-مستطیلی با زاویه رأس ۶۰ درجه.

شکل ۲۳-۴: مقایسه ضریب دبی آزمون و ضریب دبی مشاهده شده در سرریز مرکب مثلثی-مستطیلی با زاویه رأس ۶۰ درجه.



شکل ۲۶-۴: مقایسه ضریب دبی آموزش و ضریب دبی مشاهده شده سرریز مرکب مثلثی-مستطیلی با زاویه رأس ۹۰ درجه.

شکل ۲۵-۴: مقایسه ضریب دبی آزمون و ضریب دبی مشاهده شده در سرریز مرکب مثلثی-مستطیلی با زاویه رأس ۹۰ درجه.



شکل ۲۸-۴: مقایسه ضریب دبی آموزش و ضریب دبی مشاهده شده در سرریز مرکب مثلثی-مستطیلی با زاویه رأس ۱۲۰ درجه.

شکل ۲۷-۴: مقایسه ضریب دبی آزمون و ضریب دبی مشاهده شده در سرریز مرکب مثلثی-مستطیلی با زاویه رأس ۱۲۰ درجه.

عملکرد مدل های موجود در پیش بینی ضریب دبی سرریز با استفاده از پارامترهای آماری جذر میانگین مربعات خط (RMSE) و ضریب همبستگی (R)، مورد بررسی قرار گرفته است. نزدیک تر شدن مقدار R به یک و همچنین نزدیک شدن ضریب مربعات خط به صفر نشان دهنده دقیقیت بالای مدل ارائه شده برای محاسبه ضریب دبی می باشد.

$$RMSE = \sqrt{\frac{\sum_{i=1}^n ((cd_m)_i - (cd_o)_i)^2}{n}} \quad (19-4)$$

$$R = \frac{\sum_{i=1}^n ((cd_o)_i - \bar{cd}_o)((cd_m)_i - \bar{cd}_m)}{\sqrt{\sum_{i=1}^n ((cd_o)_i - \bar{cd}_o)^2 \sum_{i=1}^n ((cd_e)_i - \bar{cd}_e)^2}} \quad (20-4)$$

در جدول (۷-۴)، (۸-۴)، (۹-۴) و (۱۰-۴) به طور خلاصه مقدار  $R^2$  و RMSE به ترتیب برای مدل های رگرسیون، رگرسیون غیرخطی، GMDH و GEP برای سرریزهای مرکب مستطیلی-مستطیلی و مثلثی-مستطیلی با زاویه رأس های ۶۰، ۹۰ و ۱۲۰ درجه ارائه شده است.

جدول ۷-۴: خلاصه نتایج حاصل از مدل‌سازی‌ها برای سرریز مرکب مستطیلی-مستطیلی.

CRRSC	REGRESSION	NONLINER REGRESSION	GMDH		GEP	
			TEST	TRAIN	TEST	TRAIN
$R^2$	0.55	0.59	0.61	0.64	0.80	0.83
RMSE	0.048	0.04	0.032	0.028	0.025	0.02

جدول ۸-۴: خلاصه نتایج حاصل از مدل‌سازی‌ها برای سرریز مرکب مثلثی-مستطیلی با زاویه رأس ۶۰ درجه.

CTRSC 60°	REGRESSION	NONLINER REGRESSION	GMDH		GEP	
			TEST	TRAIN	TEST	TRAIN
$R^2$	0.81	0.85	0.83	0.87	0.96	0.97
RMSE	0.029	0.03	0.034	0.03	0.024	0.018

جدول ۸-۴: خلاصه نتایج حاصل از مدل‌سازی‌ها برای سرریز مرکب مثلثی-مستطیلی با زاویه رأس ۹۰ درجه.

CTRSC 90°	REGRESSION	NONLINER REGRESSION	GMDH		GEP	
			TEST	TRAIN	TEST	TRAIN
$R^2$	0.58	0.54	0.80	0.84	0.92	0.93
RMSE	0.06	0.048	0.051	0.043	0.046	0.040

جدول ۹-۴: خلاصه نتایج حاصل از مدل‌سازی‌ها برای سرریز مرکب مثلثی-مستطیلی با زاویه رأس ۱۲۰ درجه.

CTRSC 120°	REGRESSION	NONLINER REGRESSION	GMDH		GEP	
			TEST	TRAIN	TEST	TRAIN
$R^2$	0.63	0.68	0.66	0.84	0.96	0.97
RMSE	0.043	0.04	0.030	0.039	0.039	0.034

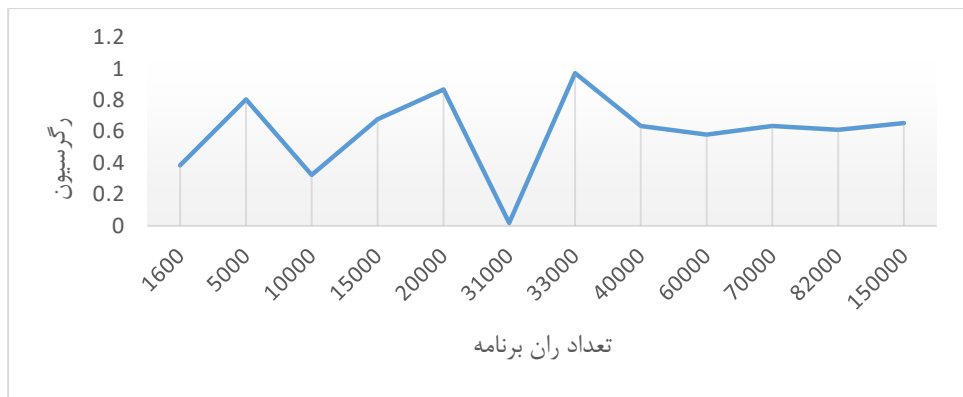
با توجه به نتایج حاصل که در جداول فوق ارائه گردیده می‌توان گفت که مدل‌سازی با استفاده از GMDH بهترین نتیجه را داشته است. مقدار  $R^2$  برای برنامه‌ریزی بیان ژن (GEP) بهتر از SPSS و تحلیل رگرسیون می‌باشد. لذا برنامه‌ریزی بیان ژن به عنوان مدل بهینه معرفی می‌شود و برای بهینه‌سازی مناسب بوده و جوابی نزدیک به واقعیت ارائه می‌دهد.

#### ۱۱-۴-نتیجه مدل‌سازی GEP با تعداد تکرارهای مختلف

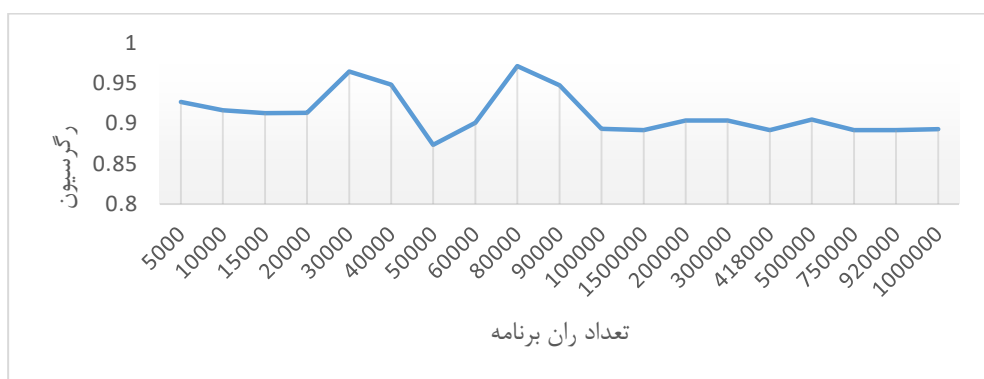
در این مرحله، نتیجه مدل‌سازی برای تعداد ران‌های مختلف ارائه می‌گردد، محور عمودی نمودارها نشان‌دهنده تعداد ران‌های گرفته شده در مدل‌سازی بوده و محور عمودی مقدار  $R^2$  می‌باشد. نمودارها نشان می‌دهند که بعد از چندین مرحله اجرای برنامه بعد از مدتی مقدار ضریب  $R^2$  تقریباً ثابت شده و تغییر چشم‌گیری ندارد.



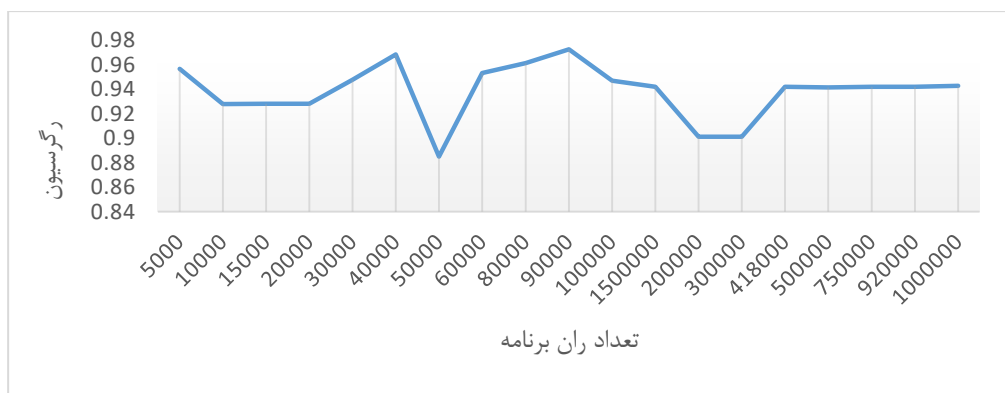
شکل ۲۹-۴: مقایسه تعداد ران مدل GEP در برابر ضریب  $R^2$  برای سریز مرکب مستطیلی-مستطیلی برای داده‌های آموزش.



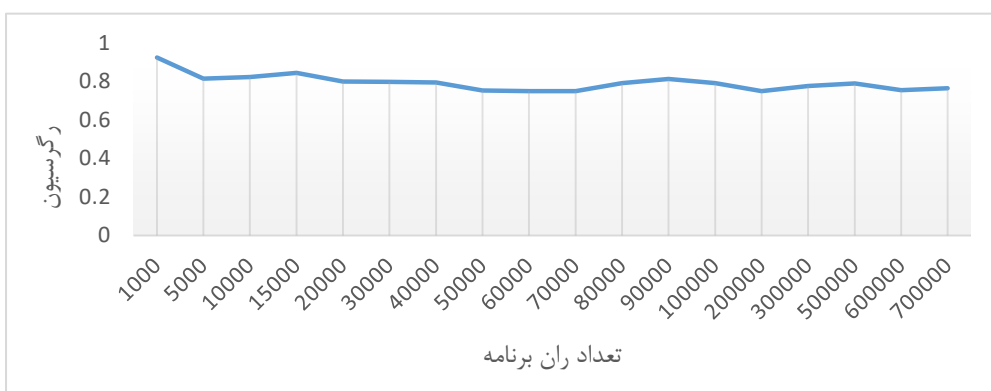
شکل ۴-۳۰: مقایسه تعداد ران مدل GEP در برابر ضریب  $R^2$  برای سرریز مرکب مستطیلی-مستطیلی برای داده‌های آزمون.



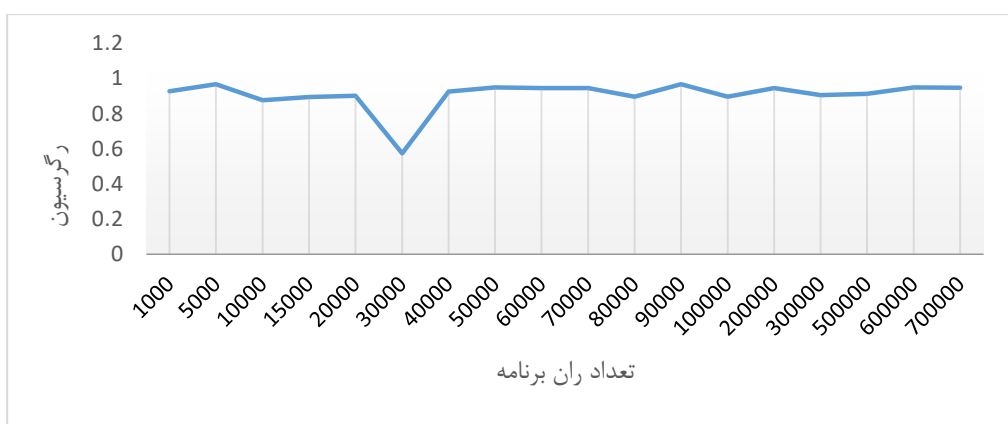
شکل ۴-۳۱: مقایسه تعداد ران مدل GEP در برابر ضریب  $R^2$  برای سرریز مرکب مثلثی-مستطیلی با زاویه رأس درجه برای داده‌های آموزش.



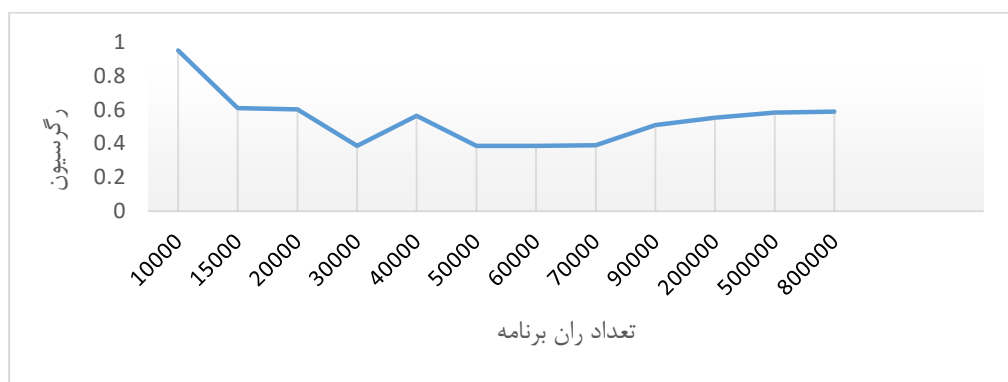
شکل ۴-۳۲: مقایسه تعداد ران مدل GEP در برابر ضریب  $R^2$  برای سرریز مرکب مثلثی-مستطیلی با زاویه رأس درجه برای داده‌های آزمون.



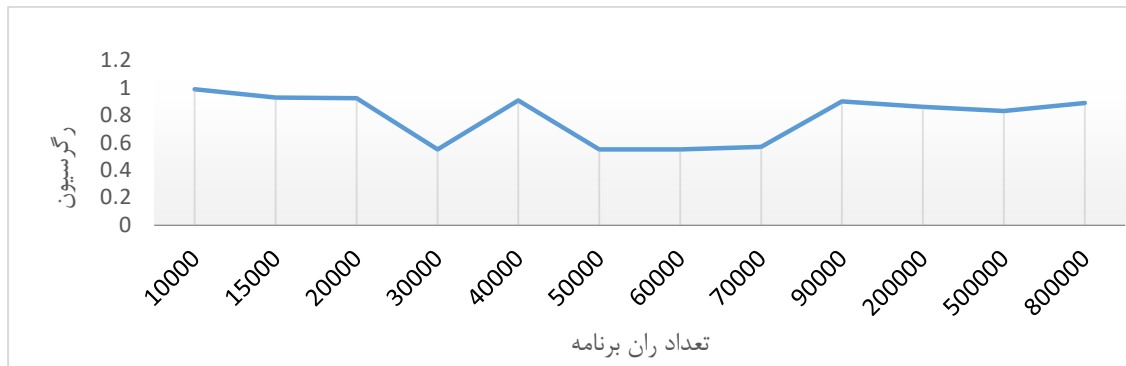
شکل ۴-۳۳: مقایسه تعداد ران مدل GEP در برابر ضریب  $R^2$  برای سریز مرکب مثلثی-مستطیلی با زاویه رأس ۹۰ درجه برای داده های آموزش.



شکل ۴-۳۴: مقایسه تعداد ران مدل GEP در برابر ضریب  $R^2$  برای سریز مرکب مثلثی-مستطیلی با زاویه رأس ۹۰ درجه برای داده های آزمون.



شکل ۴-۳۵: مقایسه تعداد ران مدل GEP در برابر ضریب  $R^2$  برای سریز مرکب مثلثی-مستطیلی با زاویه رأس ۱۲۰ درجه برای داده های آزمون.



شکل ۳۶-۴: مقایسه تعداد ران مدل GEP در برابر ضریب  $R^2$  برای سریز مرکب مثلثی-مستطیلی با زاویه رأس ۱۲۰ درجه برای داده‌های آزمون.



## فصل پنجم

نتیجہ گیری

و

پیشنهادات

## ۱-۵- نتیجه‌گیری

در مطالعه حاضر به بررسی ضریب دبی سرریزهای جانبی مستطیلی- مستطیلی و مثلثی- مستطیلی پرداخته و با استفاده از رگرسیون غیرخطی، GEP و GMDH بهترین و بهینه‌ترین رابطه برای ضریب دبی را ارائه نمودیم.

در ابتدا با استفاده از نرم‌افزار SPSS همبستگی بین پارامترهای اندازه‌گیری شده آزمایشگاهی (عامری، ۲۰۱۵) ارزیابی شد که نتایج حاصل، نشان داد بین پارامترهایی استفاده شده برای محاسبه ضریب دبی، همبستگی لازم وجود داشته و نتایج حاصل با نتایجی که عامری به دست آورده همخوانی دارد.

نتایج حاصل از مدل‌سازی‌ها و تحلیل‌های انجام‌گرفته به صورت خلاصه در زیر ارائه شد:

۱- نتایج حاصل از محاسبه ضریب دبی سرریز مرکب حاکی از آن است که می‌توان از ترکیب روابط سرریزهای ساده برای محاسبه ضریب دبی سرریزهای مرکب استفاده کرد و به نتایج معقولی دست یافت.

۲- با بهینه‌سازی ترکیب روابط ضریب دبی سرریزهای ساده، می‌توان به روابط بهینه و مناسب برای ضریب دبی سرریزهای مرکب دست یافت.

۳- با استفاده از رگرسیون غیرخطی و با کمک نرم‌افزار SPSS می‌توان ضرایب موجود در معادلات را بهینه‌تر کرده و با تکرارهای مکرر برای رگرسیون گیری غیرخطی و محاسبه ضرایب معادلات می‌توان به نتایج بهتر و بهینه‌تر برای ضریب دبی دست یافت.

۴- در مدل‌سازی برنامه‌ریزی بیان ژن (GEP)، نتایج به صورت درخت (ETs) بیان می‌شود که با تجزیه درختان می‌توان معادلات را استخراج کرد.

۵- برای استفاده کاربردی‌تر نتایج این پژوهش، روابط حاصل از مدل‌سازی GEP برای سرریزهای مرکب مستطیلی- مستطیلی و مثلثی- مستطیلی با زاویه رأس ۶۰، ۹۰ و ۱۲۰ درجه ارائه گردیده است.

۶- در مدل‌سازی برنامه‌ریزی بیان ژن (GEP)، داده‌ها به دو قسمت تقسیم می‌شوند که ۸۰ درصد داده‌ها به عنوان داده‌های آموزشی و ۲۰ درصد به عنوان داده‌های آزمون مورداستفاده قرار می‌گیرد. برای سرریز مرکب مستطیلی- مستطیلی مقدار  $R^2$  برای داده‌های آموزش ۰/۸۳ و برای داده‌های آزمون ۰/۸۰ به دست آمد. همچنین برای سرریزهای مرکب مثلثی- مستطیلی با زاویه رأس ۶۰، ۹۰ و ۱۲۰ درجه به ترتیب برای داده‌های آموزش ۰/۹۷، ۰/۹۳ و ۰/۹۷ و برای داده‌های آزمون به ترتیب ۰/۹۲، ۰/۹۶ و ۰/۹۶ به دست آمد که در مقایسه با نتایج GMDH، رگرسیون غیرخطی و رگرسیون ساده بهترین نتیجه می‌باشد.

۷- در مدل‌سازی GMDH همچون برنامه‌ریزی بیان ژن داده‌ها به دو قسمت که ۸۰ درصد به عنوان داده‌های آموزش و ۲۰ درصد به عنوان داده‌های آزمون استفاده شده است. نتایج  $R^2$  برای داده‌های آموزش در سرریز مرکب مستطیلی- مستطیلی ۰/۶۴ و برای داده‌های آزمون ۰/۶۱ به دست آمد، همچنین برای سرریزهای مرکب با زاویه رأس ۶۰، ۹۰ و ۱۲۰ درجه برای داده‌های آموزش به ترتیب ۰/۸۷، ۰/۸۴ و ۰/۸۴ و برای داده‌های آزمون به ترتیب ۰/۸۳، ۰/۸۰ و ۰/۶۶ به دست آمد.

۸- در رگرسیون غیرخطی همچون مدل‌سازی GEP و GMDH داده‌ها به دو قسمت تقسیم نشده‌اند، بلکه از تمامی داده‌ها استفاده کرده و رابطه بینه استخراج شده و ضریب دبی را محاسبه شد. مقدار  $R^2$  برای سرریز مرکب مستطیلی- مستطیلی ۰/۵۹ و برای سرریز مرکب مثلثی- مستطیلی با زاویه رأس ۶۰، ۹۰ و ۱۲۰ درجه به ترتیب ۰/۸۵، ۰/۵۴ و ۰/۶۸ به دست آمد.

۹- در قسمت رگرسیون برای هر سرریز مرکب از جمع روابط سرریزهای ساه استفاده شده و نتایج حاصل ارائه شده است. برای سرریز مرکب مستطیلی-مستطیلی ۵۵٪ و برای سرریز مرکب مثلثی-مستطیلی با زاویه رأس ۶۰، ۹۰ و ۱۲۰ درجه به ترتیب ۸۱/۰، ۵۸/۰ و ۶۳/۰ به دست آمد.

برای مقایسه نتایج حاصل علاوه بر ضریب  $R^2$  از ضریب RMSE نیز بهره گرفته و نتایج حاصل با استفاده از این ضریب نیز مورد مقایسه قرار گرفته‌اند. مقدار RMSE برای داده‌های آموزش مدل‌سازی GEP در سرریز مرکب مستطیلی-مستطیلی ۰/۰۲ و برای داده‌های آزمون ۰/۰۲۵، در مدل‌سازی GMDH برای داده‌های آموزش ۰/۰۲۵ و برای داده‌های آزمون ۰/۰۳۲، برای رگرسیون غیرخطی مقدار ۰/۰۴ و همچنین برای رگرسیون ساده ۰/۰۴۸ به دست آمد. همچنین برای سرریزهای مرکب مثلثی-مستطیلی با زاویه رأس ۶۰، ۹۰ و ۱۲۰ درجه در مدل‌سازی GEP به ترتیب برای داده‌های آموزش ۰/۰۱۸، ۰/۰۴۰ و ۰/۰۳۴ و برای داده‌های آزمون به ترتیب ۰/۰۲۴، ۰/۰۴۶ و ۰/۰۳۹، در مدل به ترتیب برای آموزش ۰/۰۳، ۰/۰۴۳ و ۰/۰۳۹ و برای داده‌های آزمون ۰/۰۳۴، ۰/۰۵۱ و ۰/۰۳۰، در رگرسیون غیرخطی به ترتیب ۰/۰۳۰، ۰/۰۲۹ و ۰/۰۲۶ و در رگرسیون ساده ۰/۰۴۳ به دست آمد.

مقایسه نتایج حاصل از این پژوهش با نتایج به دست آمده از داده‌های مشاهداتی و آنالیز رگرسیون نشان‌دهنده برتری و بهینه‌تر بودن مدل‌سازی با استفاده از مدل برنامه‌ریزی بیان‌زن (GEP) است.

## ۲-۵-پیشنهادات

- ۱- انجام مطالعات و مدل سازی اشکال هندسی دیگر سرریزهای مرکب جانبی از جمله مستطیلی- ذوزنقه‌ای و ذوزنقه- مثلثی.
- ۲- مدل سازی بر روی سرریز لبه پهن و مقایسه نتایج حاصل.
- ۳- مدل سازی با زن‌های متفاوت، شرایط، پارامترهای مختلف و تحلیل نتایج.
- ۴- مدل سازی بر روی سرریزهای ساده و مقایسه نتایج با سرریزهای مرکب.

## منابع

- [۱]. اکبری طائمه.ر، قدسیان.م، (۱۳۹۰)، تعیین ضریب آبگذری سرریز جانبی لبه تیز مثلثی، دهمین کنفرانس هیدرولیک ایران، دانشگاه گیلان، ص.۷-۱.
- [۲]. امامقلی زاده. ص، کریمه دمنه. ر، (۱۳۹۶)، کاربرد روش برنامه‌ریزی بیان ژن در تعیین ضریب هوادهی دریچه تخلیه کننده تحتانی سدها، نشریه پژوهش‌های حفاظت آب و خاک، جلد بیست و چهارم، شماره اول.
- [۳]. ایزدجو. ف، شفاعی بجستان. م، (۱۳۷۴)، بررسی روش‌های طراحی آبگیرهای جانبی و ارائه مدل کامپیووتری، پایان‌نامه کارشناسی ارشد رشته تأسیسات آبیاری، دانشگاه شهید چمران اهواز.
- [۴]. باقری. س، ظهیری. ع. قبادیان، دهقانی. ا و مفتاح هلقی. م، (۱۳۹۱)، بررسی آزمایشگاهی ضریب دبی سرریز جانبی لبه تیز ترکیبی. مجله پژوهش‌های حفاظت آب و خاک، شماره اول، جلد بیستم، ص.۱۳۳-۱۵۰.
- [۵]. برقعی. م، کبیری سامانی. ع، (۱۳۸۴)، تعیین ضریب دبی سرریزهای جانبی با استفاده از اطلاعات آزمایشگاهی و روش تشابه ناقص، پنجمین کنفرانس هیدرولیک ایران، دانشگاه شهید باهنر کرمان، ص.۹-۱.
- [۶]. برقعی.س و صالحی. ح، (۱۳۸۲)، بررسی آزمایشگاهی ضریب دبی سرریز جانبی با استفاده از مدل آزمایشگاهی، ششمین کنفرانس بین‌المللی مهندسی عمران، دانشگاه صنعتی اصفهان، جلد ۳، ص.۳-۱۰.
- [۷]. بسیاری. س، حدادی. ح و رحیم‌پور.م، (آبان، ۱۳۹۱)، ترسیم پروفیل سطح آب در سرریز جانبی لبه پهن ذوزنقه‌ای با استفاده از روش عددی، یازدهمین کنفرانس هیدرولیک ایران، ارومیه.
- [۸]. جلیلی قاضی‌زاده. م، برقعی.م و قدسیان. م، (۱۳۷۶)، بررسی آزمایشگاهی جریان‌های زیربحاری بر روی سرریزهای جانبی. چهارمین کنفرانس بین‌المللی مهندسی عمران، تهران.
- [۹]. حسینی. م، ابریشمی. ج، (۱۳۸۲)، هیدرولیک کanal‌های باز، انتشارات آستان قدس رضوی.
- [۱۰]. خوشبین. ف، ابتهاج. ع، بنکداری. ع ، لشته‌نشایی. م ، (آبان ماه ۱۳۹۳)، ارائه مدل ریاضی جهت پیش‌بینی ضریب دبی سرریز کنگرهای مثلثی با استفاده از شبکه عصبی GMDH و الگوریتم ژنتیک سیزدهمین کنفرانس هیدرولیک ایران، دانشگاه تبریز، صفحه ۱ تا ۹.
- [۱۱]. روشنگر. ک ، بنکداری. ح ، اخگر.س ، هرسمی. ف، (۱۵ تا ۱۷ اردیبهشت ۱۳۹۴)، بررسی عملکرد برنامه‌نویسی بیان ژن (GEP) در پیش‌بینی استهلاک انرژی روی سرریز پلکانی در رژیم جریان رویه‌ای (Skimming)، دهمین کنگره بین‌المللی مهندسی عمران، دانشکده مهندسی عمران، تبریز، صفحه ۱ تا ۴.

- [۱۲]. روشنگر.ک، اعلم.م، وجودی مهربانی.ف، ( بهمن و اسفند، ۱۳۹۴)، افزایش دقت پیش‌بینی بارکل رسوی با استفاده از الگوریتم‌های تکاملی(مطالعه موردی :رودخانه قطورچا)، نشریه آب‌و‌خاک (علوم و صنایع کشاورزی)، جلد ۲۹ ، شماره ۶، ص ۱.
- [۱۳]. روشنگر.ک، تقی اعلمی.م، میرمحمدیان.ش، (۱۳۹۳)بررسی عملکرد و کارائی روش برنامه‌ریزی بیان ژن در برآورد عمق آب شستگی پایه‌های پل در بسترها با خاک چسبنده وغیرچسبنده، نشریه مهندسی عمران و محیط‌زیست، شماره ۲، جلد ۴۴، ص ۳۳-۲۱.
- [۱۴]. صادقی.ز، دهقانی.ا، قدسیان.م، ظهیری.ع، منتصری.ح، (۱۳۹۱)، مجله پژوهش‌های حفاظت آب‌و‌خاک، شماره ۴، جلد ۱۹، ص ۶۴-۴۷.
- [۱۵]. قبادیان.ر، قربانی.م، خلچ.م، (۱۳۹۲)، بررسی عملکرد روش برنامه‌ریزی بیان ژن در روند یابی سیلان زنگمار در مقایسه با روش موج دینامیکی، نشریه آب و خاک، جلد ۲۷، شماره ۳، ص ۶۰۲-۵۹۲.
- [۱۶]. قدسیان.ر، شفاعی بجستان.م، (۱۳۸۵)، بهینه‌سازی ضریب تخلیه سرریزهای جانبی در کانال‌های آبیاری با استفاده از شبکه‌های عصبی مصنوعی، همایش ملی مدیریت شبکه‌های آبیاری و زهکشی، دانشگاه شهید چمران اهواز، ص ۹-۱.
- [۱۷]. نیکوئی.ه، نورزاد.ع، آهنگری.ک، (پاییز و زمستان ۱۳۹۲)، پیش‌بینی خطای سلول فشار به کمک روش GEP ( مطالعه موردی : سد سنگ ریسه‌ای البرز، مازندران، ایران) نشریه زمین‌شناسی مهندسی، جلد هفتم، شماره ۲.
- [۱۸]. هنر.ت، طرازکار.م، طرازکار.م، (۱۳۸۹)، برآورد ضریب دبی سرریزهای جانبی با استفاده از سیستم استنتاج فازی - عصبی (ANFIS)، شماره ۲، جلد ۱۷ ، ص ۱۶۹ - ۱۷۵.
- [۱۹]. هنر.ت، جوان.م، کشاورزی.ع، (۱۳۸۴)، تحلیل ضریب دبی جزئی سرریزهای جانبی مایل در کانال‌های غیرمنتشری مستطیلی، مجله علوم کشاورزی ایران، شماره ۴، جلد ۳۶، ص ۸۲۴-۸۱۹.
- [۲۰]. یاسی.م، عباسپور.اکرم، (۱۳۸۴)، ارزیابی جریان بر سرریز لبه تیز مرکب مثلثی-مثلثی، مجله علمی کشاورزی، شماره ۲، جلد ۲۸، ص ۱۸۲-۱۶۵.
- [21]. Abdolrahimi.S, Nasernejad. B, G. Pazuki, (2014), Prediction of partition coefficients of alkaloids in ionic liquids based aqueous biphasic systems using hybrid group method of data handling (GMDH) neural network, Journal of Molecular Liquids, Vol. 191, No. 0, pp. 79-84.
- [22]. Ahmed. Y, Al-Taee. (2011), Theoretical analysis of flow over the side weir Runge-Kutta method, J. Annals of Faculty Engineering. ISSN: 1584-2665, Pp: 47-50.
- [23]. Ahmed. Y, Mohamad, (2013), Numerical analysis of flow over side weir. J. of King Saud University- Engineering Sciences. Pp: 1-6.

- [24]. Ameri. M, Ahmadi.A, Dehghani.A, (2015), Discharge coefficient of compound triangular-rectangular sarp-crested side weirs in subcritical flow conditions, j. Flow Measurement and International, 45, pp.170-175.
- [25]. Ameri.M, Dehghani.A, and Ahmadi.A, (2015), Elementary discharge coefficient of a triangular-r ectanular sharp-crested side weir in subcritical flow, J. of River Basin Management, pp.1-8.
- [26]. Bagheri.S, Zahiri.A.R, Ghobadian.R, Dehghani.A.A, (2013), and Meftah Halaghi. M, Experime tal investigation of discharge coefficient for compound sharp crested side weirs, J. Water and Soil Conservation, 20(1), pp.133-149.
- [27]. Borghei. S.M, Jalili. M.R, and Ghodsian. M,(1999), Discharge coefficient for sharp creste- d side weirs in subcritical flow, J. Hydraul. Eng, ASCE, 125:10. 1051-1056.
- [28]. De Marchi. G, (1934), Essay on the performance of lateral weirs. L Energia Electrica Milano, Italy, 11: 11. 849-860.
- [29]. Ebtehaj.I, Bonakdari.H, Zaji.A, Azimi.H and Khoshbin.F, (2015), GMDH type neural network Approach or modeling the discharge coefficient of rectangular sharp-crested side weirs, Int.J.Engi neering science and Technology, 18, pp.746-757.
- [30]. Ebtehaj.I, Bonakdari.H, Zaji.A, Azimi.H, Sharifi.A, (2015), Gene expression programming to predict the discharge coefficient inrectangular side weirs. Applied Soft Computing, 35, pp.618–628.
- [31]. Emin Emiroglu. M, Agaccioglu.H, Kaya .N, (2011) Discharging capacity of rectangular side weirs in straight open channels. Flow Measurement and nstrumentation, (22), pp.319–330.
- [32]. Emiroglu. M.E, Kaya. N, and Agaccioglu. H.( 2010), Discharge Capacity of Labyrinth Side Weir Located on a Straight Channel, J. Irrigation and Drainage Eng, ASCE, 136: 1. 37-46.
- [33]. Ferreira. C, (2001).”Gene expression programming: A new adaptive algorithm for problems”, Complex Systems 13 (2): 87-129.
- [34]. Ferreira. C, (2004).”Gene expression programming and the evolution of computer program”, in: Castro, L.N, Von Zuben, F.J., (Eds.), Recent Developments.
- [35]. Ferreira. C, (2006).”Automatically defined functions in gene expressio program”. In: Nedjah, N, Mourelle, L.M, Abraham, A. (Eds), Genetic systems Programming: Theory and Experiences, Studies in Computationa.
- [36]. Ghodsian. M, 1997. Elementary discharge coefficient for rectangular side weir. Proceeding of 4th Int, Conf. on Civil Engineering, Tehran, Pp: 36-42.
- [37]. Hager. W.H, (1987), Lateral outflow of side weirs, J. Hydraul. Eng, ASCE, 113: 4. 491-504.

- [38]. Jalili. M.R, and Borghei. S.M, (1996), Discussion of "Discharge coefficient of rectangular side weir", by Singh R, Manivannan, D, and Satyanarayana, T, J. of Irrigation and Drainage Engineering, ASCE, 122: 2. 132.
- [39]. Mahmoud Ibrahim. M, (2015), Bed profile downstream compound sharp crested V- notch weir, J. Alexandria Engineering, (54), pp.607-613.
- [40]. Martinez. J, Reca. J, Morillas. M.T, and Lopez .J.G, (2005), Design and Calibration of a Compound Sharp -Crested Weir, ASCE, 2(112), pp.112-116.
- [41], Nariman Zadeh. N, Darvizeh. A, Felezi. M.E, Gharababaei. H, (2002), Polynomial modelling of explosive compaction process of metallic powders using GMDH type neural networks and singular value decomposition, Modelling and Simulation in Materials Science and Engineering, Vol. 10.
- [42]. Piratheepan. M, Winston. N.E.F and Pathirana. K.P.P, (2006), Discharge measurements in open channels using compound sharp-crested weirs, J. Institution Of Engineers, Sri Lanka,3, pp.31-38.
- [43]. Ranga Raju. K.G, Parasad. B, and Gupta. S.K, (1979), Side weir in rectangular channel, J. Hydraul. Eng, ASCE, z10 5: 5. 547-554.
- [44]. Subramanya. K, and Awasthy. S.C, (1972), Spatially varied flow over side weirs, J. Hydraul. Eng., ASCE, 98: 1. 1-10.
- [45]. Tai Lee. J, Chuan Chan. H, Kun Huang. C and Mou Leu. J, (2012), Experiments on hydraulic relations for flow over a compound sharp-crested weir, Int. J. Physical sciences, 7(14), pp.2229-2237.
- [46]. Zahiri. A, Azamathulla H. Md, Bagheri. S, (2013) Discharge coefficient for compound sharp crested side weirs in subcritical flow conditions, J. Hydrology, 480, pp.162–166, 2013.
- [47]. Zahiri. A, (2012), Quasi-two dimensional mathematical model for prediction of flow discharge over over compound sharp-crested weirs, J. of Water and Soil Conservation, Vol. 19(3).
- [48]. Singh. R, Manivannan. D, and Satyanarayana. T, (1994), Discharge coefficient of rectangular side weirs. J. Irrigation and Drainage Eng, ASCE, 120: 4. 814-819.

## **Abstract**

Side weirs are among the most important hydraulic structures which is used as water level controller and flow rate measurement in channels. Side weirs are widely used in hydraulic, environmental applications as well as irrigation and sewage treatment systems and water diversion from the main canals to the hydraulic lab and irrigation and drainage networks. Precision in measuring flow for different flow conditions has led to the design of various geometric shapes of side weirs. Therefore, due to the importance and extensive applications of lateral side weirs, these overflows must have properties in order to be able to properly utilize them in water transmission networks. One of the most prominent features that can be mentioned here is the accurate measurement of the flow through the side weir and its ability to drain significant water during flood event. Because simple overflows during flood events are suitable only for excess water flow in the canal or river, but not suitable for accurate measurement of passage. Therefore, the accuracy of measuring the discharge and water flow during flood events, is one of the most important advantage of composite side weirs. In this study, the rectangular-rectangular, triangular-rectangular, sharp, perpendicular, overheads are examined at 60, 90,120 degree angles. Therefore, predicting the intake flood discharge coefficient using regression analysis, improve analyse regression, artificial neural networks (GMDH) and Gene expression planning (GEP) are among the most powerful and must widely used modelers. Also, for the modeling, the effective parameters have been used for the flow coefficient. For comparison, statistical parameters such as  $R^2$  and RMSE have been used. The results indicate that GEP programming with the amount for training data and for test data in a rectangular-rectangular compound side weir and for triangular-rectangular composite side weirs of 60,90,120 degrees respectively for equal education data, and for the test data were equal, and obtained compared to the regression model, SPSS and GMDH, the RMSE error value for the rectangular-rectangular compound side weir test was 0.023, 0.0015, and 0.007 respectively, for a triangular-rectangular composite side weir with a 60 degree angle are 0.041, 0.002, and 0.005, respectively and for rectangular-triangular side weir an angle of 120 degrees, respectively equal to 0.004, 0.001, 0.009 percent, which indicates the superiority and optimality of the modeling of gene expression planning.

**Keywords:** Gene expression planning, rectangular-rectangular compound side weir, triangular-rectangular composite side weir, neural network, multiplying.



**Faculty of Agriculture**  
**M.Sc. Thesis in Water Structures Engineering**

**Estimation of discharge coefficient of compound weir  
using GEP model**

**By: Sahar Ramezani**

**Supervisor:**

**Dr. Samad Emamgholizadeh**

**Advisor:**

**Dr. Sayed Hoswin Hoseini**

**June 2018**